

# **Bau eines Roboters für den RoboCupSoccer Wettbewerb**

## **Studienarbeit im Studiengang Computervisualistik**

vorgelegt von

Andreas Klöber und Michael Strack

Betreuer: Prof. Dr.-Ing. Dietrich Paulus, Institut für Computervisualistik,  
Fachbereich Informatik  
Erstgutachter: Prof. Dr.-Ing. Dietrich Paulus, Institut für Computervisualistik,  
Fachbereich Informatik  
Zweitgutachter: Dipl.-Inf. Johannes Pellenz, Institut für Computervisualistik, Fach-  
bereich Informatik

Koblenz, im Juli 2006



## Erklärung

Wir versichern, dass wir die vorliegende Arbeit selbständig verfasst und keine anderen als die angegebenen Quellen und Hilfsmittel benutzt haben und dass die Arbeit in gleicher oder ähnlicher Form noch keiner anderen Prüfungsbehörde vorgelegen hat und von dieser als Teil einer Prüfungsleistung angenommen wurde. Alle Ausführungen, die wörtlich oder sinngemäß übernommen wurden, sind als solche gekennzeichnet.

Die Richtlinien der Arbeitsgruppe für Studien- und Diplomarbeiten haben wir gelesen und anerkannt, insbesondere die Regelung des Nutzungsrechts.

Mit der Einstellung dieser Arbeit in die Bibliothek sind wir einverstanden. ja  nein

Der Veröffentlichung dieser Arbeit im Internet stimmen wir zu. ja  nein

Koblenz, den

Andreas Klöver

Michael Strack



# Inhaltsverzeichnis

<b>1</b>	<b>Einleitung</b>	<b>9</b>
<b>2</b>	<b>Planung und Aufbau</b>	<b>11</b>
2.1	Grundidee: Eine günstige, kleine mobile Plattform . . . . .	11
2.2	Planung des Roboters . . . . .	13
2.3	Aufbau des MiniBots . . . . .	17
2.4	Blockschaltbild . . . . .	20
<b>3</b>	<b>Hardware</b>	<b>21</b>
3.1	Platinen . . . . .	21
3.1.1	Spannungsanzeige und Programmieradapter . . . . .	21
3.1.2	Odometriebestimmung . . . . .	27
3.1.3	Steuerplatine: Robo32-Board . . . . .	28
3.2	Mikrocontroller: ATmega32 . . . . .	35
3.2.1	Eigenschaften im Überblick . . . . .	36
3.2.2	Verwendete Ports und Einstellungen . . . . .	37
<b>4</b>	<b>Programmierung des ATmega32-Mikrocontrollers</b>	<b>41</b>
4.1	Client-Server-Kommunikation . . . . .	42

4.2	Basisprogrammierung des Mikrocontrollers . . . . .	45
4.3	Programmierung der RS232-Schnittstelle . . . . .	48
4.4	Ansteuerung der Motoren . . . . .	50
4.4.1	Funktionsweise Pulsweitenmodulation . . . . .	51
4.4.2	Programmierung der Motoransteuerung . . . . .	51
4.5	Gabellichtschranken und externe Interrupts . . . . .	56
4.6	Ansteuerung des SRF08-Ultraschallmoduls . . . . .	60
4.6.1	Funktionsweise des I <sup>2</sup> C-Busses . . . . .	60
4.6.2	Funktionsweise des SRF08-Ultraschallmoduls . . . . .	62
4.6.3	Programmierung der SRF08-Ansteuerung . . . . .	64
4.7	Ansteuerung der Infrarot-Sensoren . . . . .	72
4.7.1	Funktionsweise der A/D-Wandlung . . . . .	72
4.7.2	Programmierung der Infrarot-Sensor-Ansteuerung . . . . .	72
4.8	Zustandsübergangsdiagramm . . . . .	74
<b>5</b>	<b>Steuersoftware des MiniBots auf dem Barebone-PC</b>	<b>77</b>
5.1	RoboControl . . . . .	77
5.1.1	Die RoboControl-Klasse . . . . .	78
5.1.2	Das Steuerprogramm RoboControl . . . . .	83
5.2	USBGrabber . . . . .	88
5.2.1	Die USBGrabber-Klasse . . . . .	89
5.2.2	Das Programm USBGrabber . . . . .	95
5.3	MiniBotGUI . . . . .	96
<b>6</b>	<b>Zusammenfassung</b>	<b>103</b>

<i>INHALTSVERZEICHNIS</i>	7
<b>A Konstruktionszeichnungen</b>	<b>105</b>
<b>B Ausgewählte Bilder des Aufbaus</b>	<b>113</b>
<b>C Materiallisten und Technische Daten</b>	<b>117</b>
<b>D Assemblerquellcode des Mikrocontrollers</b>	<b>125</b>
<b>E Wertetabelle des Infrarot-Sensors</b>	<b>145</b>
<b>F Screenshots</b>	<b>147</b>
<b>G Aufbau der Softwareentwicklungsumgebung</b>	<b>149</b>





# Kapitel 1

## Einleitung

Die Zeitschrift *c't* stellte in der Ausgabe 02/2006 einen Bausatz für einen kleinen mobilen Roboter vor, den *c't-Bot*, der diese Studienarbeit inspirierte. Dieser Bausatz sollte die Basis eines Roboters darstellen, der durch eine Kamera erweitert und mit Hilfe von Bildverarbeitung in der Lage sein sollte am *RoboCupSoccer-Wettbewerb* teilzunehmen.

Während der Planungsphase veränderten sich die Ziele: Statt einem Fußballroboter, sollte nun ein Roboter für die neu geschaffene *RoboCup-Rescue-League* entwickelt werden. In diesem Wettbewerb sollen Roboter in einer für sie unbekannten Umgebung selbstständig Wege erkunden, bzw. Personen in dieser Umgebung finden.

Durch diese neue Aufgabenstellung war sofort klar, dass der *c't-Bot* nicht ausreichte und es musste ein neuer Roboter entwickelt werden, der mittels Sensoren die Umgebung wahrnehmen, durch eine Kamera Objekte erkennen und mit Hilfe eines integrierten Computers diese Bilder verarbeiten sollte. Die Entstehung dieses Roboters ist das Thema dieser Studienarbeit.

### **Kapitel 2**

Zeigt die Entwicklung, angefangen beim *c't-Bot*, über die Planung bis hin zum Aufbau des eigenen Roboters.

**Kapitel 3**

Zu Beginn werden die verwendeten Platinen genauer beschrieben, danach wird der Mikrocontroller vorgestellt.

**Kapitel 4**

Beschreibt die Programmierung des Mikrocontrollers zur Ansteuerung von Sensoren, Motoren und sonstiger Hardware des Roboters.

**Kapitel 5**

Die Ansteuerung des Roboters erfolgt über eine spezielle Steuersoftware. Dieses Kapitel beschreibt die zugehörigen Klassen und, basierend darauf, die Entwicklung der eigentlichen Steuerung in Form diverser Anwendungen.

**Kapitel 6**

Fasst die Eigenschaften des Roboters zusammen und gibt einen Ausblick auf mögliche Erweiterungen.

# Kapitel 2

## Planung und Aufbau

Diese Studienarbeit wurde von einem Artikel in der Zeitschrift *c't* inspiriert. Dort wurde ein kleiner Roboter, der *c't-Bot*, vorgestellt, den die Redakteure der Zeitschrift entwickelt haben. Ziel dieses Projektes war es, einen günstigen und einfachen Roboter zu entwickeln, der sich mit Hilfe von diversen Sensoren autonom in einem Raum bewegen und ein Objekt suchen kann, um dieses gegebenenfalls an einen anderen Ort zu bringen. Im ersten Unterkapitel werde ich diesen *c't-Bot* genauer vorstellen. Im zweiten werde ich die Planungen zu unserem eigenen Roboter erläutern und im dritten Unterkapitel werde ich den Aufbau dieses Roboters beschreiben.

### 2.1 Grundidee: Eine günstige, kleine mobile Plattform

Der *c't-Bot* ist selbst als Bausatz erhältlich, welcher alle benötigten Bauteile enthält. Er hat eine runde Grundfläche, deren Durchmesser 12cm beträgt und besitzt im Grundzustand zwei Ebenen, auf denen die gesamte Elektronik untergebracht ist. Durch die runde Form ist ein Anecken nicht möglich und größtmögliche Wendigkeit wird garantiert. Angetrieben wird der *c't-Bot* durch zwei auf der Mittelachse der Grundplatte befestigte Motoren mit integriertem 33:1 Untersetzungsgetriebe. Damit er nicht umkippt, besitzt er noch einen Stützpin am hinteren Ende der Grundplatte.

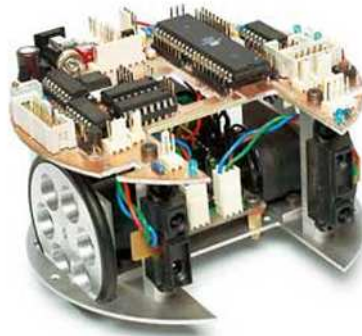


Bild 2.1: Der c't-Bot (Quelle: c't Magazin)

Zur Umgebungserkennung kommen diverse Sensoren zum Einsatz. So hat er vorne, zur Entfernungsmessung, zwei Infrarotsensoren des Typs *GP2D12* von *Sharp*, deren Messbereich zwischen 10 und 80cm liegt. Des Weiteren besitzt er noch vier nach unten gerichtete Optokoppler des Typs *TCST1103*. Zwei davon sind im vorderen äußeren Bereich der Grundplatte befestigt und sorgen dafür, dass Abgründe rechtzeitig erkannt werden. Die beiden anderen liegen mittig im hinteren Bereich der Grundplatte und dienen dazu, eine schwarze Linie auf dem Boden zu erkennen und zu verfolgen. Durch zwei an der Vorderseite befestigte Photosensoren, ist der c't-Bot auch in der Lage einer Lichtquelle zu folgen.

Die Odometriebestimmung übernehmen ebenfalls zwei Optokoppler des Typs *TCST1103*. Diese tasten die auf den beiden Rädern geklebten Kodierscheiben ab und liefern so die zurückgelegte Strecke der einzelnen Räder. Dieses Verfahren ist relativ ungenau, da durchdrehende Räder die gelieferten Werte verfälschen, so dass diese nicht mehr der tatsächlich zurückgelegten Strecke entsprechen. Aus diesem Grund besitzt der c't-Bot noch einen nach unten gerichteten Maussensor, der die Bewegung des Roboters registriert. Hier wird aus der Positionsveränderung des Roboters die zurückgelegte Strecke genau beschrieben.

Die Steuerung übernimmt ein *Atmel ATmega32* Mikrocontroller. Er verfügt über 32 KByte Flash-Speicher, um die nötigen Programme zu speichern. Durch seine RISC-Architektur und seinen 16 MHz Systemtakt, hat er auch genug Leistung, um die Programme schnell genug abzuarbeiten. Im Kapitel 3.2 wird dieser Mikrocontroller noch genauer betrachtet.

Die Spannungsversorgung übernehmen 4 NiMh-Akkus, die zusammen 6 V und 2,3 Ah liefern, was für eine Betriebsdauer von ca. 9 Stunden reichen sollte. Durch Anschließen eines Netzteils, kann die Betriebsdauer noch erhöht werden. Ein interner Lademechanismus ist nicht vorgesehen.

## 2.2 Planung des Roboters

Da wir auf unserem Roboter Bilder verarbeiten wollten, war sofort klar, dass die c't-Bot-Plattform zu klein ist, da dazu noch ein geeigneter Prozessor und mehr Speicher vonnöten sind, die auf diesem Roboter keinen Platz finden würden. Deshalb entschieden wir uns für eine Eigenentwicklung, die folgende Eigenschaften erfüllen sollte:

- Der Roboter sollte nicht zu groß sein, d.h. Länge, Breite und Höhe des Roboters sollten so klein wie möglich gehalten werden.
- Er sollte eine gute Manövrierfähigkeit haben, d.h. er sollte sich auf der Stelle drehen können, er sollte leichte Steigungen meistern können, er sollte einen guten Geradeauslauf haben und er sollte eine angemessene Fahrgeschwindigkeit haben.
- Die Möglichkeit der Bildverarbeitung sollte gegeben sein, d.h. auf dem Roboter sollte sich ein Computer mit genügend Rechenleistung und Speicher befinden, die eine Bildverarbeitung ermöglichen. Des Weiteren sollte sich auch eine Kamera auf dem Roboter befinden, die die zu verarbeitenden Bilder liefert.
- Als Betriebssystem sollte Linux zu Einsatz kommen.
- Der Roboter sollte über genügend Sensoren verfügen, damit er die Umgebung auswerten kann und nirgendwo aneckt bzw. runterfällt.
- Der Roboter sollte modular aufgebaut sein, d.h. man sollte gegebenenfalls Teile einfach austauschen können bzw. den Roboter ohne größeren Aufwand erweitern können.
- Die Möglichkeit der Odometriebestimmung sollte ebenfalls gegeben sein.

- Die Laufzeit des Roboters sollte mindestens 45 Minuten betragen, wenn alle Verbraucher genutzt werden.
- Die Kosten des Roboters dürfen 750 EUR nicht übersteigen.

Um die benötigte Größe des Roboters herauszufinden, mussten wir zuerst einmal die zu verbauenden Teile zusammenstellen. Wir begannen mit der Suche nach einem geeigneten Mainboard, welches nicht nur stromsparend, sondern auch über genügend Rechenleistung verfügen sollte, bei geringstmöglichem Platzbedarf.

Zuerst kam ein *PC104-Board* in die nähere Auswahl, da diese Art der Mainboards sehr geringe Ausmaße besitzt (96mm \* 147mm) und auch über genügend Rechenleistung verfügt (es gibt sie inzwischen mit bis zu 1.8 GHz Pentium M Prozessor). Leider sind diese sehr teuer, da sie in relativ kleiner Stückzahl produziert werden, und eine Erweiterung ist meist nur durch Spezialhardware möglich.

Aus diesem Grund entschieden wir uns für ein *Mini-ITX-Board*. Diese Art der Boards sind bei vergleichbarer Leistung wesentlich günstiger und, da es sich um ein normales Mainboard handelt, können Standard-PC-Bauteile eingesetzt werden, die die Kosten im Rahmen halten. Das von uns verwendete *VIA Epia M-10000* Mainboard besitzt neben einem 1 GHz *Via C3* Prozessor, auch noch eine integrierte Grafikkarte und benötigt nur ca. 45 Watt unter Vollast. Mit einer Größe von 170mm \* 170mm ist es auch relativ klein, so dass sich die Breite des Roboters im Rahmen hält.

Der nächste Punkt, um die Größe des Roboters zu ermitteln war die Art der Spannungsversorgung. Wir benötigten genügend Leistung, um den Roboter für ca. 45 Minuten mit Strom zu versorgen. Dass wir eine 12 V Spannung einsetzen wollten war von vornherein klar, da dies schon das Mainboard verlangt. Es kam also nur noch auf die Stärke des Akkus an. Die benötigte Leistung des Roboters konnten wir zu diesem Zeitpunkt nur abschätzen, die einzigen Anhaltspunkte waren die Stromaufnahme des Mainboards, ca. 4 A, und des c't-Bots, ca. 250mA. Mit diesen beiden Werten kamen wir auf einen Akku, der mindestens 4,5 A liefern sollte und entschieden uns für einen 7,2 Ah Blei-Gel-Akku, der über genügend Reserven verfügt, um den Roboter für die gewünschte Zeit mit Strom zu versorgen. Ein weiterer Vorteil der Wahl dieses Akkus war, dass diese auch in den anderen Robotern der Arbeitsgruppe verwendet werden und so von der Anschaffung eines neuen Ladegeräts

abgesehen werden konnte. Da der Akku innerhalb des Roboters Platz finden sollte, musste das gesuchte Fahrgestell eine innere Mindestbreite von 10cm haben.

Nach diesen Voraussetzungen begannen wir mit der Suche nach einem geeigneten Fahrgestell und entschieden uns für einen *RC-Panzer* der Firma *Hen Long* im Maßstab 1:16. Dieses Modell hat neben den geeigneten Maßen auch noch zwei getrennte Motoren, ein integriertes Untersetzungsgetriebe, einzeln gefederte Kettenräder und ein weiterer Vorteil ist, dass die Ketten aus Einzelgliedern bestehen.

Während wir auf den Panzer warteten, kümmerten wir uns um die restlichen Dinge, die der Roboter erhalten sollte. Die Motorsteuerung und die Sensordatenauswertung sollte in unserem Roboter ebenfalls der *ATmega32* von *Atmel* übernehmen. Da die Eigenentwicklung eines Controllerboards sehr aufwändig gewesen wäre, entschieden wir uns für ein preisgünstiges Board der Firma *Embedit Mikrocontrollertechnik*, das *Robo32-Board*. Dieses Board hat neben dem Mikrocontroller auch noch gleich einen Motortreiber für zwei 2A-Motoren und eine integrierte I<sup>2</sup>C-Schnittstelle. Eine genaue Beschreibung des Boards finden sie in Kapitel 3.1.3. Als Sensoren planten wir zwei Infrarotsensoren des Typs *GP2D120* von *Sharp*, diese haben einen Erfassungsbereich von ca. 4cm bis 30cm und dienen dazu Abgründe bzw. Treppen zu erkennen. Zusätzlich haben wir noch einen Ultraschallsensor des Typs *SRF08* der Firma *Devantech* mit I<sup>2</sup>C-Schnittstelle zur Entfernungsmessung im vorderen Bereich eingeplant.

Um den Ladezustand des verwendeten Akkus immer im Blick zu haben, entschlossen wir uns noch eine Spannungsanzeige zu integrieren, welche wir auf Basis einer im Internet<sup>1</sup> veröffentlichten Spannungsüberwachung entwickelt haben. Des Weiteren sollte auch ein Adapter zum Programmieren des *ATmega32* eingebaut werden. Beides wurde auf einer eigenen Platine realisiert, die die gleichen Ausmaße wie das *Robo32-Board* hat, damit beide übereinander montiert werden konnten.

Mit der Lieferung des Panzermodells begann die Planung für unsere Karosserie. Dafür musste das Modell komplett zerlegt werden, um die benötigte Bodengruppe des Modells zu erhalten. Aus der Wanne entfernten wir noch das Batteriefach und weitere Halterungen. Das einzige, was wir behielten, waren die Getriebe und zunächst noch die Motoren.

---

<sup>1</sup><http://www.team-iwan.de>

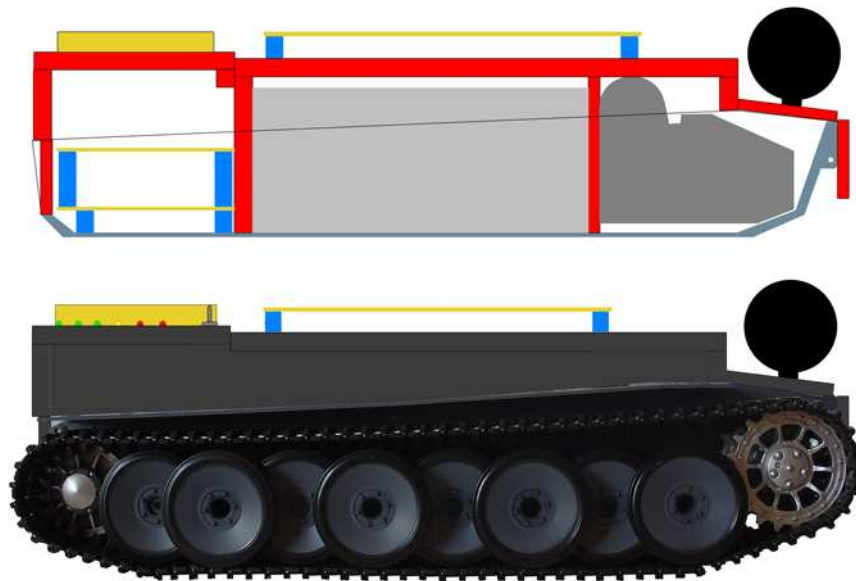


Bild 2.2: Der erste Entwurf auf Basis des Panzerfahrgestells

Nachdem alles entfernt wurde, begannen wir das Modell zu vermessen, um die benötigten Kunststoffteile für das Chassis zu entwerfen. Auf Bild 2.2 sehen sie den geplanten Roboter auf Basis dieses Fahrgestells.

Da alle Komponenten des Roboters, von uns *MiniBot* gekauft, außer dem Mainboard und der Webcam unter einer Kunststoffkarosserie verschwinden sollten, musste diese Karosserie auch dementsprechend groß sein. Des Weiteren sollte der Akku in einem separaten Fach untergebracht sein. Somit ergab sich eine Dreiteilung des Bodenwanne. Im vorderen Bereich befinden sich Getriebe, Motoren und die Taktgeberscheiben in Verbindung mit den Gabellichtschranken zur Odometriebestimmung. Im mittleren Bereich ist wegen der Gewichtsverteilung der Akku untergebracht und im hinteren Bereich befinden sich die beiden Platinen, das Robo32-Board und eine eigens entworfene Platine, auf der sich die Spannungsüberwachung, der Programmieradapter für das Robo32-Board und der Schalteranschluss befinden.

Als Anhaltspunkt für die Höhe der Karosserie dienten uns die Motor- bzw. Getriebehalterungen, die noch etwas höher als der Akku sind. Mit der Breite und der Länge der Karos-



serie richteten wir uns nach der Bodenwanne des RC-Modells.

Um eine hohe Stabilität des Roboters zu erhalten, verwendeten wir 8mm starken Kunststoff namens *Polyamid 6E* (bis auf die inneren Trennwände, die Grundplatte des Ultraschallsensors und die untere hintere Heckplatte, die jeweils 5mm stark sind). Wir entschieden uns für dieses Material, da es trotz der hohen Härte, doch weich genug ist, um es mit einfachsten Mitteln zu bearbeiten und man einfach Gewinde hinein drehen kann, ohne dass das Material gleich reißt.

Genaue Zeichnungen der einzelnen Kunststoffteile und weitere Entwurfszeichnungen finden Sie im Anhang A. Die Karosserieteile wurden von der *Comco Plastik GmbH* aus Fachbach nach diesen Entwürfen gefertigt.

## 2.3 Aufbau des MiniBots

Der Aufbau des MiniBots begann mit dem Einbau der inneren Trennwände. Dies sind die einzigen Teile, die fest mit der Bodenwanne des Panzermodells verklebt sind. Sie trennen das Modell in die gewünschten drei Teile.

Die Trägerplatte des Ultraschallsensors wurde im nächsten Schritt vorne an zwei vorhandenen Ösen angeschraubt. Die untere Heckplatte, in der sich die Ladebuchse, die Netzteilbuchse und die RS232-Schnittstelle des Programmieradapters befinden, wurde nach geringen Anpassungen in die vorhandenen Nuten gesetzt.

Die Grundplatine mit der Spannungsanzeige, dem Programmieradapter und dem Schalteranschluss wurden nun mittels Abstandhalter mit der Wanne verschraubt. Die drei Buchsen der Heckplatte konnten danach angeschlossen werden. Damit man später die Platine ausbauen kann, wurden alle Anschlüsse durch Pfostenstecker realisiert.

Als nächstes wurden die Seitenteile mit den inneren Trennwänden verschraubt und die Taktgeberscheiben an der Achse des zweiten Getrieberitzels befestigt. Danach konnte die Signalplatine eingesetzt werden. Nachdem der Ultraschallsensor und der vordere Infrarotsensor festgeschraubt waren, konnten auch die ersten Kabel eingezogen werden. Im mittleren Akkufach wurden noch kleine Abstandhalter zur Fixierung des Akkus montiert.

Nachdem der Akku eingesetzt und an die Grundplatine angeschlossen wurde, konnten wir mit der restlichen Verkabelung dieser Platine beginnen. Wir begannen mit dem Schalter und den LEDs der Spannungsanzeige, die danach in den hinteren Deckel eingebaut wurden. Nun wurde der Programmieradapteranschluss und die Spannungsversorgung für das Robo32-Board angeschlossen, die auch gleich an diesem befestigt wurden. Schließlich folgte die Spannungsversorgung für das Mainboard, dessen Kabel zunächst nur bis in das mittlere Fach des Roboters gezogen wurde, da es erst zum Schluss benötigt wurde. Da die Grundplatine nun fertig angeschlossen war, konnten wir jetzt das Robo32-Board auf dessen Abstandhalter schrauben.

Die Kabel der vorderen Sensoren und der Signalplatine konnten nun mit dem Robo32-Board verbunden werden. Des Weiteren wurden die Motoren an dieses Board angeschlossen. Nun fehlte nur noch der hintere Infrarotsensor, der an die obere Heckabdeckung angeschraubt wurde. Das auf diesem Board festgelötete serielle Anschlusskabel konnte danach in den mittleren Bereich des Roboters gezogen werden. Somit war auch diese Platine fertig angeschlossen.

Um das Heck zu komplettieren, wurden die Kontroll-LEDs, der Ein- und der Reset-Schalter des Mainboards, sowie die 2,5“-Festplatte auf dessen Deckel befestigt und deren Anschlusskabel ebenfalls in den mittleren Bereich gezogen. Da nun alle Kabel in der Mitte lagen, konnten wir diese durch die Öffnung des mittleren Deckels ziehen und diesen ebenfalls mit dem Roboter verschrauben. Um die Karosserie zu schließen, verschraubten wir noch das Vorderteil und den vorderen Deckel, auf dem wir den Halter der Webcam befestigten.

Die erste Testfahrt brachte zwei Dinge zu Tage: Erstens, waren die Motoren zu schwach und zweitens, wurde der Motortreiber des Robo32-Boards zu heiß und benötigte deshalb eine bessere Kühlung. Das erste Problem lösten wir durch zwei neue *Graupner*<sup>2</sup>-Motoren mit integriertem 3:1-Getriebe. Der Einbau der neuen Motoren setzte zwar geringe Änderungen der ersten Zwischenwand voraus, sie wurden dann aber so eingebaut, dass ein späterer Austausch kein Problem darstellt. Das zweite Problem wurde durch den Einbau eines 40mm-Lüfters in die obere Rückwand und Lüftungslöchern in der rechten Seitenwand gelöst. Um gegen Kurzschlüsse gewappnet zu sein, wurden in der rechten Seitenwand zwei

---

<sup>2</sup><http://www.graupner.de/>

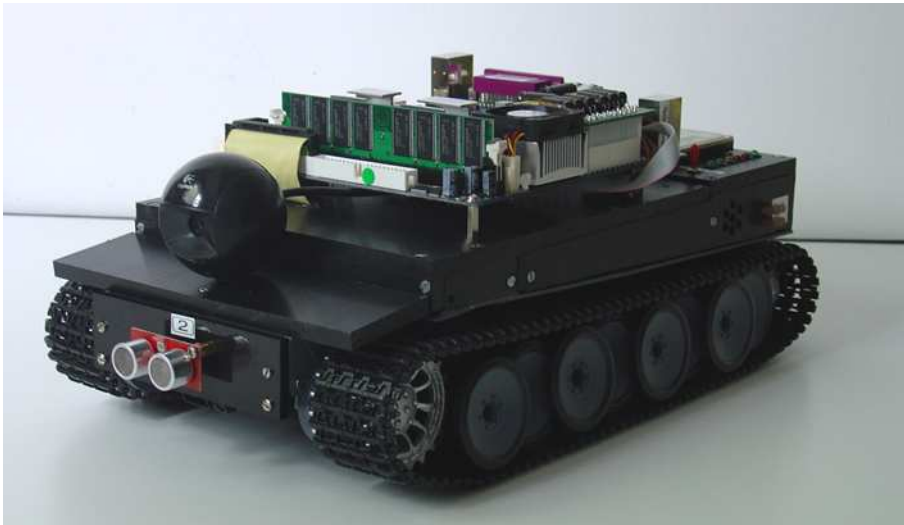


Bild 2.3: Fertiggestellter MiniBot

Sicherungen eingebaut, die einmal das Mainboard und einmal das Robo32-Board absichern. Schließlich wurde das Mainboard auf dem mittleren Deckel befestigt und angeschlossen. Mit der Installation des Betriebssystems (siehe Anhang G) und dem Aufspielen der Software (siehe Kapitel 5) wurde der MiniBot fertiggestellt.

Einige ausgewählte Bilder zum Aufbau befinden sich im Anhang B. Alle Bilder sind auf der beiliegenden CD im Verzeichnis `images/` zu finden.

## 2.4 Blockschaltbild

Das folgende Blockschaltbild zeigt die Zusammenhänge der einzelnen Komponenten des MiniBots, sowie die Kommunikationsart der einzelnen Bauteile untereinander.

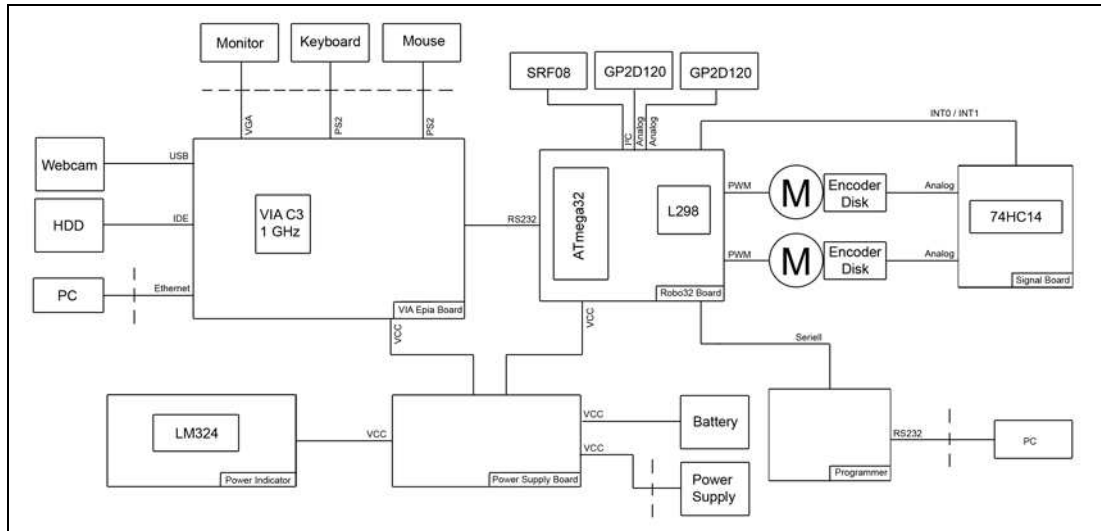


Bild 2.4: Blockschaltbild des MiniBot

# Kapitel 3

## Hardware

In diesem Kapitel wird die verwendete Hardware des Roboters beschrieben. Im ersten Unterkapitel werden die drei eingebauten Platinen erläutert. Im zweiten Unterkapitel wird der verwendete Mikrocontroller und dessen Einstellungen beschrieben.

### 3.1 Platinen

Für den Roboter war es notwendig, zu der gekauften *Robo32* Platine noch zwei Platinen zu entwickeln. Auf der ersten, der *Grundplatine* befinden sich die Spannungsanzeige auf Basis eines *LM324 Chips*, der Programmieradapter, um den ATmega32 des Robo32-Boards zu programmieren, und die Schalteranschlüsse. Die zweite, die *Signalplatine*, dient dazu, die unsauberen Sinussignale der Gabellichtschranken in saubere Rechtecksignale umzuwandeln. In den folgenden Unterkapiteln werde ich die beiden selbst gebauten Platinen und das Robo32-Board genauer erklären.

#### 3.1.1 Spannungsanzeige und Programmieradapter

Da wir bei unserem Roboter mit sehr beengten Platzverhältnissen zurecht kommen müssen, haben wir die Grundplatine so entworfen, dass sie die gleiche Größe hat wie das

Robo32-Board, um sie übereinander befestigen zu können. Diese Platine ist in drei Sektionen eingeteilt (siehe Abb. 3.1), auf der linken Seite ist die *Spannungsanzeige*, in der Mitte befindet sich der *Programmieradapter* und auf der rechten Seite sind die Anschlüsse für den Schalter, mit dem man die Art der Spannungsversorgung auswählen kann.

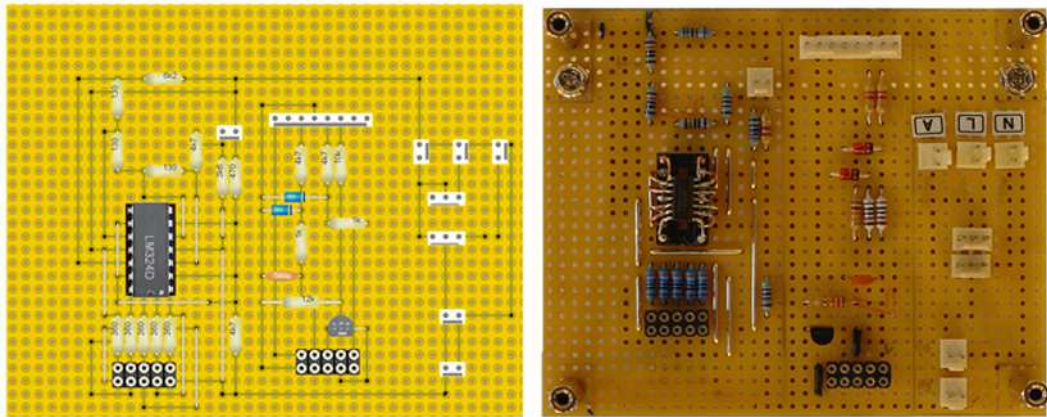


Bild 3.1: Geplante Platine (links) und fertiggestellte Platine (rechts)

### Spannungsanzeige

Nach einer im Internet veröffentlichten Spannungsüberwachung<sup>1</sup> und mit Hilfe des Programms *MultiSIM*<sup>2</sup> von *Electronics Workbench*, haben wir eine Spannungsanzeige erstellt, die den Status des internen Akkus über 5 LEDs anzeigt[Fed04].

Basis dieser Spannungsüberwachung ist ein 4facher Operationsverstärker, der *LM324*<sup>3</sup> von *STMicroelectronics*. Jeder einzelne Operationsverstärker besitzt einen invertierten und einen nicht-invertierten Eingang liegt an dem nicht-invertierten Eingang eine höhere Spannung an, als an dem invertierten Eingang, so schaltet der Operationsverstärker die anliegende Versorgungsspannung auf den Ausgang, ansonsten liegt am Ausgang Masse an.

Die Referenzspannung, die an allen vier invertierten Eingängen anliegt, wird durch den Spannungsteiler mit den Widerständen *R2* und *R3* erzeugt. Die Spannungen, die an den

<sup>1</sup><http://www.team-iwan.de>

<sup>2</sup><http://www.ewb.de>, als 45-Tage Testversion erhältlich

<sup>3</sup>siehe [datasheets/LM324.pdf](#)

nicht-invertierten Eingängen anliegen, werden durch eine Widerstandsreihe erzeugt, d. h. es sind in diesem Fall fünf in Reihe geschaltete Widerstände ( $R_4$  bis  $R_9$ ), bei denen man zwischen jedem Widerstand eine andere Spannung abgreifen kann.

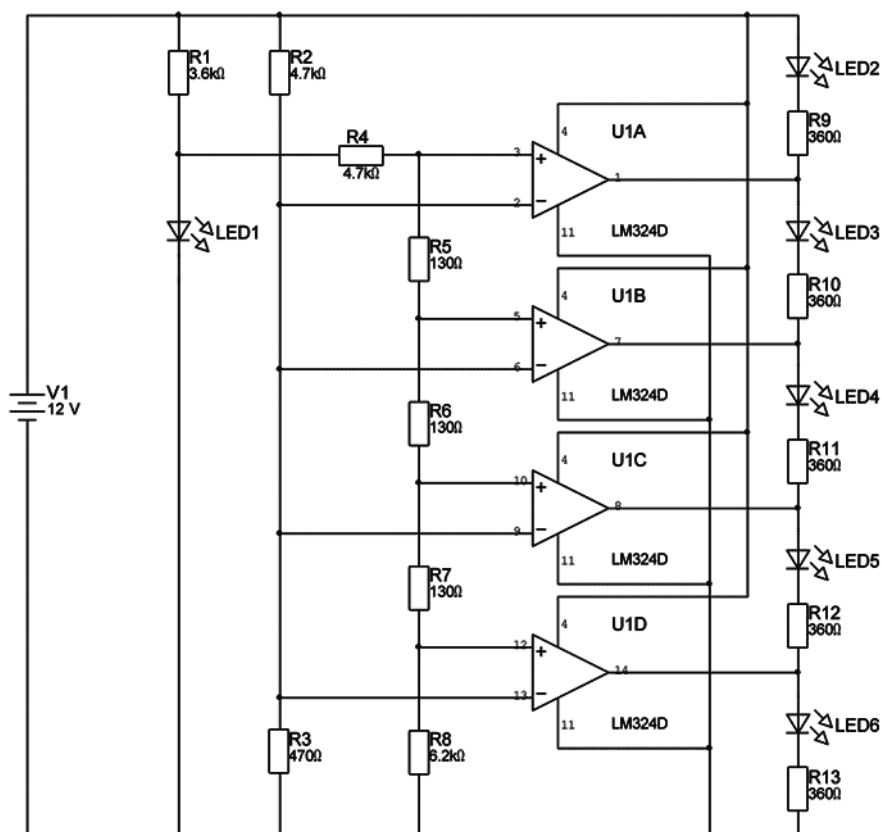


Bild 3.2: Schaltplan der Spannungsüberwachung

Bei einem Spannungsteiler [Bau04] werden im Normalfall zwei Widerstände in Reihe geschaltet (siehe Abbildung 3.3). Die Eingangsspannung  $U_e$  liegt an der Gesamtschaltung an. Die Ausgangsspannung  $U_a$  wird zwischen den Widerständen  $R_a$  und  $R_b$  abgegriffen und kann mit der folgenden Formel berechnet werden:

$$U_a = U_e \cdot \frac{R_b}{R_a + R_b}$$

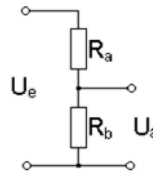


Bild 3.3: Spannungsteiler

Die Eingangsspannung unserer Widerstandsreihe wird durch den Widerstand  $R_1$  und die LED1 auf 2V herabgesetzt. Es ergibt sich für den ersten Operationsverstärker ein  $R_a = R_4 = 4.7k\Omega$  und ein  $R_b = R_5 + R_6 + R_7 + R_8 = 6.59k\Omega$  am nicht-invertierten Eingang. Beim zweiten Operationsverstärker ist  $R_a = R_4 + R_5 = 4.83k\Omega$  und  $R_b = R_6 + R_7 + R_8 = 6.46k\Omega$ , beim dritten ist  $R_a = R_4 + R_5 + R_6 = 4.96k\Omega$  und  $R_b = R_7 + R_8 = 6.33k\Omega$  und beim vierten Operationsverstärker ist  $R_a = R_4 + R_5 + R_6 + R_7 = 5.09k\Omega$  und  $R_b = R_8 = 6.2k\Omega$ .

Liegt nun die volle Akkuspannung an, so sind alle Spannungen an den nicht-invertierten Eingängen niedriger als die Referenzspannung an den invertierten Eingängen und keiner der Operationsverstärker schaltet. Dies bedeutet, dass am Ausgang des ersten Operationsverstärkers Masse anliegt und somit die LED2 zu leuchten beginnt, da deren Anode direkt mit Plus verbunden ist und deren Kathode über den Widerstand  $R_9$  auf Masse liegt.

Fällt nun die Spannung auf ca. 13V, so ist die Spannung, die zwischen  $R_4$  und  $R_5$  abgegriffen wird und am nicht-invertierten Eingang des ersten Operationsverstärkers anliegt, größer als die Referenzspannung und der Ausgang dieses Operationsverstärkers, Pin 1 des LM324, schaltet die Akkuspannung durch, so dass sowohl an der Anode der LED2 als auch an deren Kathode eine positive Spannung anliegt und diese dadurch erlischt. Die LED3 beginnt nun zu leuchten, da aufgrund der positiven Spannung am Ausgang des ersten Operationsverstärkers und der Masse, die sie über den Ausgang des zweiten Operationsverstärkers, Pin 7, und den Widerstand  $R_{10}$  erhält, eine Spannung anliegt.

Die weiteren Abstufungen der Spannungsanzeige sind:

- LED4 leuchtet ab ca. 12,7V
- LED5 leuchtet ab ca. 12,3V
- LED6 leuchtet ab ca. 12V



Eine Anmerkung noch zum Aussehen des LM324 auf der fertigen Platine. Da der benötigte IC nur in SMD-Bauweise erhältlich war, musste er mittels Drahtbrücken auf einen IC-Sockel gelötet werden, damit man ihn, falls er ausfällt, trotzdem noch ohne weitere Lötarbeiten auf der Platine austauschen kann.

### Programmieradapter

Da das Robo32-Board nur über eine *SPI-Schnittstelle*<sup>4</sup> verfügt, über die man Software auf den ATmega32 übertragen kann, wird ein Adapter benötigt, mit dessen Hilfe man einen PC an diese Schnittstelle anschließen und diesen unter Verwendung von PonyProg 2000<sup>5</sup> beschreiben kann. Wir haben uns für einen selbstgebauten seriellen Programmieradapter entschieden, dessen Bauanleitung im Internet<sup>6</sup> zu finden ist. Ziel eines solchen Adapters ist es, die Signale der SPI-Schnittstelle in ein Signal umzuwandeln, das über die serielle Schnittstelle übertragen werden kann.

Die Kommunikation zwischen PC und Roboboard geschieht über vier Signalleitungen:

- **MISO:**  
Master-in-Slave-out, dies ist die Kommunikationsleitung vom Slave, also dem Roboboard, zum Master, also dem programmierenden PC.
- **MOSI:**  
Master-out-Slave-in, dies ist die Kommunikationsleitung vom Master zum Slave.
- **SCK:**  
System-Clock, auf dieser Leitung wird der Synchronisationstakt übertragen, der vom PC aus generiert wird.
- **Reset:**  
Auf dieser Leitung wird ein Low-Signal während des Schreibens übertragen, damit der ATmega32 in den beschreibbaren Modus versetzt wird.

---

<sup>4</sup>*Serial Peripheral Interface*, u. a. Programmierschnittstelle des ATmega32

<sup>5</sup>siehe Anhang G

<sup>6</sup><http://s-huehn.de/elektronik/>



sorgung, so wird einerseits die Versorgungsspannung über das Netzteil, welches an der Netzteilbuchse angeschlossen sein sollte, geliefert und zum Anderen kann man bei dieser Schalterstellung den Akku über die Ladebuchse aufladen, ohne diesen ausbauen zu müssen.

### 3.1.2 Odometriebestimmung

Die Signalplatine dient dazu saubere High- und Low-Signale der Gabellichtschranken an die Interrupt-Eingänge des Robo32-Board zu übertragen. Ein sauberes High-Signal entspricht ca. 5V und ein sauberes Low-Signal entspricht ca. 0V.

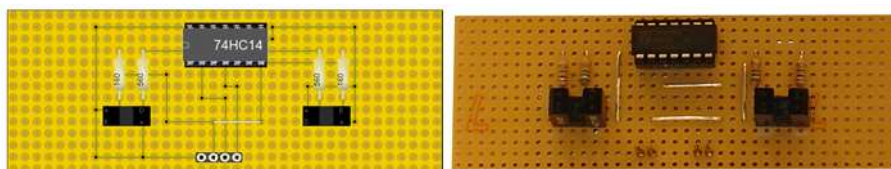


Bild 3.5: Geplante Platine (links) und fertiggestellte Platine (rechts)

Für die Odometriebestimmung wurde an eine Getriebewelle eine Taktgeberscheibe mit 120 Impulsen befestigt, die mittels einer Gabellichtschranke an das Robo32-Board übertragen werden. Da wir aber relativ günstige Gabellichtschranken verwendeten, konnten diese keinen der Impulsbalken erkennen. Abhilfe schaffte eine neue Einteilung der Taktgeberscheiben. Wir entschieden uns für nur noch 12 Impulsbalken, die wir durch eine einfache bedruckte Klebefolie auf die original Taktgeberscheiben aufklebten (siehe Bild 3.6).



Bild 3.6: Neue Einteilung (links) und original Taktgeberscheibe (rechts)

Die Gabellichtschranken erkannten zwar jetzt die Takte, lieferten aber keine sauberen High- und Low-Signale. Das High-Signal entsprach ca. 3,4V und das Low-Signal entsprach ca. 2,1V. Dieser geringe Unterschied konnte das Robo32-Board nicht auseinanderhalten, da der Spannungsunterschied zu gering war. Deshalb haben wir uns entschlossen einen Schmitt-Trigger IC zu verwenden, der diese Werte unterscheiden kann und saubere Signale ausgibt.

Wir verwenden einen Schmitt-Trigger IC des Typs *M74HC14*<sup>8</sup> der Firma *STMicroelectronics*. Dieser schaltet ab ca. 2,8V die Versorgungsspannung, also 5V durch, und liefert so ein sauberes High-Signal. Bis zu einer Spannung von ca. 2,3V liefert er die Masse, also 0V. Da der verwendete IC auch schnell genug schaltet, kann das Robo32-Board die Signale verarbeiten. Eine ausführlichere Erklärung der Funktionsweise der Gabellichtschranken können Sie in Kapitel 4.5 nachlesen.

### 3.1.3 Steuerplatine: Robo32-Board

Da die Eigenentwicklung einer Mikrocontrollerplatine mit integriertem Motortreiber zu aufwändig wäre, entschieden wir uns für den Kauf einer fertigen Platine, die all unsere Bedürfnisse erfüllt. Nach diversen Recherchen im Internet fanden wir eine Platine auf Basis eines Atmel ATmega32 Mikrocontrollers, das *Robo32-Board* von *Embedit Mikrocontrollertechnik*<sup>9</sup>, welches alle unsere Ansprüche erfüllte.

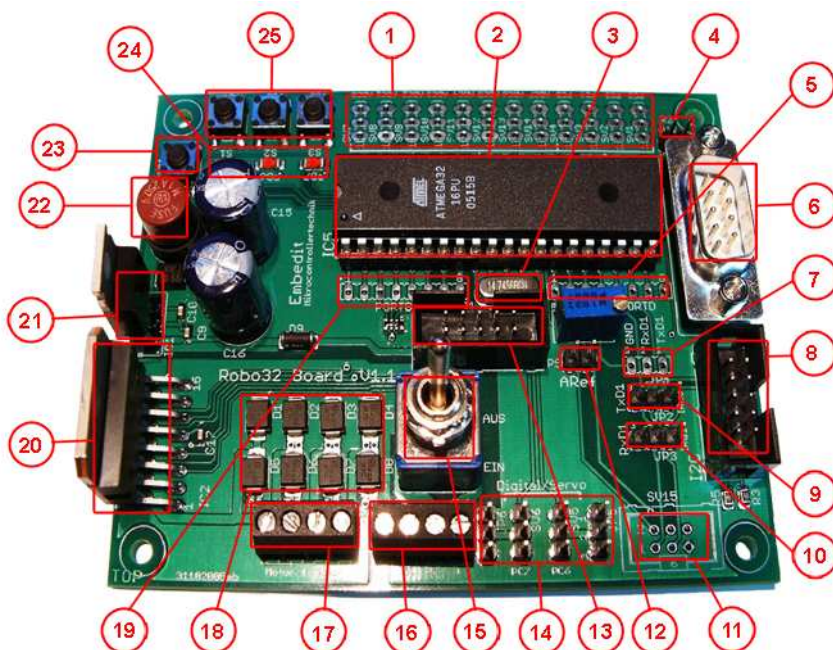
In diesem Unterkapitel stelle ich dieses Board genauer vor, dem Mikrocontroller selbst ist ein eigenes Kapitel gewidmet.

---

<sup>8</sup>siehe [datasheets/74HC14.pdf](#)

<sup>9</sup><http://www.embedit.de>

**Der Aufbau des Boards**



10

**(1) 8 Digital/Analog- und 4 reine Digital-I/O-Ports**

Jeder dieser Ports besteht aus einer 3-poligen Lochleiste. An Lochreihe 1 befinden sich die Signalein-, bzw. Ausgänge, die direkt an den Anschlüssen PA0 - PA7, für die Digital-/Analog-, und PC2 - PC5, für die reinen Digital-I/O-Ports, an dem ATmega32 angeschlossen sind. Die Lochleiste 2 ist mit Masse belegt und an der Lochleiste 3 liegt eine Spannung von 5V an. Wir haben diese Anschlüsse unter anderem dazu genutzt, um eine saubere 5V Spannung abzugreifen, z.B. für den Hecklüfter und die Signalplatine. Des Weiteren sollte man bei der Programmierung des Mikrocontrollers darauf achten, dass diese Ports entweder als Eingang oder als Ausgang definiert werden, da sonst Probleme auftreten können, wie z.B. falsche Signale, die schwer zu finden sind.

---

<sup>10</sup>Quelle: Embedit Microelectronics, überarbeitet

(2) **Der ATmega32**

Dies ist der Mikrocontroller, für den das Robo32-Board entwickelt wurde. Er wird im folgenden Unterkapitel genauer beschrieben.

(3) **14,7456 MHz Quarz**

Dieser Quarz wird anstelle des internen 1MHz Quarzes des Mikrocontrollers genutzt, um eine höhere Rechenleistung des Mikrocontrollers zu erreichen. Dieser Quarz ist über die Anschlüsse XTAL1 und XTAL2 mit dem ATmega32 verbunden und muss bei der Programmierung des Controllers aktiviert werden. Eine genaue Beschreibung der Einstellungen finden Sie im Anhang G „Programmierungsumgebung für den Mikrocontroller“.

(4) **Jumper Enable RS232**

Dieser Jumper dient dazu die serielle Schnittstelle (siehe Punkt 6) zu aktivieren. Ist er gesteckt, so kann die vorhandene Schnittstelle verwendet werden.

(5) **Port D**

Diese 8-polige Lochreihe beinhaltet auf dem Board verwendeten Ports, wie z.B. die Pulsweitenmodulation der Motoren<sup>11</sup>, die natürlich auch direkt mit dem Mikrocontroller verbunden sind. Da wir die zweite serielle Schnittstelle des Boards nicht verwenden, können wir die beiden Interrupts an Port PD3 und Port PD4, für unsere Zwecke nutzen. Über diese beiden Ports werden die Signale der Gabellichtschranken eingelesen, die dann im Mikrocontroller weiterverarbeitet werden können. Diese beiden Eingänge müssen aus den gleichen Gründen, wie unter Punkt 1 beschrieben, als Eingänge definiert werden.

(6) **Die serielle Schnittstelle (RS232-0)**

Über diese Schnittstelle wird die Kommunikation mit dem Barebone-Motherboard betrieben. Aus Platzproblemen haben wir die vorhandene Buchse aus- und an dieser Stelle ein 9-poliges Kabel eingelötet. Das Kabel wird mittels eines 10-poligen Pfostensteckers direkt auf dem Mainboard aufgesteckt. Zu beachten ist, dass das Kabel eine Nullmodemkabel-Belegung haben muss, damit beide miteinander kommunizieren können. Um nicht immer das interne Mainboard des Roboters benutzen

---

<sup>11</sup>siehe *datasheets/Robo32.pdf*, Seite 13

zu müssen, haben wir einen einfachen Adapter gebaut, mit dessen Hilfe man das Robo32-Board an einen externen PC anschließen kann, um z.B. die erstellten Programme mit diesem zu testen. Der Adapter besteht aus der ausgelöteten seriellen Buchse, an die einfach ein Stück Kabel mit einer Stiftleiste angelötet wurde, die genau in die Pfostenleiste passt. Eine Erläuterung der Programmierung der RS232-Schnittstelle finden Sie im Kapitel 4.3.

(7) **Jumper 4**

Dieser Anschluss liefert die seriellen Signale einer zweiten RS232-Schnittstelle.

(8) **I<sup>2</sup>C-Schnittstelle**

An dieser Pfostensteckerleiste können bis zu 112 I<sup>2</sup>C-Module angeschlossen werden, in unserem Fall nur der Ultraschallsensor. Da der I<sup>2</sup>C-Bus nur zwei Datenleitungen, SDA (Datenleitung) und SCL (Taktleitung), benötigt, wird er auch *Two-Wire-Interface* genannt. Die Funktionsweise des Ports und des Ultraschallsensors werden in Kapitel 4.6 genauer erklärt. Die Belegung des Ports ist in der Robo32-Board-Dokumentation<sup>12</sup> nachzulesen.

(9) **Jumper 2**

An diesem Jumper wird die Verwendung des Interrupts INT0 eingestellt, wird er auf der Position 1-2 gebrückt, so steht INT0 dem I<sup>2</sup>C-Port zur Verfügung. Will man die zweite RS232-Schnittstelle benutzen, so muss man die Pins 2-3 brücken. Benötigt man weder die zweite serielle Schnittstelle noch den INT0 am I<sup>2</sup>C-Bus, wie in unserem Fall, so darf man keinen Jumper setzen. Dann kann man INT0 an dem Erweiterungsport SV15, bzw. falls dieser auch nicht genutzt wird, an Port PD3 nutzen.

(10) **Jumper 3**

Dieser Jumper regelt die Einstellungen für den Interrupt INT1. Es gelten die gleichen Richtlinien wie bei Jumper 2.

(11) **Erweiterungsport SV15**

Dieser Port kann genutzt werden, falls keine serielle Schnittstelle und keine der

---

<sup>12</sup>siehe *datasheets/Robo32.pdf*, Seite 11

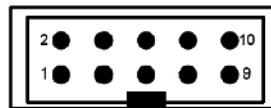
beiden Interrupts INT0 und INT1 benötigt werden. Eine genaue Belegung des Ports ist in der Dokumentation<sup>13</sup> nachzulesen.

#### (12) Referenzspannungsanschluss AREF

An dieser Stiftleiste kann man eine externe Referenzspannung anlegen, die dann im Mikrocontroller verwendet wird. Sie ist direkt mit dessen Ports AREF und GND verbunden. Brückt man diesen Anschluss, so wird der Mikrocontroller zerstört, da keine Absicherung des Ports vorliegt.

#### (13) SPI

Das *Serial Peripheral Interface* ist eine allgemeine Kommunikationsschnittstelle des ATmega32. In unserem Fall wird sie aber nur zur Programmierung des Mikrocontrollers genutzt. Die Belegung des Ports sehen Sie in Bild 3.7. An Pin 2 des Pfosten-



Pin 1: MOSI	Pin 2: VCC
Pin 3: Not Connected	Pin 4: GND
Pin 5: RESET	Pin 6: GND
Pin 7: SCK	Pin 8: GND
Pin 9: MISO	Pin 10: GND

Bild 3.7: Die Belegung des SPI (Quelle: *datasheets/Robo32.pdf*)

steckers liegt eine Spannung von 5V und an den Stiften 4, 6, 8 und 10 liegt Masse an. Deshalb sollte man darauf achten, dass die Stifte nicht gebrückt werden, da sonst ein Kurzschluss entstehen könnte, der zur Zerstörung des Mikrocontrollers führen würde. Die LEDs (siehe Punkt 24) nutzen die gleichen Ports (Port PB5 bis Port PB7) des Mikrocontrollers, weshalb diese während des Programmierens flackern. Die Beschreibung einer Programmiersequenz mit Hilfe des Programms *PonyProg 2000* wird in Unterkapitel G beschrieben.

#### (14) Digital-Servo-Anschluss

An den Anschlüssen SV5 und SV6 können digitale Servos von *Conrad*, *Futaba*

<sup>13</sup>siehe *datasheets/Robo32.pdf*, Seite 16



oder *Robbe* angeschlossen werden. Sie nutzen eine andere Pin-Belegung, hier ist die positive Spannung in der Mitte und die Masse außen. Diese Anschlüsse sind direkt mit dem Mikrocontroller über die Ports PC6 und PC7 verbunden. Die Jumper JP5 und JP6 stellen die Art der Versorgungsspannung ein. Sind die Pins 1 und 2 gebrückt, so werden die Servos über die 5V-Spannung des Boards versorgt. Sind aber die Pins 2 und 3 gebrückt, so wird eine externe Spannung, über den Anschluss X3-S (siehe Punkt 16), verwendet.

(15) **Schalter**

Mit diesem Schalter kann man das Robo32-Board ein- bzw. ausschalten.

(16) **Spannungsversorgung**

Hier wird die Spannungsversorgung angeschlossen. An „GND“ wird die Masse angeschlossen, an „+“ die positive Versorgungsspannung, die nicht größer als 30 V sein sollte, da das sonst zur Zerstörung des Robo32-Boards führen würde. Da diese Spannung intern nicht abgesichert ist, sollte man sie vorher absichern. Deshalb haben wir eine der beiden Sicherungen in die Seitenwand des Roboters eingesetzt. Am Anschluss „5V“ kann man 5V für externe Geräte abgreifen. Dieser Anschluss ist über die interne 1A-Sicherung (Punkt 22) abgesichert. An S wird gegebenenfalls eine externe Spannungsquelle für die Sensoren SV5 und SV6 (siehe Punkt 14) angeschlossen.

(17) **Motoranschluss**

Hier werden die beiden Gleichstrommotoren angeschlossen. Alternativ ist auch die Verwendung eines Schrittmotors möglich. Die Motoren dürfen jeweils einen Strom von 2A nicht übersteigen, da dies auch zur Zerstörung des Boards führen würde. Eine Erklärung der Motorsteuerung lesen Sie unter Punkt 20 und eine Erklärung der Pulsweitenmodulation folgt in Kapitel 4.4.1.

(18) **Freilaufdioden**

Es stehen pro Motor 4 Schutzdioden zur Verfügung, die die Motoren entstoren und somit das Board vor den möglichen Spannungsspitzen schützen.

**(19) Port B**

Diese 8-polige Lochreihe beinhaltet ebenfalls die auf dem Board verwendeten Ports, in diesem Fall die Richtungseinstellung des zweiten Motors, die drei Taster (siehe Punkt 25) und die drei LEDs (siehe Punkt 24)<sup>14</sup>. Alle Ports sind natürlich auch direkt mit dem Mikrocontroller verbunden.

**(20) Motortreiber**

Als Motortreiber wird der *L298*-Baustein<sup>15</sup> eingesetzt. Dieser IC liefert den benötigten Strom für die beiden Motoren, der max. 2A pro Motor beträgt. Pro Motor hat der IC zwei Eingänge, die mit den Ports `PB1` und `PB2` (Richtung Motor 2), für den einen, und den Ports `PD7` und `PD8` (Richtung Motor 1), für den anderen Motor, des *ATmega32* verbunden sind. Über diese Ports wird die Drehrichtung der Motoren bestimmt. Allein eine Spannung auf diesen Ports genügt noch nicht, um die Motoren zu einer Bewegung zu treiben. Man muss auch noch ein Signal auf die Enable-Ports des IC legen. Diese sind mit den Ports `PD5` (PWM2) und `PD6` (PWM1) des Mikrocontrollers verbunden. Über die Pulsweitenmodulation (siehe Kapitel 4.4.1) wird dann die Geschwindigkeit der Motoren eingestellt. Da in unserem Fall die Motoren in entgegengesetzter Richtung laufen müssen, damit der Roboter geradeaus fährt, müssen auch die Input-Signale, die der *L298* erhält, entgegengesetzte Signale sein.

**(21) Spannungswandler**

Auf dem *Robo32*-Board ist ein Spannungswandler-Baustein des Typs *7805*<sup>16</sup>. Dieser IC regelt die anliegende Versorgungsspannung auf 5V herunter, und versorgt mit dieser Spannung das komplette Board. Der abgegriffene Strom darf 1A nicht übersteigen, sonst wird der Baustein zerstört. Diese 1A beziehen sich auf das komplette Board, incl. aller an den analogen bzw. digitalen Schnittstellen angeschlossenen Sensoren und/oder Servos.

**(22) Sicherung**

Diese 1A-Sicherung sorgt dafür, dass die max. 1A des Spannungswandlers nicht überschritten wird.

---

<sup>14</sup>siehe *datasheets/Robo32.pdf*, Seite 13

<sup>15</sup>siehe *datasheets/L298.pdf*

<sup>16</sup>siehe *datasheets/7805.pdf*

**(23) Reset-Taster**

Mit diesem Taster kann man den Mikrocontroller neu starten, anstatt das komplette Board aus- und wieder einzuschalten.

**(24) LEDs**

Diese drei LEDs sind direkt an die Ports PB5, PB6 und PB7 des Mikrocontrollers angeschlossen. Man kann diese direkt über den ATmega32 ansprechen. Sie haben keinen weiteren Zweck, sind aber recht sinnvoll, da man diese als einfache Kontrollwerkzeuge bei der Programmierung einsetzen kann.

**(25) Taster**

Die drei Taster sind ebenfalls direkt mit dem ATmega32 verbunden und zwar über die Ports PB2, PB3 und PB4. Mit den Tastern kann man ebenfalls die Programmierung überprüfen, z.B. wenn das Programm auf ein Eingangssignal wartet. Sie haben sonst aber ebenfalls keinen weiteren Zweck.

**Aktuelle Konfiguration des Robo32-Boards**

Zur Zeit sind an dem Robo32-Board drei Sensoren angeschlossen. Die beiden Infrarotsensoren des Typs GP2D120 von Sharp sind an den Digital/Analogen Eingängen des Boards angeschlossen. Der Ultraschallsensor wird über den I<sup>2</sup>C-Bus angesteuert. Des Weiteren sind die Signalleitungen der Signalplatine an den Interrupt-Eingängen PD3 und PD4 angeschlossen. Der Lüfter, sowie die Signalplatine erhalten ihre Spannung über die Pins 2 und 3 zweier unbenutzter Digital/Analog-Eingänge.

**3.2 Mikrocontroller: ATmega32**

In diesem Unterkapitel wird der *ATmega32* von *Atmel* genauer beschrieben. Im ersten Teil werden die Eigenschaften des Mikrocontrollers beschrieben. Im zweiten Teil werden die auf dem Robo32-Board verwendeten Ports und Einstellungen beschrieben.

### 3.2.1 Eigenschaften im Überblick

Der Mikrocontroller ATmega32 nutzt eine erweiterte *RISC*-Architektur<sup>17</sup>, d.h. er besitzt u.a. 131 auf dem Chip gespeicherte Befehle, die meist in einem Taktzyklus ausgeführt werden können. Das bedeutet, dass er bis zu 16 Millionen Befehle pro Sekunde verarbeiten kann (bei einem Systemtakt von 16MHz). Intern arbeitet der Mikrocontroller mit einem Takt von 1 MHz, der aber durch die Verwendung eines externen Quarzes auf bis zu 16 MHz erhöht werden kann.

Es stehen drei Arten von internem Speicher zur Verfügung: Ein 32 KByte großer Flash-Speicher, der die Programme aufnehmen kann, ein 2 KByte großer SRAM-Speicher, der als Datenspeicher fungiert und ein 1 KByte großer EEPROM-Speicher, der ebenfalls als Datenspeicher benutzt wird. In einem 32 Byte großen Register, dem *General Purpose Working Register*, werden die Werte abgelegt, die die ALU dann mit den integrierten Befehlen verarbeitet. Dieses Register teilt sich in zwei Teile R0 bis R15 und R16 bis R31, wobei die Register R26 bis R31 auch als Pointer-Register verwendet werden können.

Des Weiteren besitzt dieser Mikrocontroller eine JTAG-, USART-, TWI- und eine SPI-Schnittstelle. Die *JTAG*-Schnittstelle<sup>18</sup> dient dem Debuggen von Programmcode auf dem Controller, d.h. man kann über diese Schnittstelle erstellten Programmcode überprüfen. Über die *USART*-Schnittstelle<sup>19</sup> kommuniziert der ATmega32 mit dem PC, es ist eine serielle Kommunikationsschnittstelle, die nur zwei Leitungen benötigt, erstens TxD (Transceive Data) und zweitens RxD (Receive Data). Die *TWI*-Schnittstelle<sup>20</sup> ist eine einfache aber leistungsfähige und flexible Kommunikationsschnittstelle. Sie wird in Kapitel 4.6 genauer beschrieben. Die *SPI*-Schnittstelle<sup>21</sup> ist eine universelle Hochgeschwindigkeits-Schnittstelle, die synchrone Datenübertragung zwischen mehreren Mikrocontrollern oder einem Mikrocontroller und einem PC mittels Adapter erlaubt. Über diese Schnittstelle wird auch unser Programmieradapter angeschlossen, der, da der ATmega32 das *In-System-Programming* unterstützt, eine Programmierung in eingebautem Zustand erlaubt.

---

<sup>17</sup>*RISC = Reduced Instruction Set Computing*

<sup>18</sup>*JTAG = Joint Test Action Group = IEEE-Standard 1149.1*

<sup>19</sup>*USART = Universal Synchronous and Asynchronous Receiver and Transmitter*

<sup>20</sup>*TWI = Two Wire Interface = I<sup>2</sup>C = Inter-Integrated Circuit*

<sup>21</sup>*SPI = Serial Peripheral Interface*

(XCK/T0) PB0	1	40	PA0 (ADC0)
(T1) PB1	2	39	PA1 (ADC1)
(INT2/AIN0) PB2	3	38	PA2 (ADC2)
(OC0/AIN1) PB3	4	37	PA3 (ADC3)
(SS) PB4	5	36	PA4 (ADC4)
(MOSI) PB5	6	35	PA5 (ADC5)
(MISO) PB6	7	34	PA6 (ADC6)
(SCK) PB7	8	33	PA7 (ADC7)
RESET	9	32	AREF
VCC	10	31	GND
GND	11	30	AVCC
XTAL2	12	29	PC7 (TOSC2)
XTAL1	13	28	PC6 (TOSC1)
(RXD) PD0	14	27	PC5 (TDI)
(TXD) PD1	15	26	PC4 (TDO)
(INT0) PD2	16	25	PC3 (TMS)
(INT1) PD3	17	24	PC2 (TCK)
(OC1B) PD4	18	23	PC1 (SDA)
(OC1A) PD5	19	22	PC0 (SCL)
(ICP1) PD6	20	21	PD7 (OC2)

Bild 3.8: Pinbelegung des ATmega32 (Quelle: *datasheets/atmega32.pdf*)

Neben einem 8-Kanal, 10-Bit A/D-Wandler besitzt der ATmega32 noch folgende Eigenschaften:

- vier Pulsweitenmodulations-Kanäle
- zwei 8-Bit Timer/Counter
- ein 16-Bit Timer/Counter
- 32 frei programmierbare Ein- bzw. Ausgänge
- ein Analog-Komparator

### 3.2.2 Verwendete Ports und Einstellungen

#### Die Pinbelegung des ATmega32 und deren Verwendung

In der anschließenden Tabelle werden die Funktion der einzelnen Pins des ATmega32 beschrieben.

PIN	FUNKTION
PD0	Entweder ein Timer-Eingang oder ein externer Takteingang für den USART
PD1	Ein weiterer Timer-Eingang
PD2	Entweder der externer Interrupt 2 oder der eine Eingang des Analog-Komparators
PD3	Entweder der Output-Compare-Ausgang des Timer 0 oder der zweite Eingang des Analog-Komparators
PD4	Ein Pin der SPI-Schnittstelle, der benötigt wird um den richtigen Slave am Bus zu wählen
PD5	Datenausgang der SPI-Schnittstelle
PD6	Dateneingang der SPI-Schnittstelle
PD7	Taktleitung der SPI-Schnittstelle
RESET	Wie der Name schon sagt, um den Controller zurückzusetzen
VCC	Versorgungsspannung
GND	Masse
XTAL2	Eingang eines externen Taktgebers (Quarz)
XTAL1	Der zweite Eingang eines externen Taktgebers (Quarz)
PD0	Eingang der USART-Schnittstelle
PD1	Ausgang der USART-Schnittstelle
PD2	Externer Interrupt 0
PD3	Externer Interrupt 1
PD4	1. PWM-Ausgang des Timers 1
PD5	2. PWM-Ausgang des Timers 1
PD6	Eingang der Capture-Funktion des integrierten Zählerbausteins
PD7	PWM-Ausgang des Timers 2
PC0	Clockleitung der I <sup>2</sup> C-Schnittstelle
PC1	Datenleitung der I <sup>2</sup> C-Schnittstelle
PC2	Test Clock der JTAG-Schnittstelle
PC3	Test Mode Select Input der JTAG-Schnittstelle
PC4	Test Data Output der JTAG-Schnittstelle
PC5	Test Data Input der JTAG-Schnittstelle
PC6	Anschluss 1 eines externen Uhrenquarzes

PC7	Anschluss 2 eines externen Uhrenquarzes
AVCC	Spannungsanschluss für den AD-Wandler
GND	Masse
AREF	Referenzspannung für den AD-Wandler
PA7	8. Eingang des AD-Wandlers
PA6	7. Eingang des AD-Wandlers
PA5	6. Eingang des AD-Wandlers
PA4	5. Eingang des AD-Wandlers
PA3	4. Eingang des AD-Wandlers
PA2	3. Eingang des AD-Wandlers
PA1	2. Eingang des AD-Wandlers
PA0	1. Eingang des AD-Wandlers

In der folgenden Tabelle sind die benutzten Pins des Mikrocontrollers und deren Verwendung aufgeführt. Alle anderen Pins des Controllers sind zwar auf dem Robo32-Board aufgeführt, spielen aber bei unserem Roboter zur Zeit noch keine Rolle.

VERWENDUNG	PINS
Drehrichtung rechter Motor	PD7, PD8
Drehrichtung linker Motor	PB1, PB2
Geschwindigkeit rechter Motor	PD6
Geschwindigkeit linker Motor	PD5
Infrarotsensor vorne	PA1
Infrarotsensor hinten	PA3
Ultraschallsensor	PC0, PC1
Programmieradapter	PB4, PB5, PB6, PB7
Gabellichtschranken	PD3, PD4
Spannungsversorgung	VCC, GND
Serielle Schnittstelle	PB0, PD0, PD1

### Die Fuse-Bits

Mit diesen Bits werden Einstellungen des ATmega32 konfiguriert, es wird z.B. dem Mikrocontroller mitgeteilt, dass ein externer Quarz verwendet werden soll. Eine Beschreibung

der einzelnen Fuse-Bits sehen Sie in der folgenden Tabelle. Des Weiteren ist in dieser Tabelle aufgeführt, ob die Bits gesetzt sind oder nicht.

FUSE-BIT	BEDEUTUNG	GESETZT
CKSEL0, CKSEL1, CKSEL2, CKSEL3	Mit diesen vier Bits wird die Quelle des Systemtaktes eingestellt, da bei unserem System ein externer Quarz verwendet wird, sind alle vier Bits gesetzt <sup>22</sup>	ja
SUT0, SUT1	Hier wird die Startzeit eingestellt, die abhängig vom verwendeten Taktgeber gewählt werden sollte <sup>23</sup>	ja
BODEN	Über dieses Bit wird eine Versorgungsspannungsüberwachung (Brown-out Detector) aktiviert, die gegebenenfalls einen RESET des Mikrocontrollers durchführt <sup>24</sup>	ja
BODLEVEL	Durch dieses Bit wird die Spannung eingestellt, ab der ein RESET durchgeführt wird, in unserem Fall 4 V	ja
BOOTRST	Mit diesem Bit wird die Bootquelle nach einem RESET eingestellt, entweder Adresse 0, oder wie in unserem Fall der Bootloader-Bereich	ja
BOOTSZ0, BOOTSZ1	Durch diese beiden Bits wird der Bereich und die Größe des Bootloaderbereichs eingestellt <sup>25</sup>	nein
EESAVE	Mit Setzen dieses Bits wird der EEPROM-Speicher bei jedem Flashen gelöscht. Wird dieses Bit nicht gesetzt, so ist der Speicher geschützt	ja
CKOPT	Durch dieses Bit kann eine Verstärkung des Taktsignals eingestellt werden <sup>26</sup>	ja
SPIEN	Wird dieses Bit gesetzt, kann man den Mikrocontroller nicht mehr über das SPI programmieren, also <b>niemals</b> dieses Bit setzen	nein
JTAGEN	Dieses Bit aktiviert die JTAG-Schnittstelle des Mikrocontrollers	ja
OCDEN	Durch dieses Bit wird der OnChip-Debugger aktiviert	ja

Eine ausführlichere Beschreibung des Mikrocontrollers finden Sie im Datenblatt<sup>27</sup>.

<sup>27</sup> siehe [datasheets/atmega32.pdf](#)



# Kapitel 4

## Programmierung des ATmega32-Mikrocontrollers

Die hardwarenahe Steuerung des MiniBots erfolgt über ein *Robo32-Board*<sup>1</sup>, das mit einem *ATmega32*<sup>2</sup>-Mikrocontroller[Gad00] von *Atmel*<sup>3</sup> bestückt ist. Tabelle 4.1 zeigt die Hauptmerkmale des Boards. Für weitere Details zum verwendeten Robo32-Board, siehe Kapitel 3.1.3, bzw. Kapitel 3.2 für weitere Informationen zum ATmega32-Mikrocontroller.

Die Programmierung des Mikrocontrollers erfolgt in *AVR-Assembler*[Mor02, RHB06], einer von Atmel speziell für deren Mikrocontroller entwickelten Assemblersprache. Unter <http://www.mikrocontroller.net/tutorial/> steht ein gutes Tutorial zum Einstieg in die Programmierung mit AVR-Assembler zur Verfügung. Eine ausführliche Befehlsreferenz befindet sich auf der beiliegenden CD unter `specifications/avr.pdf`.

In Anhang G werden die zur Programmierung verwendeten Tools und deren Einrichtung erläutert.

---

<sup>1</sup>siehe *datasheets/robo32.pdf*

<sup>2</sup>siehe *datasheets/atmega32.pdf*

<sup>3</sup><http://www.atmel.com/>

Tabelle 4.1: Merkmale des Robo32-Boards mit ATmega32

ATmega32 mit 14,7456 MHz RS232-Schnittstelle L298-Motortreiber für zwei 2A-Motoren 5V Spannungsregler für variable Eingangsspannung I <sup>2</sup> C-Port STK200 kompatibler ISP-Programmierschluss 8 AD-Wandler Eingänge 6 digitale I/O-Ports 3 Taster und 3 LEDs
--

## 4.1 Client-Server-Kommunikation

Die Kommunikation zwischen Mikrocontroller und Barebone-Motherboard findet über eine *serielle RS232-Schnittstelle* [Kai89, Sey88] nach dem *Client-Server*-Prinzip statt. Das Barebone-Motherboard fungiert als Client und sendet Bytes bzw. Befehle an den Mikrocontroller, der diese als Server verarbeitet und eine Antwort an den Client zurücksendet. So kann der Client den MiniBot durch Senden bestimmter Befehle steuern oder Statusinformationen abfragen. Die Kommunikation zwischen Barebone-Motherboard und Mikrocontroller bzw. Client und Server verläuft nach einem festgelegten Protokoll, das in Tabelle 4.2 dargestellt ist. Die Protokollcodes sind in `Protocol.asm`<sup>4</sup> als Aliase hinterlegt. Aliase dienen bei AVR-Assembler zur Definition von benannten Konstanten, die durch den Präprozessor des AVR-Compilers ersetzt werden (vergleichbar mit der `#define`-Direktive des C++-Präprozessors).

Mit `REQUEST_TEST` kann die serielle Verbindung, sowie die korrekte Funktionsweise des Mikrocontrollers getestet werden. Das als Parameter gesendete Byte wird inkrementiert und an den Client zurückgesendet.

Durch Senden von `REQUEST_ADC` wird an den Pins, an denen die Infrarot-Sensoren angeschlossen sind, eine Analog-Digital-Wandlung ausgelöst. Anschließend wird dann

---

<sup>4</sup>siehe `prog/MiniBot/Protocol.asm`

Tabelle 4.2: Protokoll der Client-Server-Kommunikation

Request	Request-Parameter	Response	Response-Parameter
REQUEST_TEST	X	inc(X)	-
REQUEST_ADC	-	RESPONSE_REQUEST_SUCCESSFUL	FH FL RH RL
REQUEST_PWM_SET_VELOCITY	LV RV	RESPONSE_REQUEST_SUCCESSFUL	-
REQUEST_PWM_START_ACTION	AC	RESPONSE_REQUEST_SUCCESSFUL RESPONSE_ACTION_UNKNOWN	- -
REQUEST_PWM_START_ACTION_INTERVAL	AC IH IL	RESPONSE_REQUEST_SUCCESSFUL RESPONSE_ACTION_UNKNOWN	- -
REQUEST_PWM_STOP_ACTION	-	RESPONSE_REQUEST_SUCCESSFUL	-
REQUEST_I2C_START_MEASUREMENT	-	RESPONSE_REQUEST_SUCCESSFUL RESPONSE_I2C_ERROR	- EC
REQUEST_I2C_GET_DISTANCE	-	RESPONSE_REQUEST_SUCCESSFUL RESPONSE_I2C_ERROR	DH DL EC
REQUEST_GET_STATE	-	RESPONSE_REQUEST_SUCCESSFUL	AS
sonst	-	RESPONSE_REQUEST_UNKNOWN	-

## Abkürzungen:

FH = Front-Sensor High-Byte	IH = Intervall High-Byte
FL = Front-Sensor Low-Byte	IL = Intervall Low-Byte
RH = Rear-Sensor High-Byte	EC = Error-Code
RL = Rear-Sensor Low-Byte	AC = Action-Code
LV = Linke Geschwindigkeit	AS = Action-State
RV = Rechte Geschwindigkeit	X = beliebiges Byte

RESPONSE\_REQUEST\_SUCCESSFUL gefolgt von jeweils Low- und High-Byte der ermittelten Werte an den Client gesendet (siehe Kapitel 4.7).

Die Geschwindigkeit der beiden Motoren kann mit REQUEST\_PWM\_SET\_VELOCITY gefolgt von den zwei Bytes für die linke und rechte Geschwindigkeit getrennt eingestellt werden (siehe Kapitel 4.4). Mit RESPONSE\_REQUEST\_SUCCESSFUL wird dies vom Server bestätigt. Um eine Bewegung des Roboters mit der gewählten Geschwindigkeit zu starten, kann der Client REQUEST\_PWM\_START\_ACTION mit anschließendem *Action-Code*<sup>5</sup>, der die Art der gewünschten Bewegung codiert, senden (siehe Kapitel 4.4). Der Server bestätigt dies wieder mit RESPONSE\_REQUEST\_SUCCESSFUL bzw. mit RESPONSE\_ACTION\_UNKNOWN, wenn eine unbekannte Bewegung gefordert wurde. Mit REQUEST\_PWM\_START\_ACTION\_INTERVAL kann eine Bewegung eines bestimmten Intervalls ausgelöst werden. Hierbei wird nach dem *Action-Code* zusätzlich High- und Low-Byte der gewünschten Anzahl von Taktimpulsen der Taktgeberscheiben gesendet. Näheres hierzu in Kapitel 4.5. Die Bewegung kann jederzeit wieder mit REQUEST\_PWM\_STOP\_ACTION gestoppt werden, was der Server wiederum durch Senden von RESPONSE\_REQUEST\_SUCCESSFUL bestätigt (siehe Kapitel 4.4).

Mit REQUEST\_I2C\_START\_MEASUREMENT kann der Client eine Entfernungsmessung des Ultraschall-Sensors auslösen. Mit RESPONSE\_REQUEST\_SUCCESSFUL wird dies bei Erfolg vom Server bestätigt, andernfalls sendet er RESPONSE\_I2C\_ERROR gefolgt von dem I<sup>2</sup>C-Fehlercode, wenn ein Fehler bei der I<sup>2</sup>C-Kommunikation aufgetreten ist. Nach 65ms kann der Client mit REQUEST\_I2C\_GET\_DISTANCE den gemessenen Wert in cm abrufen. Der Client sendet dann RESPONSE\_REQUEST\_SUCCESSFUL und anschließend High- und Low-Byte der gemessenen Entfernung bzw. einen Fehlermeldung analog zu REQUEST\_I2C\_START\_MEASUREMENT. Eine genaue Beschreibung folgt in Kapitel 4.6.

Den Bewegungszustand des MiniBots kann der Client mit REQUEST\_GET\_STATE erfragen. Der Server antwortet mit RESPONSE\_REQUEST\_SUCCESSFUL gefolgt von dem derzeitigen Zustand (siehe Kapitel 4.4). Hiermit kann beispielsweise festgestellt werden, ob eine intervallbasierte Bewegung abgeschlossen wurde.

---

<sup>5</sup>siehe *prog/MiniBot/Actions.asm*

Sendet der Client einen undefinierten Protokollcode, so antwortet der Server, um dies zu signalisieren, mit `RESPONSE_REQUEST_UNKNOWN`.

## 4.2 Basisprogrammierung des Mikrocontrollers

Die Programmierung des Mikrocontrollers ist in Module gegliedert, die im Basismodul `MiniBot.asm`<sup>6</sup> über `.include`-Anweisungen importiert werden. Dort wird am Anfang `m32def.inc` inkludiert. Hier befinden sich spezielle Aliase für den ATmega32. Damit kann beispielsweise auf die I/O-Register mit einem Namen anstatt ihrer Speicheradresse zugegriffen werden. Danach wird allerdings der CPU-Takt `CLOCK` auf 14,7456 MHz gesetzt, da der in `m32def.inc` definierte Takt 4 MHz beträgt, was später zu falschen Berechnungen führen würde. Anschließend werden `Protocol.asm` und `Actions.asm` inkludiert, die die bereits erwähnten Aliase für das Protokoll und die Action-Codes enthalten. Die inkludierte Datei `Registers.asm` enthält eindeutige Aliase für die global verwendeten Standard-Register, um eine doppelte Verwendung auszuschließen.

Anschließend folgt der Interruptvektor (siehe Listing 4.1), der die Einsprungpunkte für die Interruptroutinen enthält. Da nur drei Interrupts benutzt werden, bleiben die anderen Stellen des Interruptvektors leer. An Adresse `0x000` beginnt die Abarbeitung der Befehle nach jedem Reset. Dort wird die Routine `RESET` aufgerufen. An der Adresse `INT0addr`, dem Einsprungpunkt für den ersten externen Interrupt (weiteres zu den externen Interrupts siehe Kapitel 4.5), wird ein Sprung zu Routine `INT_0` eingetragen. Analoges gilt für Adresse `INT1addr`, der Einsprungadresse des zweiten externen Interrupts. Hier wird als Interruptroutine `INT_1` eingetragen. An Adresse `URXCaddr` (*USART Read Complete*) (siehe Kapitel 4.3) wird als Interruptroutine `INT_RS232` eingetragen. Dieser Interrupt wird ausgelöst, wenn ein Byte bzw. ein Befehl des Clients über die serielle RS232-Schnittstelle empfangen wurde. Hierdurch wird die weitere Verarbeitung dieses Befehls angestoßen.

Die `RESET`-Routine (siehe Listing 4.2) wird bei jedem Neustart des Mikrocontrollers aufgerufen. Nachdem der Stackpointer initialisiert wurde, wird zunächst `SLEEP_INIT` auf-

---

<sup>6</sup>siehe `prog/MiniBot/MiniBot.asm`

Listing 4.1: MiniBot.asm

```

13 ; interrupt-vector
14 .org 0x000 ; start of execution after reset
15 rjmp RESET
16 .org INT0addr ; interrupt-address for external interrupt 0
17 rjmp INT_0
18 .org INT1addr ; interrupt-address for external interrupt 1
19 rjmp INT_1
20 .org URXCaddr ; interrupt-address for URXC interrupt
21 rjmp INT_RS232

```

gerufen. Dort wird der Sleep-Modus aktiviert und auf *idle* gesetzt. Im *idle*-Modus wird zwar der CPU-Takt angehalten, alle anderen Module, wie etwa USART, I<sup>2</sup>C, Pulsweitenmodulation, etc. bleiben aber aktiv. Andernfalls könnte der Mikrocontroller beispielsweise nicht durch den Interrupt eines ankommenden Bytes bzw. Befehls vom Client aufgeweckt werden. Außerdem würde die Pulsweitenmodulation und somit die Motoren beim Übergang in den Sleep-Modus gestoppt. Daraufhin wird LED\_INIT aufgerufen, wodurch lediglich die LED-Pins B5, B6 und B7 als Ausgangsports definiert werden. Anschließend werden diverse Initialisierungsroutinen für RS232-Interface, A/D-Wandler, Pulsweitenmodulation, I<sup>2</sup>C-Interface und die externen Interrupts aufgerufen. Ihre Funktionsweise wird in den dazugehörigen Kapiteln erklärt. Nachdem der aktuelle Bewegungszustand auf ACTION\_NONE gesetzt wurde (siehe Kapitel 4.4), werden die Interrupts global aktiviert und der Mikrocontroller in den Sleep-Modus versetzt. Dies befindet sich in einer Schleife, sodass der Mikrocontroller, nach Abarbeitung einer durch einen Interrupt ausgelösten Interruptroutine, sofort wieder in den Sleep-Modus versetzt wird.

Die Routine INT\_RS232 (siehe Anhang D.5) übernimmt die Abarbeitung der Client-Befehle. Im Normalzustand befindet sich der Mikroprozessor im Sleep-Modus. Sobald der Client ein Byte bzw. einen Befehl (siehe Tabelle 4.2 auf Seite 43) sendet, wird der Interrupt URXC (*USART Read Complete*) ausgelöst und die Interruptroutine INT\_RS232 durch den Sprungbefehl an Adresse URXCaddr des Interruptvektors aufgerufen. Nachdem die temporären Register und das Statusregister auf dem Stack gesichert wurden, wird der Interrupt für die RS232 Schnittstelle deaktiviert und anschließend die globale Interruptbehandlung wieder aktiviert. Die generelle Interruptbehandlung muss sofort wieder aktiviert werden,

Listing 4.2: MiniBot.asm

```

25 ;The reset routine is called on every reset of the microcontroller.
26 RESET:
27     ldi  TEMPL,  LOW(RAMEND)           ;initialize stackpointer
28     ldi  TEMPH,  HIGH(RAMEND)
29     out  SPL,  TEMPL
30     out  SPH,  TEMPH
31
32     rcall SLEEP_INIT                 ;initialize sleep-mode
33     rcall LED_INIT                   ;initialize LEDs
34     rcall RS232_INIT                 ;initialize RS232-interface
35     rcall ADC_INIT                   ;initialize ADC-unit
36     rcall PWM_INIT                   ;initialize PWM-unit
37     rcall I2C_INIT                   ;initialize I2C-interface
38     rcall INT_INIT                   ;initialize external interrupts
39
40     ldi  TEMP1,  ACTION_NONE         ;set initial state
41     mov  ACTION_STATE,  TEMP1
42     sei                                     ;enable interrupts
43 SLEEP_LOOP:
44     sleep                               ;put mc in idle-mode
45     rjmp SLEEP_LOOP

```

da bei einer Reaktivierung am Ende der Interruptroutine, eventuell dazwischen aufgetretene externe Interrupts durch Impulse der Gabellichtschranken (siehe Kapitel 4.5) nicht registriert würden, weil die Abarbeitung von INT\_RS232 unter Umständen sehr viel Zeit in Anspruch nimmt. Wäre der RS232-Interrupt jedoch vorher nicht explizit deaktiviert worden, so würden bei der nun folgenden Client-Server-Kommunikation weitere RS232-Interrupts ausgelöst und jedesmal die Routine INT\_RS232 erneut aufgerufen, was keinesfalls passieren darf.

Nun wird der empfangene Befehlscode mit den im Protokoll definierten Befehlscodes verglichen und die zugehörige Bearbeitungsroutine FUNCTION\_\* aufgerufen. Erwähnt seien an dieser Stelle lediglich FUNCTION\_TEST, die ein weiteres Byte empfängt, inkrementiert und zurücksendet, und FUNCTION\_UNKNOWN, die bei einem unbekanntem Befehlscode aufgerufen wird und RESPONSE\_REQUEST\_UNKNOWN zurücksendet. Die übrigen Bearbeitungsroutinen werden in den folgenden Kapiteln erklärt.

Sobald die entsprechende Routine beendet wurde, wird die globale Interruptbehandlung

deaktiviert und der RS232-Interrupt wieder aktiviert. Nachdem die temporären Register und das Statusregister wieder vom Stack geladen wurden, wird mit dem Verlassen der Routine die generelle Interruptbehandlung wieder aktiviert. Der Mikrocontroller geht zurück in den Sleep-Modus und ist bereit, neue Befehle des Clients entgegenzunehmen, die wiederum über den RS232-Interrupt URXC die `INT_RS232`-Routine aufrufen.

### 4.3 Programmierung der RS232-Schnittstelle

Das Barebone-Motherboard schickt die Befehle (siehe Protokoll in Tabelle 4.2 auf Seite 43) über eine *serielle RS232-Schnittstelle* [Kai89, Sey88] an den Mikrocontroller. Dieser besitzt ein integriertes *USART-Modul* (= *Universal Synchronous and Asynchronous Receiver and Transmitter*) zur seriellen Kommunikation. Die zugehörigen *RXD*- und *TXD*-Leitungen zum Senden und Empfangen sind an den Pins D0 bzw D1 des Mikrocontrollers ausgeführt. Sie führen über einen *MAX3222*-Baustein<sup>7</sup> zur Anpassung des Pegels zu dem integrierten seriellen Port des Mikrocontroller-Boards.

Die Routinen zur Kommunikation über die serielle RS232-Schnittstelle befinden sich in `RS232.asm`<sup>8</sup>. Zum Initialisieren des USART-Moduls dient die Routine `RS232_INIT` (siehe Listing 4.3). Zunächst wird die Baudrate, indem der Wert `RS232_UBRRVAL` in `UBRRH:UBRRL` gespeichert wird, eingestellt. Dieser Wert berechnet sich nach folgender Formel<sup>9</sup>:

$$\text{UBRRH:UBRRL} = \frac{\text{CPU-Frequenz}}{\text{Baudrate} * 16 - 1}$$

Hier wird die Baudrate `RS232_BAUD` von 9600 eingestellt. Daraufhin wird das Frame-Format auf 8 Bit eingestellt und der *Receive-Complete-Interrupt* (URXC) aktiviert, der ausgelöst wird, wenn ein Byte erfolgreich empfangen wurde, was bedeutet, dass der Client einen Befehl gesendet hat. Zum Schluss werden Empfangs- und Sendeeinheit des USART-Moduls aktiviert.

---

<sup>7</sup> siehe *datasheets/MAX3222.pdf*

<sup>8</sup> siehe *prog/MiniBot/RS232.asm*

<sup>9</sup> siehe *datasheets/atmega32.pdf*



Listing 4.3: RS232.asm

```

11 ;This routine initializes the RS232-interface.
12 RS232_INIT:
13     ldi TEMP1, LOW(RS232_UBRRVAL)      ;set RS232-baudrate
14     out UBRRL, TEMP1
15     ldi TEMP1, HIGH(RS232_UBRRVAL)
16     out UBRRH, TEMP1
17     ldi TEMP1, (1<<URSEL)|(3<<UCSZ0)  ;set frame-format 8-bit
18     out UCSRC, TEMP1
19     sbi UCSRB, RXCIE                  ;enable RS232-Interrupt
20     sbi UCSRB, RXEN                   ;enable RX
21     sbi UCSRB, TXEN                   ;enable TX
22 ret

```

Listing 4.4: RS232.asm

```

24 ;This routine receives a byte on the RS232-interface and stores
25 ;it in RS232_VALUE.
26 RS232_RECEIVE_BYTE:
27     sbis UCSRA, RXC                    ;wait for byte
28     rjmp RS232_RECEIVE_BYTE
29     in RS232_VALUE, UDR                ;store byte in RS232_VALUE
30 ret

```

Das Senden und Empfangen läuft über das Register RS232\_VALUE<sup>10</sup>. Dort wird das empfangene Byte bzw. das zu sendende Byte gespeichert.

Das Empfangen übernimmt die Routine RS232\_RECEIVE\_BYTE (siehe Listing 4.4). Dort wird gewartet bis das RXC-Bit (*Receive-Complete*) gesetzt ist, was einen fertigen Empfangsvorgang signalisiert. Dann wird das empfangene Byte aus dem UDR-Register in RS232\_VALUE gespeichert.

Die Routine RS232\_SEND\_BYTE (siehe Listing 4.5) sendet ein Byte und funktioniert ähnlich. Es wird gewartet bis das Modul bereit ist. Dann wird das Byte in RS232\_VALUE durch Schreiben in das UDR-Register gesendet.

---

<sup>10</sup>siehe *Registers.asm*

Listing 4.5: RS232.asm

```

32 ;This routine sends the byte in RS232_VALUE on the RS232-interface.
33 RS232_SEND_BYTE:
34     sbis UCSRA, UDRE           ;wait until interface is ready
35     rjmp RS232_SEND_BYTE
36     out UDR, RS232_VALUE      ;send byte
37     ret

```

## 4.4 Ansteuerung der Motoren

Zur Ansteuerung der Motoren verfügt das Mikrocontroller-Board über einen L298 2-Kanal-Motortreiber<sup>11</sup> mit dem 2 Motoren bei einer Stromstärke von je maximal 2 Ampere betrieben werden können. Abbildung 4.1 zeigt den Beschaltungsplan des Motortreibers.

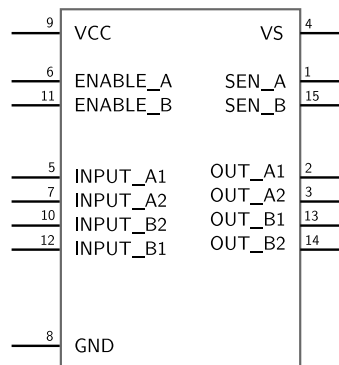


Bild 4.1: Aufbau des L298-Motortreibers

Die Logik des Bausteins wird über VCC versorgt. Die Anschlüsse SEN\_A und SEN\_B dienen zum Deaktivieren des Bausteins und sind dauerhaft mit Masse verbunden, die ebenfalls an GND angeschlossen ist. Die Motoren werden mit der an VS angelegten Spannung versorgt. Die Laufrichtung der Motoren A und B wird über die Steuereingänge (INPUT\_\*) geregelt. Tabelle 4.3 zeigt die möglichen Beschaltungen der Steuereingänge und ihren Einfluss auf die Motoren. Je nach Laufrichtung wird die volle Versorgungsspannung VS an die entsprechenden Ausgänge (OUT\_\*) des Motortreibers durchgeschaltet.

<sup>11</sup>siehe [datasheets/L298.pdf](#)

Tabelle 4.3: Beschaltung der Steuereingänge

INPUT_N1	INPUT_N2	Auswirkung auf Motor N
low	low	Stop
low	high	Rückwärtslauf
high	low	Vorwärtslauf
high	high	Stop

Das Durchschalten der Spannung wird über die `ENABLE_*`-Eingänge aktiviert. Durch das Anlegen einer *Pulsweitenmodulation*[Cat05] mit hinreichend großer Frequenz an die `ENABLE_*`-Eingänge des Bausteins, kann somit die an den Motoren anfallende Spannung gesteuert werden, was wiederum Auswirkungen auf die Umdrehungsgeschwindigkeit hat. In Kapitel 4.4.1 wird die Funktionsweise der Pulsweitenmodulation erklärt, woraufhin in Kapitel 4.4.2 deren Programmierung erläutert wird.

#### 4.4.1 Funktionsweise Pulsweitenmodulation

Bei der Pulsweitenmodulation wird die Spannung bei einer konstanten Grundfrequenz zwischen `high` und `low` gewechselt, wobei das Verhältnis beider Schaltzeiten zueinander (auch als *Tastverhältnis* bezeichnet) während einer Periode variiert werden kann. Wählt man die Grundfrequenz ausreichend hoch, so fällt durch die Tiefpasswirkung der Motoren ein dem Tastverhältnis entsprechender Anteil der Versorgungsspannung an den Motoren ab. Durch Variation des Tastverhältnisses kann somit also die Geschwindigkeit der Motoren geregelt werden. Abbildung 4.2 zeigt Pulsweitenmodulation mit Tastverhältnissen von 20%, 50% und 90% mit der zugehörigen Betriebsspannung  $U_{eff}$ , die an den Motoren abfällt.

#### 4.4.2 Programmierung der Motoransteuerung

Der ATmega32 verfügt über drei getrennte Timer-Einheiten, die für die Ausgabe von Pulsweitenmodulationen verwendet werden können. Die hier genutzte Timer-Einheit 1 verfügt

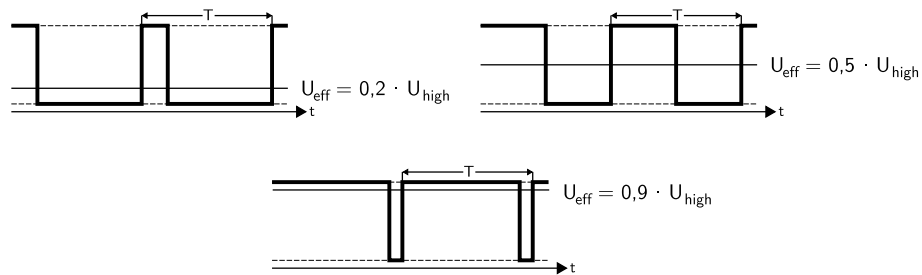


Bild 4.2: Beispiele Pulsweitenmodulation

über zwei getrennte Ausgabekanäle, die je für die Ansteuerung eines Motors genutzt werden. Hierzu sind die Pins D4 und D5 des Mikrocontrollers, die die Timer-Einheit 1 verwendet, direkt mit den ENABLE\_\*-Eingängen des Motortreibers verbunden.

Als Ansteuerungsmodus kommt *Fast-PWM* zur Anwendung. Hierbei wird der Ausgang zunächst auf *high* gesetzt. Dann zählt der Timer bis zu dem in `OCR1NH:OCR1NL` gespeicherten Wert hoch und setzt dann den Ausgang auf *low*. Anschließend zählt er bis zu der in `ICR1H:ICR1L` gespeicherten oberen Schranke, setzt den Ausgang wieder auf *high* und startet erneut bei Null. Abbildung 4.3 veranschaulicht diesen Ablauf am Beispiel des ersten Motors.

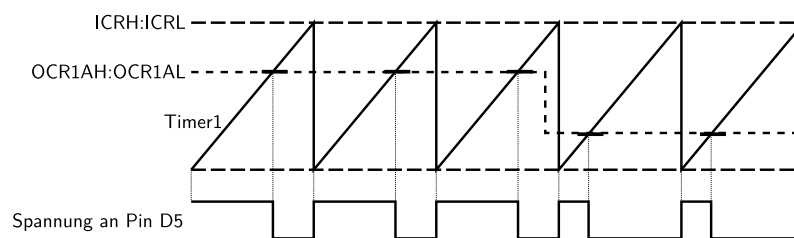


Bild 4.3: Ablauf der Pulsweitenmodulation

In `PWM.asm`<sup>12</sup> befinden sich die Routinen zur Low-Level-Steuerung der Motoren. Zu ihnen gehört die Routine `PWM_INIT` (siehe Listing 4.6), die die Initialisierung übernimmt. Zuerst wird der Inhalt der `OCR1*`-Register gelöscht. Anschließend wird die Pulsweitenmodulation über die Register `TCCR1A` und `TCCR1B` konfiguriert. Die ersten 4 Bit in `TCCR1A` legen die oben beschriebene Funktionsweise fest. Die zwei folgenden Bit spielen

<sup>12</sup>siehe `prog/MiniBot/PWM.asm`

Listing 4.6: PWM.asm

```

7 ;This routine initializes Timer unit 1.
8 PWM_INIT:
9  ldi TEMP1, 0x00          ;clear output control registers
10 out OCR1AH, TEMP1
11 out OCR1AL, TEMP1
12 out OCR1BH, TEMP1
13 out OCR1BL, TEMP1
14 ldi TEMP1, 0b10100010   ;configure PWM
15 out TCCR1A, TEMP1
16 ldi TEMP1, 0b00011011
17 out TCCR1B, TEMP1
18 ldi TEMPH, 0x00         ;configure timer resolution
19 ldi TEMPL, 0xFF
20 out ICR1H, TEMPH
21 out ICR1L, TEMPL
22 sbi DDRB, PB0          ;set data direction to output
23 sbi DDRB, PB1
24 sbi DDRD, PD6
25 sbi DDRD, PD7
26 ret

```

keine Rolle und die zwei letzten Bit legen zusammen mit Bit 4 und 3 in TCCR1B als Modus Fast-PWM mit oberer Grenze in ICR1H:ICR1L fest. Die ersten 3 Bit in TCCR1B sind irrelevant. Die 3 letzten Bit setzen die Taktfrequenz des Timers auf  $\frac{1}{64}$  der CPU-Frequenz. Daraufhin wird die obere Grenze in ICR1H:ICR1L auf  $0xFF = 255$  gesetzt. Nun kann man daraus mit folgender Gleichung die Frequenz der Pulsweitenmodulation berechnen:

$$f_{PWM} = \frac{\text{CPU-Frequenz}}{64 \cdot (1 + \text{ICR1H:ICR1L})}$$

Es ergibt sich eine Frequenz der Pulsweitenmodulation  $f_{PWM}$  von 900 Hz. Am Ende der Routine werden die Pins, die mit den Steuerleitungen des Motortreibers (INPUT\_\*) verbunden sind, als Ausgang konfiguriert.

Die Geschwindigkeit der Motoren wird mit der Routine PWM\_SET\_VELOCITY gesetzt (siehe Listing 4.7). Die gewünschten Geschwindigkeiten befinden sich in den Registern PWM\_LEFT\_VELOCITY und PWM\_RIGHT\_VELOCITY, wobei die Wertebereiche je von 0x00 bis 0xFF gehen. Bei Aufruf dieser Routine werden diese Werte in die Low-Bytes der OCR1\*-Register geladen. Die High-Bytes der OCR1\*-Register bleiben konstant auf

Listing 4.7: PWM.asm

```

28 ;This routine sets left velocity to PWM_LEFT_VELOCITY and
29 ;right velocity to PWM_RIGHT_VELOCITY.
30 PWM_SET_VELOCITY:
31     out OCR1AL, PWM_LEFT_VELOCITY
32     out OCR1BL, PWM_RIGHT_VELOCITY
33     ret

```

0x00, da die obere Schranke in ICR1H:ICR1L lediglich 0x00FF beträgt und höhere Werte keinen Sinn machen würden. Dadurch kann somit das Tastverhältnis der Pulsweitenmodulation bzw. die Geschwindigkeit beider Motoren getrennt zwischen 0% ( $\equiv$  0x00) und 100% ( $\equiv$  0xFF) variiert werden.

Der Client kann einer Änderung der Geschwindigkeit durch Senden des Protokollcodes REQUEST\_PWM\_SET\_VELOCITY auslösen, was wiederum zum Aufruf der Routine FUNCTION\_PWM\_SET\_VELOCITY führt. Dort werden zunächst die Werte für die linke und rechte Geschwindigkeit empfangen und anschließend in PWM\_LEFT\_VELOCITY bzw. PWM\_RIGHT\_VELOCITY gespeichert. Schließlich werden die Geschwindigkeiten durch Aufruf von PWM\_SET\_VELOCITY geändert und zur Bestätigung der Protokollcode RESPONSE\_REQUEST\_SUCCESSFUL zum Client zurückgesendet.

Die Drehrichtung der Motoren wird mit den Routinen PWM\_FORWARD, PWM\_BACKWARD, PWM\_LEFT und PWM\_RIGHT (siehe Anhang D.6) eingestellt. Mit dem Aufruf dieser Routinen werden die Pins, die mit den Steuerleitungen des Motortreibers (INPUT\_\*) verbunden sind, entsprechend der gewünschten Bewegungsrichtung (Vorwärts- / Rückwärtsfahrt oder Links- / Rechtsdrehung) auf high bzw. low gesetzt.

Diese Routinen werden in FUNCTION\_PWM\_START\_ACTION (siehe Anhang D.1) und FUNCTION\_PWM\_START\_ACTION\_INTERVAL aufgerufen. Wenn der Client über das Senden des Protokollcodes REQUEST\_PWM\_START\_ACTION eine permanente (im Gegensatz zu REQUEST\_PWM\_START\_ACTION\_INTERVAL, vgl. Kapitel 4.5) Bewegung des Roboters starten will, wird die Routine FUNCTION\_PWM\_START\_ACTION aufgerufen. Dort werden die Pins, an denen die Eingänge des Motortreibers angeschlossen sind, zunächst durch Maskierung des Datenregisters als Eingangsport konfiguriert. Dies ist nötig, damit sich nachfolgende Änderungen an den Steuerpins nicht direkt

auf die Motoren auswirken. Ansonsten würde beispielsweise beim Start einer Geradeausfahrt durch `PWM_FORWARD` der Motor an B0/B1 minimal früher starten, als der Motor an D6/D7, was zu einem minimalen Drehimpuls zu Beginn der Fahrt führen würde. Anschließend wird der *Action-Code*<sup>13</sup> vom Client empfangen, der die gewünschte Bewegungsart übermittelt. Dann wird je nach *Action-Code* zu der entsprechenden Low-Level-Routine (`PWM_*`) verzweigt oder `RESPONSE_ACTION_UNKNOWN` (bei unbekanntem *Action-Code*) an den Client zurückgeschickt. Nach der Ausführung der Low-Level-Funktionen wird, entsprechend der ausgeführten Aktion, der in `ACTION_STATE` gespeicherte Bewegungs-Zustand auf `ACTION_MOVING` bzw. `ACTION_TURNING` gesetzt. Nachdem der Protokollcode `RESPONSE_REQUEST_SUCCESSFUL` an den Client gesendet wurde, werden die Steuerpins wieder als Ausgangsports konfiguriert, wodurch sich die gemachten Änderungen synchron auf beide Motoren auswirken.

Der Client kann den in `ACTION_STATE` gespeicherten Bewegungs-Zustand durch Senden des Protokollcodes `REQUEST_GET_STATE` auslesen. Hierdurch wird die Routine `FUNCTION_GET_STATE` (siehe Anhang D.1) aufgerufen, in der lediglich der Protokollcode `RESPONSE_REQUEST_SUCCESSFUL` gefolgt von dem aktuellen Zustand gesendet wird.

Über die Routine `REQUEST_PWM_START_ACTION_INTERVAL` kann eine Bewegung eines bestimmten Intervalls, der vom Client übermittelt wird, ausgelöst werden. Die Funktionsweise dieser Routine wird im Zusammenhang mit der Behandlung, der von den Gabellichtschranken ausgelösten externen Interrupts, in Kapitel 4.5 erklärt.

Durch Senden des Protokollcodes `REQUEST_PWM_STOP_ACTION`, kann der Client die Motoren stoppen. Hierdurch wird `FUNCTION_PWM_STOP_ACTION` aufgerufen (siehe Anhang D.1). Hier werden die Motoren durch Konfiguration der Steuerpins als Eingangsports (wie oben beschrieben) gestoppt. Dann wird zur Bestätigung der Protokollcode `RESPONSE_REQUEST_SUCCESSFUL` zurück an den Client gesendet und der in `ACTION_STATE` gespeicherte Bewegungs-Zustand auf `ACTION_NONE` zurückgesetzt. Zum Schluss werden die eventuell aktivierten externen Interrupts deaktiviert (siehe Kapitel 4.5).

---

<sup>13</sup>siehe `prog/MiniBot/Actions.asm`

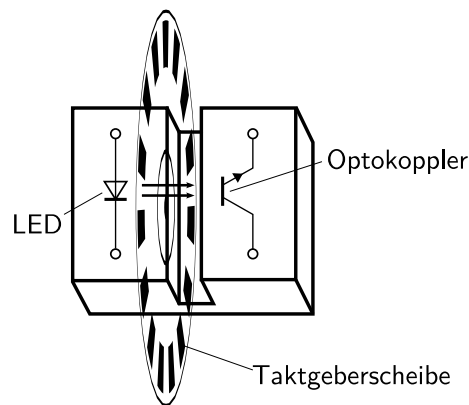


Bild 4.4: Aufbau Gabellichtschranke

## 4.5 Gabellichtschranken und externe Interrupts

Der MiniBot verfügt an jedem der beiden Getriebe über eine *Taktgeberscheibe*, auf deren transparenter Oberfläche lichtundurchlässige Markierungen angebracht sind. Die Taktgeberscheiben sind von *Gabellichtschranken* vom Typ *TCST 1103*<sup>14</sup> umschlossen. Die Gabellichtschranken bestehen aus einer LED, die Licht der Wellenlänge 950nm aussendet. Gegenüber ist ein *Optokoppler* angebracht, der durchschaltet, wenn sich keine Markierung der Taktgeberscheibe zwischen ihm und der LED befindet und das Licht ungehindert ankommt (siehe Skizze 4.4).

Sobald sich Motor und Getriebe drehen, rotiert auch die entsprechende Taktgeberscheibe, wodurch ein Taktsignal am Ausgang des Optokopplers erzeugt wird. Bei jeder Markierung der Taktgeberscheibe ist der Ausgang des Optokopplers auf Low-Pegel, zwischen zwei Markierungen ist er auf High-Pegel. Über die Anzahl der Takte kann auf die Umdrehungen der Taktgeberscheiben geschlossen werden.

Um die Taktimpulse zu registrieren, sind die Ausgänge der beiden Optokoppler über einen Schmitt-Trigger zur Signalstabilisierung an die Pins D2 bzw. D3 des Mikrocontrollers angeschlossen. Dort befinden sich die Eingänge für die externen Interrupts und 0 und 1. Die Konfiguration der externen Interrupts wird in der Routine `INT_INIT` (siehe Listing 4.8) vorgenommen.

<sup>14</sup>siehe *datasheets/TCST1103.pdf*



Listing 4.8: MiniBot.asm

```

458 ;This routine initializes the external interrupts
459 INT_INIT:
460   cbi DDRD, PD2           ;set the pins of the external interrupts
461   cbi DDRD, PD3           ;to input
462   in TEMP1, MCUCR
463   ori TEMP1, (3<<ISC10)|(3<<ISC00) ;configure external interrupts for initiation
464   out MCUCR, TEMP1       ;on every rising edge
465   ret

```

Nachdem die Pins, an denen die Optokoppler angeschlossen sind, als Eingangsports konfiguriert wurden, werden die beiden externen Interrupts durch Schreiben von 3 an die entsprechenden Stellen im MCUCR-Register konfiguriert. Diese Konfiguration bewirkt, dass bei jeder steigenden Taktflanke an einem der beiden Pins, der zugehörige externe Interrupt ausgelöst wird, was wiederum zum Aufruf der jeweiligen Interruptroutine führt. Die Skizze in Abbildung 4.5 zeigt den Zusammenhang zwischen Stellung der Taktgeberscheibe, Ausgangspegel des Optokopplers, Auslösen des externen Interrupts und Aufruf der entsprechenden Routine am Beispiel von Pin D2 und dem zugehörigen externen Interrupt 0.

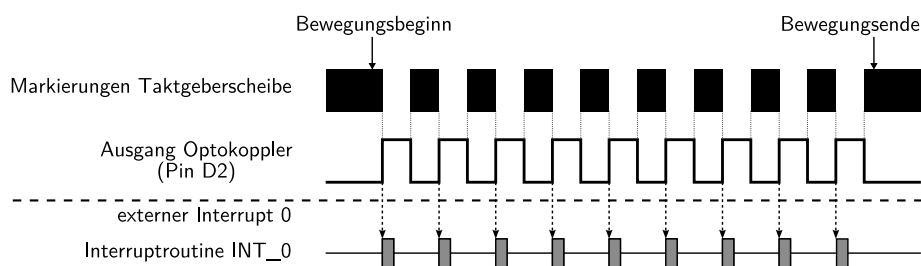


Bild 4.5: Auslösen des externen Interrupts 0

Bei jeder steigenden Taktflanke an Pin D2 wird der externe Interrupt 0 ausgelöst. Dies führt zum Sprung zu Adresse `INT0addr` des Interruptvektors (siehe Listing 4.1) und somit zum Aufruf der Interruptroutine `INT_0` (siehe Listing 4.9). Analoges gilt für Pin D3. Hier wird der externe Interrupt 1 ausgelöst und die Interruptroutine `INT_1` aufgerufen.

Benötigt werden die externen Interrupts, wenn der Client durch Senden des Protokollcodes

REQUEST\_PWM\_START\_ACTION\_INTERVAL eine Bewegung eines bestimmten Intervalls auslösen will (im Gegensatz zu REQUEST\_PWM\_START\_ACTION, siehe Kapitel 4.4). Dadurch wird die Routine FUNCTION\_PWM\_START\_ACTION\_INTERVAL aufgerufen, die ähnlich aufgebaut ist, wie FUNCTION\_PWM\_START\_ACTION, allerdings sendet der Client nach dem *Action-Code*<sup>15</sup> zusätzlich die gewünschte Anzahl der Takte. Diese wird im Registerpaar INTERVAL\_COUNTER\_H:INTERVAL\_COUNTER\_L gespeichert. Entsprechend der ausgeführten Aktion, wird der in ACTION\_STATE gespeicherte Bewegungs-Zustand auf den zugehörigen Wert ACTION\_MOVING\_INTERVAL bzw. ACTION\_TURNING\_INTERVAL gesetzt. Am Ende der Routine werden die externen Interrupts dann durch Setzen der entsprechenden Bits im GICR-Register aktiviert.

Bei jedem Taktimpuls, ausgelöst durch die Taktgeberscheiben an den Getrieben, wird nun der entsprechende externe Interrupt ausgelöst und die zugehörige Interruptroutine aufgerufen. Der Aufbau der Interruptroutinen INT\_0 bzw. INT\_1 ist nahezu identisch.

In der Routine INT\_0 (siehe Listing 4.9) wird, nachdem die temporären Register und das Status-Register auf dem Stack gesichert wurden, der Leuchtzustand der LED an Pin B7 gewechselt. Dies erleichtert die Kontrolle der ordnungsgemäßen Funktion der Gabellichtschranken, durch die auf dem Robo32-Board angebrachten LEDs. Anschließend wird der Intervall-Wert in INTERVAL\_COUNTER\_H:INTERVAL\_COUNTER\_L dekrementiert. Ist dieser Null, so wurde die Bewegung für die gewünschte Anzahl von Takten durchgeführt. In diesem Fall werden die Motoren angehalten, die externen Interrupts wieder deaktiviert und der in ACTION\_STATE gespeicherte Bewegungszustand zurück auf ACTION\_NONE gesetzt. Dadurch wird es möglich, durch Abfragen des Zustandes mittels REQUEST\_GET\_STATE, festzustellen, ob die Bewegung abgeschlossen wurde. Am Ende der Interruptroutine wird der ursprüngliche Inhalt der Register wieder vom Stack geladen.

Auf gleiche Weise funktioniert die Routine INT\_1 (siehe Anhang D.1), mit dem Unterschied, dass hier die LED an Pin B5 zur Signalisierung der Takte benutzt wird.

Der Client hat somit die Möglichkeit für jede Bewegung eine gewünschte Taktzahl zu übermitteln, um somit die Wegstrecke, die zurückgelegt werden soll, bzw. der Drehwinkel, der erreicht werden soll, zu beeinflussen. Die Bewegung kann natürlich auch durch Senden

---

<sup>15</sup>siehe *prog/MiniBot/Actions.asm*

Listing 4.9: MiniBot.asm

```

133 ;This interrupt routine is executed on every rising edge on pin D2
134 ;when external interrupt 0 is triggered.
135 INT_0:
136     push TEMP1                ;save temporary and status registers
137     in TEMP1, SREG
138     push TEMP1
139
140     sbis PORTB, PB7           ;toggle state of LED on pin B7
141     rjmp INT_0_ON
142     cbi PORTB, PB7
143     rjmp INT_0_NEXT
144 INT_0_ON:
145     sbi PORTB, PB7
146 INT_0_NEXT:
147
148     sbiw INTERVAL_COUNTER_H:INTERVAL_COUNTER_L, 1 ;decrease interval
149     brne INT_0_END           ;check if interval is zero
150     in TEMP1, DDRD           ;stop engines
151     andi TEMP1, 0xCF
152     out DDRD, TEMP1
153     in TEMP1, GICR           ;disable external interrupts
154     andi TEMP1, ~((1<<INT0)|(1<<INT1))
155     out GICR, TEMP1
156     ldi TEMP1, ACTION_NONE   ;set action state
157     mov ACTION_STATE, TEMP1
158
159 INT_0_END:
160     pop TEMP1                ;restore temporary and status registers
161     out SREG, TEMP1
162     pop TEMP1
163     reti

```

von REQUEST\_PWM\_STOP\_ACTION jederzeit gestoppt werden, wodurch die externen Interrupts deaktiviert und der Bewegungszustand auf ACTION\_NONE gesetzt wird.

Die Umrechnung der Längeneinheiten und Gradzahlen in die korrespondierende Anzahl von Takten wird in der Steuersoftware des Clients vorgenommen, da hierfür Fließkomma-Arithmetik erforderlich ist, deren Implementierung auf dem Mikrocontroller zu aufwendig wäre.

## 4.6 Ansteuerung des SRF08-Ultraschallmoduls

Zur Erkennung von Hindernissen, die sich unmittelbar vor dem Roboter befinden, wurde an dessen Front ein Ultraschall-Entfernungsmesser vom Typ *SRF08*<sup>16</sup> montiert. Die Datenübertragung zwischen Mikrocontroller und Ultraschallmodul erfolgt über den *I<sup>2</sup>C-Bus*, dessen grundlegende Funktionsweise in Kapitel 4.6.1 erklärt wird. Anschließend wird in Kapitel 4.6.2 die Funktionsweise des SRF08-Ultraschallmoduls erläutert, woraufhin dessen Ansteuerung mittels Assemblerprogrammierung in Kapitel 4.6.3 behandelt wird.

### 4.6.1 Funktionsweise des I<sup>2</sup>C-Busses

Der I<sup>2</sup>C-Bus<sup>17</sup>[DP97] wurde in den 80er Jahren von Philips Semiconductors entwickelt, um Geräte mit niedriger Datenübertragungsrate an Mikrocontroller oder Hauptplatinen anschließen zu können. Der Adressraum von 7 Bit ermöglicht maximal 112 Knoten (16 Adressen sind für Sonderzwecke reserviert).

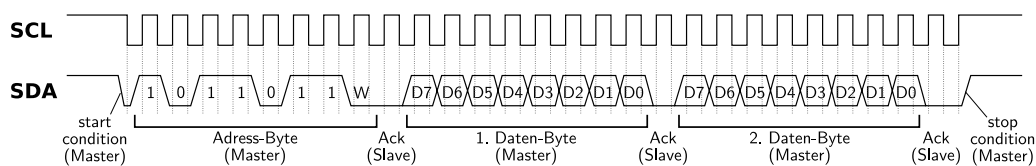
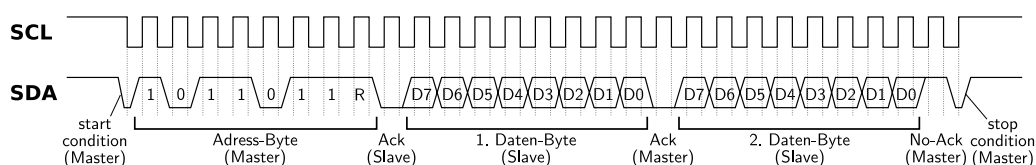
Der I<sup>2</sup>C-Bus benötigt nur 2 Leitungen: *serial data (SDA)* und *serial clock (SCL)*. Von Atmel wird er daher als *Two-Wire-Interface (TWI)* bezeichnet. Jedes der angeschlossenen Geräte kann als Sender oder Empfänger fungieren. Im Ausgangszustand liegen beide Leitungen durch einen Pull-Up-Widerstand auf `High`-Pegel. Der Datenaustausch funktioniert nach dem Master-Slave-Prinzip: Der Master initiiert den Datentransfer und erzeugt ein Taktsignal auf der SCL-Leitung. Alle anderen Geräte werden damit automatisch zum Slave.

Die Kommunikation beginnt mit dem Senden einer *start-condition* durch den Master, indem dieser einen Übergang von `high` nach `low` auf der SDA-Leitung bewirkt, während der Takt auf `High`-Pegel liegt. Abgeschlossen wird die Übertragung mit dem Senden einer *stop-condition* durch den Master, indem ein Übergang von `low` nach `high` auf der SDA-Leitung vollzogen wird, während der Takt auf `High`-Pegel liegt. Das erneute Senden einer *start-condition*, bevor eine *stop-condition* gesendet wurde, wird als *repeated-start* bezeichnet. Die eigentlichen Daten werden byteweise übertragen, wobei die höherwertigen Bits

---

<sup>16</sup>siehe *datasheets/srf08.pdf*

<sup>17</sup>siehe *specifications/i2c.pdf*

Bild 4.6: Senden von 2 Bytes auf dem I<sup>2</sup>C-BusBild 4.7: Lesen von 2 Bytes auf dem I<sup>2</sup>C-Bus

zuerst gesendet werden. Nach jedem übertragenen Byte folgt ein *acknowledge*, indem der Empfänger den Pegel auf der SDA-Leitung während des 9. Taktimpulses auf low zieht, um ein weiteres Byte anzufordern.

Um das Gerät zu identifizieren, das als Slave mit dem Master kommuniziert, wird die Adresse des Slaves in dem ersten Datenbyte gesendet. Die 7 Bit langen Adressen sind jedem Gerät eindeutig zugeordnet und können bei Bedarf geändert werden. Nach der 7 Bit langen Adresse wird an 8. Position ein *data direction bit* gesendet. Eine Null bedeutet, dass Daten an das Gerät gesendet werden sollen; eine Eins bedeutet, dass Daten von dem Gerät gelesen werden sollen. Meistens wird das data direction bit zur Adresse gezählt, so auf jedes Gerät zwei Adressen entfallen - eine Lese- und eine Schreibadresse.

Das Schema in Abbildung 4.6 zeigt, wie der Master 2 Bytes an Adresse 0x5B sendet. Nach der start-condition überträgt er die 7 Bit der Adresse, gefolgt von einer Null, um zu signalisieren, dass er auf das Gerät schreiben will. Der Slave bestätigt den Empfang mit einem acknowledge. Nun sendet der Master die beiden Daten-Bytes, die vom Slave je mit einem acknowledge bestätigt werden. Zum Schluss beendet der Master die Datenübertragung mit einer stop-condition.

Das Schema in Abbildung 4.7 zeigt, wie der Master 2 Bytes von Adresse 0x5B liest. Der Kommunikationsbeginn unterscheidet sich in dem 8. Bit des Adress-Bytes. Dort wird nun eine eins gesendet, um dem Slave zu signalisieren, dass der Master lesen will. Nachdem

der Slave dies mit einem acknowledge bestätigt hat, sendet er die Daten-Bytes. Das erste Byte bestätigt der Master mit einem acknowledge, um zu signalisieren, dass er ein weiteres Byte empfangen will. Nach dem zweiten Byte sendet er kein weiteres acknowledge, worauf die Kommunikation schließlich durch das Senden einer stop-condition vom Master beendet wird.

Möchte der Master nach der Datenübertragung (Lesen oder Schreiben) mit einem weiteren Gerät kommunizieren oder zwischen Schreib- und Lesemodus wechseln, so kann er statt einer stop-condition und erneuter start-condition, den bereits erwähnten repeated-start durchführen. Anschließend sendet er die neue Adresse und fährt mit der Kommunikation wie oben beschrieben fort.

#### 4.6.2 Funktionsweise des SRF08-Ultraschallmoduls

Das SRF08-Ultraschallmodul erkennt Hindernisse in einer Entfernung von 3cm bis 6m bei einer Auflösung von 1cm. Hierzu werden Schallwellen im Ultraschallspektrum mit einer Frequenz von 40kHz ausgesandt. Durch die Zeitdifferenz bis zum Eintreffen eines Echos kann die Entfernung zu einem Hindernis errechnet werden.

Tabelle 4.4: Register des SRF08-Ultraschallmoduls

Register	Lesen	Schreiben
0x00	Software Version	Befehlsregister
0x01	Licht Sensor	Verstärkungsregister
0x02	1. Echo High-Byte	Reichweitenregister
0x03	1. Echo Low-Byte	-
...	...	...
0x22	17. Echo High-Byte	-
0x23	17. Echo Low-Byte	-

Die Kommunikation läuft über den I<sup>2</sup>C-Bus. Das Modul hat im Auslieferungszustand die Adresse 0xE0 zum Schreiben und 0xE1 zum Lesen (Das 8. Byte wurde hier mit zur Adresse gezählt). Der Datenaustausch mit dem Modul geschieht über 36 Register, die im

Schreib- und im Lesemodus allerdings unterschiedliche Bedeutungen haben. Tabelle 4.4 zeigt alle Register mit den zugehörigen Bedeutungen.

Aus Register 0x00 kann die Version der Software ausgelesen werden. Register 0x01 liefert die Helligkeit des integrierten Lichtsensors. Die Register 0x02 bis 0x23 enthalten jeweils abwechselnd High- und Low-Byte der bis zu 17 empfangenen Echo-Signale.

Die Tabelle 4.5 zeigt die zulässigen Befehlscodes, die in das Befehlsregister mit Adresse 0x00 geschrieben werden können, mit zugehöriger Bedeutung.

Tabelle 4.5: Befehlscodes und ihre Bedeutungen

Befehlscode	Aktion
0x50	Messung auslösen - Ergebnis in Zoll
0x51	Messung auslösen - Ergebnis in Zentimeter
0x52	Messung auslösen - Ergebnis in Mikrosekunden
0x53	ANN-Mode - Ergebnis in Zoll
0x54	ANN-Mode - Ergebnis in Zentimeter
0x55	ANN-Mode - Ergebnis in Mikrosekunden
0xA0	Erstes Byte in Sequenz zur Änderung der Moduladresse
0xA1	Zweites Byte in Sequenz zur Änderung der Moduladresse
0xA2	Drittes Byte in Sequenz zur Änderung der Moduladresse

Die Befehlscodes 0x50 bis 0x52 dienen zum Auslösen einer Messung in der Einheit Zoll, Zentimeter, bzw. Mikrosekunden. Im *ANN-Mode* werden die Multi-Echo-Daten zur Weiterverarbeitung in einem künstlichen neuronalen Netz vorbereitet (siehe Datenblatt). Mit den Befehlscodes 0xA0 bis 0xA2 kann die Adresse des Moduls geändert werden.

Über das Verstärkungsregister kann die maximale analoge Verstärkung eingestellt werden. Die normale Zeitdauer eines Messvorgangs dauert ca. 65ms. Sie kann jedoch durch Herabsetzen des Wertes im Reichweitenregister verringert werden. Dadurch wird jedoch die Reichweite zur Erkennung eines Hindernisses ebenfalls begrenzt und eine Anpassung des Verstärkungsregisters wird nötig. Der nicht lineare Zusammenhang zwischen

Reichweiten- und Verstärkungsregister ist im Datenblatt des SRF08<sup>18</sup> beschrieben.

Bei der Kommunikation mit dem Ultraschallmodul über den I<sup>2</sup>C-Bus sind zwei Fälle zu unterscheiden:

### 1. Schreiben eines Wertes in ein Register:

Hier wird im ersten Daten-Byte das Register adressiert, in das geschrieben werden soll. Das zweite Datenbyte enthält den zu schreibenden Wert. Abbildung 4.8 zeigt das Schreiben des Befehlscodes zum Start einer Messung in Zentimetern (0x51) in das Befehlsregister (0x00) des Ultraschallmoduls mit der Standardadresse 0xE0.

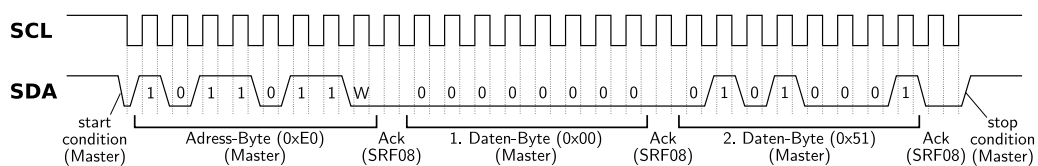


Bild 4.8: Schreiben in ein Register des Ultraschall-Moduls

### 2. Lesen eines Wertes aus einem Register:

Zum Lesen eines Wertes wird zunächst analog zu Fall 1 das Register adressiert. Dann wird in den Lesemodus gewechselt werden, indem ein repeated-start (siehe Kapitel 4.6.1) gefolgt von der Leseadresse durchgeführt wird. Nun überträgt das Modul die Daten. Abbildung 4.9 zeigt das Auslesen des ersten Echo-Signals (0x02) des Moduls an der Standardadresse 0xE0.

## 4.6.3 Programmierung der SRF08-Ansteuerung

Der Atmel ATmega32 verfügt über ein eigenes Modul, das die Kommunikation mit dem *Two-Wire-Interface (TWI)*, wie der I<sup>2</sup>C-Bus bei Atmel genannt wird, steuert. Dadurch erspart man sich zwar eine Software-Implementierung des I<sup>2</sup>C-Protokolls, doch die Programmierung geschieht immer noch auf sehr niedriger Ebene, wodurch man sich nach

<sup>18</sup>siehe [datasheets/srf08.pdf](#)



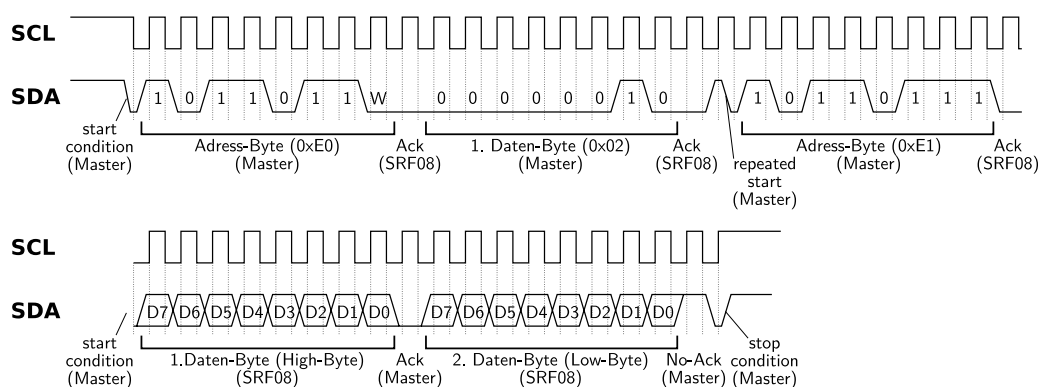


Bild 4.9: Lesen aus einem Register des Ultraschall-Moduls

wie vor um die genauen Abfolgen beim Senden der start-/stop-conditions und Acknowledges kümmern muss. Die SCL- und SDA-Ausgänge des TWI-Moduls befinden sich an den Pins C0 und C1 des Mikrocontrollers und sind auf dem Robo32-Board an der I<sup>2</sup>C-Pfostenbüchse ausgeführt<sup>19</sup>. Dort kann das SRF08-Ultraschallmodul direkt angeschlossen werden.

Die grundlegenden Routinen zur Abwicklung der I<sup>2</sup>C-Kommunikation befinden sich in `I2C.asm`<sup>20</sup>. Dort sind auch die Codes definiert, die den Ablauf der Übertragung protokollieren (siehe Listing 4.10). Näheres dazu allerdings später.

Listing 4.10: I2C.asm

```

11 ;I2C-Codes:
12 .equ I2C_START_SUCCESS = 0x08
13 .equ I2C_REPEATED_START_SUCCESS = 0x10
14 .equ I2C_WRITE_SLAW_SUCCESS = 0x18
15 .equ I2C_WRITE_SLAR_SUCCESS = 0x40
16 .equ I2C_WRITE_SUCCESS = 0x28
17 .equ I2C_READ_SUCCESS = 0x50
18 .equ I2C_READLAST_SUCCESS = 0x58
19 .equ I2C_NO_ERROR = 0x00
    
```

Zur Initialisierung dient die Routine `I2C_INIT` (siehe Listing 4.11). Sie setzt die Bitrate

<sup>19</sup>siehe *datasheets/robo32.pdf*

<sup>20</sup>siehe *prog/MiniBot/I2C.asm*

Listing 4.11: I2C.asm

```

21 ;This routine initializes the I2C-unit.
22 I2C_INIT:
23     ldi TEMP1, I2C_BITRATE           ;set bitrate
24     out TWBR, TEMP1
25     ldi TEMP1, I2C_PRESCALER        ;set prescaler
26     out TWSR, TEMP1
27     ret

```

im TWBR-Register auf I2C\_BITRATE (= 17) und die Prescaler-Bits im TWSR-Register auf I2C\_PRESCALER (= 1). Mit der folgenden Formel aus dem Datenblatt des ATmega32<sup>21</sup> führt dies zu einer SCL-Frequenz von 97,01 kHz<sup>22</sup>, was unterhalb der Maximalfrequenz von 100 kHz liegt, die der Standard vorschreibt<sup>23</sup>:

$$\text{SCL-Frequenz} = \frac{\text{CPU-Frequenz}}{16 + 2 \cdot \text{TWBR} \cdot 4^{\text{TWPS}}}$$

Die eigentlichen Routinen lassen sich in zwei Gruppen unterteilen. Die erste Gruppe von Routinen bietet eine komfortable Möglichkeit, Daten von einem I<sup>2</sup>C-Gerät zu lesen oder zu schreiben. Zu Ihnen zählen die Routinen I2C\_STORE\_BYTE, I2C\_LOAD\_BYTE und I2C\_LOAD\_WORD. Diese rufen ihrerseits die Low-Level-Routinen auf, die die einzelnen Schritte in der Sequenz einer I<sup>2</sup>C-Kommunikation ausführen.

Die Routine I2C\_STORE\_BYTE (Listing 4.12), speichert das Byte in I2C\_VALUE in das Register I2C\_REGISTER des Slaves mit der Adresse I2C\_ADDRESS. Dazu wird zuerst die Routine I2C\_START zum Senden einer start-condition aufgerufen. Anschließend wird durch Aufruf von I2C\_WRITE\_SLAW das Adressbyte für den Schreibmodus gesendet. Dann wird die Adresse des Registers in das TWDR-Register geladen und durch I2C\_WRITE gesendet. Schließlich wird das eigentliche zu speichernde Byte gleichermaßen in das TWDR-Register geladen und ebenfalls gesendet. Beendet wird die Kommunikation durch das Senden der stop-condition mittels I2C\_STOP. Danach wird der Code I2C\_NO\_ERROR in das Register I2C\_ERRORCODE geladen, um zu signalisieren, dass die Übertragung erfolgreich war. Durch diese Aufrufsequenz der Low-Level-Funktionen,

<sup>21</sup>siehe *datasheets/atmega32.pdf*

<sup>22</sup>bei einer CPU-Frequenz von 14,7456 MHz

<sup>23</sup>siehe *specifications/i2c.pdf*

Listing 4.12: I2C.asm

```

29 ;This routine stores the value of I2C_VALUE in register
30 ;I2C_REGISTER of device at address I2C_ADDRESS.
31 I2C_STORE_BYTE:
32     rcall I2C_START           ;send start condition
33     rcall I2C_WRITE_SLAW     ;configure device for write access
34     out TWDR, I2C_REGISTER   ;load register-address
35     rcall I2C_WRITE         ;send register-address
36     out TWDR, I2C_VALUE     ;load value
37     rcall I2C_WRITE         ;send value
38     rcall I2C_STOP          ;send stop condition
39     ldi TEMP1, I2C_NO_ERROR  ;load I2C_NO_ERROR in I2C_ERRORCODE
40     mov I2C_ERRORCODE, TEMP1 ;to indicate that no error occurred
41     ret

```

wird der in Abbildung 4.8 skizzierte Ablauf exakt nachvollzogen. Analog dazu, liest die Routine `I2C_LOAD_BYTE` (Listing 4.13), das Byte aus Register `I2C_REGISTER` des Slaves mit der Adresse `I2C_ADDRESS` und speichert es in `I2C_VALUE`. Nach dem Senden der Registeradresse wird jedoch durch Aufruf der Routine `I2C_REPEATED_START` ein repeated-start durchgeführt. Anschließend wird mit `I2C_WRITE_SLAR` das Adress-Byte für den Lesemodus gesendet. Dann wird das eigentliche Byte mit `I2C_READLAST` vom Slave empfangen, in `I2C_VALUE` gespeichert und die Kommunikation durch Senden einer stop-condition via `I2C_STOP` beendet. Um den Funktionsumfang zu komplettieren, bietet die Routine `I2C_LOAD_WORD` (siehe Anhang D.7) die Möglichkeit gleich zwei Bytes zu lesen. Hierbei wird nach dem Empfang des ersten Bytes ein weiteres Byte über ein Acknowledge des Masters mittels `I2C_READ` angefordert, was bei `I2C_READLAST` nicht der Fall ist. Die empfangenen Bytes werden in `I2C_VALUE_H:I2C_VALUE_L` gespeichert. Diese Aufrufsequenz entspricht dem in Abbildung 4.9 skizzierten Ablauf. Die Low-Level-Routinen, die von diesen drei Routinen aufgerufen werden, sind prinzipiell alle nach dem gleichen Schema aufgebaut:

1. Ausführung der gewünschten Aktion
2. Überprüfung auf Erfolg, durch Inspektion des TWSR-Registers
3. Im Fehlerfall: Laden des Fehlercodes in `I2C_ERRORCODE` und Abbruch der übergeordneten High-Level-Routine

Listing 4.13: I2C.asm

```

43 ;This routine loads the byte from register I2C_REGISTER
44 ;of the device at address I2C_ADDRESS into I2C_VALUE.
45 I2C_LOAD_BYTE:
46   rcall I2C_START           ;send start condition
47   rcall I2C_WRITE_SLAW     ;configure device for write access
48   out TWDR, I2C_REGISTER   ;load register-address
49   rcall I2C_WRITE         ;send register-address
50   rcall I2C_REPEATED_START ;send repeated start condition
51   rcall I2C_WRITE_SLAR    ;configure device for read access
52   rcall I2C_READLAST      ;load value without acknowledge
53   in I2C_VALUE, TWDR      ;save value in I2C_VALUE
54   rcall I2C_STOP          ;send stop condition
55   ldi TEMP1, I2C_NO_ERROR ;load I2C_NO_ERROR in I2C_ERRORCODE
56   mov I2C_ERRORCODE, TEMP1 ;to indicate that no error occurred
57   ret

```

Dies lässt sich gut an `I2C_START` zum Senden einer start-condition demonstrieren (Listing 4.14). Zuerst werden die erforderlichen Bits im `TWCR`-Register gesetzt. Das Schreiben einer logischen Eins in das `TWINT`-Bit löscht dieses, wodurch die I<sup>2</sup>C-Operation gestartet wird. Gleichzeitig muss das `TWSTA`-Bit zum Senden einer start-condition und das `TWEN`-Bit zur Aktivierung des I<sup>2</sup>C-Moduls gesetzt werden. Anschließend wird das `TWCR`-Register in einer Schleife solange ausgelesen, bis das `TWINT`-Bit wieder auf Eins gesetzt ist, wodurch das Ende der Operation angezeigt wird. Daraufhin wird das `TWSR`-Register ausgelesen. Nachdem die Prescaler-Bits maskiert wurden, wird der verbleibende Wert des Status-Registers mit dem, für ein erfolgreiches Senden erforderlichen Wert (`I2C_START_SUCCESS`), verglichen. Sind beide Werte identisch, so wird die Routine verlassen.

Andernfalls wird zu `I2C_ERROR` (Listing 4.15) gesprungen. Dort wird der auf den Fehler hindeutende Wert des Statusregisters in `I2C_ERRORCODE` geladen und eine stop-condition gesendet, um den Bus wieder freizugeben. Beim Verlassen der Routine, würde jetzt die nächste Low-Level-Routine (beispielsweise `I2C_WRITE_SLAW`), trotz des Fehlers beim Senden der start-condition, aufgerufen. Dies ist natürlich unerwünscht, denn die darüberliegende Routine soll ebenfalls verlassen werden, was durch Veränderung des Stack-Pointers realisiert wird, da beide Return-Adressen auf dem Stack liegen. Der Stack-Pointer wird also um 2 erhöht und zeigt jetzt auf den Return-Wert der aufrufenden Rou-

Listing 4.14: I2C.asm

```

78 ;This routine sends a start condition on I2C.
79 I2C_START:
80 ldi TEMP1, (1<<TWINT)|(1<<TWSTA)|(1<<TWEN) ;set bits in control register
81 out TWCR, TEMP1
82 WAIT_I2C_START_SENT: ;wait for completion
83 in TEMP1, TWCR
84 sbrs TEMP1, TWINT ;interrupt-flag indicates completion
85 rjmp WAIT_I2C_START_SENT ;not yet completed
86 in TEMP1, TWSR ;load status register and clear the
87 andi TEMP1, 0xF8 ;prescaler-configuration-bits
88 ldi TEMP2, I2C_START_SUCCESS ;compare value of status register
89 cpse TEMP1, TEMP2 ;with estimated value I2C_START_SUCCESS
90 rjmp I2C_ERROR ;an error occurred
91 ret

```

Listing 4.15: I2C.asm

```

198 ;This branch is executed if an error has occurred, the errorcode is saved
199 ;and the I2C-communication is stopped.
200 I2C_ERROR:
201 mov I2C_ERRORCODE, TEMP1 ;save errorcode
202 rcall I2C_STOP ;send stopcondition
203 in zh, sph ;increase the stack-pointer by 2 - now, the
204 in zl, spl ;address on the stack is the return address
205 adiw zh:zl, 2 ;of the calling routine
206 out sph, zh ;so on return the calling routine is aborted too
207 out spl, zl
208 ret

```

tine. Schließlich wird die Routine verlassen und die Verarbeitung fährt nach dem Aufruf der übergeordneten Routine fort, womit die verbleibenden Low-Level-Routinen, aufgrund des aufgetretenen Fehlers, übersprungen wurden. Nach diesem Schema arbeiten alle Low-Level-Routinen, was dazu führt, dass aufgetretene Fehler durch Auswertung des Wertes in I2C\_ERRORCODE identifiziert werden können.

Die Routinen I2C\_REPEATED\_START und I2C\_STOP (siehe Anhang D.7) dienen zum Senden eines repeated-start bzw. einer stop-condition. I2C\_REPEATED\_START unterscheidet sich von I2C\_START nur durch einen anderen Wert, mit denen das TWSR-Register nach der Operation verglichen wird (I2C\_REPEATED\_START\_SUCCESS). Bei

I2C\_STOP reicht es, das TWSTO-Bit anstatt des TWSTA-Bits zu setzen. Ein Warten und anschließende Überprüfung des TWSR-Registers ist hier nicht nötig, da beim Senden einer stop-condition kein Fehler auftreten kann.

Die Routinen I2C\_WRITE\_SLAW und I2C\_WRITE\_SLAR (siehe Anhang D.7) senden das Adress-Byte für die in I2C\_ADDRESS gespeicherte Adresse im Schreib- bzw. Lesemodus. Bei I2C\_WRITE\_SLAW wird die Adresse aus I2C\_ADDRESS in das TWDR-Register geladen. Daraufhin wird das Senden durch Setzen der TWINT- und TWEN-Bits im TWCR-Register gestartet. Nach anschließendem Warten auf Beendigung der Operation, erfolgt der Test auf Fehler analog zu I2C\_START. Bei I2C\_WRITE\_SLAR wird die Adresse aus I2C\_ADDRESS vor dem Senden inkrementiert, um das R/W-Bit für den Lesemodus zu setzen.

Tabelle 4.6: Routinen zur I<sup>2</sup>C-Kommunikation

Routine	Zweck
I2C_STORE_BYTE	schreibt Inhalt von I2C_VALUE in Register I2C_REGISTER an Adresse I2C_ADDRESS
I2C_LOAD_BYTE	liest Byte aus Register I2C_REGISTER an Adresse I2C_ADDRESS in I2C_VALUE
I2C_LOAD_WORD	liest Word ab Register I2C_REGISTER an Adresse I2C_ADDRESS in I2C_VALUE H:I2C_VALUE L
I2C_START	sendet start-condition
I2C_REPEATED_START	sendet repeated-start
I2C_STOP	sendet stop-condition
I2C_WRITE_SLAW	sendet Adress-Byte für Adresse in I2C_ADDRESS im Schreibmodus
I2C_WRITE_SLAR	sendet Adress-Byte für Adresse in I2C_ADDRESS im Lesemodus
I2C_WRITE	sendet Byte im TWDR-Register
I2C_READ	empfängt Byte in TWDR-Register mit anschließendem Acknowledge
I2C_READLAST	empfängt Byte in TWDR-Register ohne anschließendes Acknowledge

Zum Senden und Empfangen der Daten sind die Routinen I2C\_WRITE, I2C\_READ und I2C\_READLAST (siehe Anhang D.7) verantwortlich. I2C\_WRITE funktioniert ähnlich wie I2C\_WRITE\_SLAW, lediglich das Laden der Adresse in das TWDR-Register entfällt, da dessen Inhalt direkt gesendet wird. I2C\_READ und I2C\_READLAST sind ebenfalls analog aufgebaut, mit dem Unterschied, dass bei I2C\_READ zusätzlich das TWEA-Bit

gesetzt wird, um durch ein Acknowledge ein weiteres Daten-Byte anzufordern. Ob empfangen oder gesendet werden soll, weiß das I<sup>2</sup>C-Modul anhand des im Adress-Byte gesendeten R/W-Bits. Tabelle 4.6 zeigt alle Routinen zur I<sup>2</sup>C-Kommunikation und deren Zweck im Überblick.

Die eigentliche Ansteuerung des SRF08-Ultraschallmoduls bei entsprechenden Requests des Clients geschieht in den folgenden zwei Routinen:

Die Routine `FUNCTION_I2C_START_MEASUREMENT` (siehe Anhang D.1) wird aufgerufen, wenn der Client durch Senden von `REQUEST_I2C_START_MEASUREMENT` eine Messung auslöst. In der Routine wird zuerst die Standardadresse `0xE0` des Moduls in `I2C_ADDRESS` geladen, in `I2C_REGISTER` wird die Adresse `0x00` des Kommandoregisters geladen und schließlich wird der Befehlscode `0x52` zum Auslösen einer Messung in `cm` in `I2C_VALUE` gespeichert. Dann werden die Daten mit `I2C_STORE_BYTE` übertragen. Anschließend wird überprüft, ob der Inhalt von `I2C_ERRORCODE` dem Wert von `I2C_NO_ERROR` entspricht und das Auslösen der Messung erfolgreich war. Ist dies der Fall, so wird der Wert von `RESPONSE_REQUEST_SUCCESSFUL` an den Client zurückgeschickt, andernfalls der in `I2C_ERRORCODE` befindliche Fehlercode.

Sendet der Client `REQUEST_I2C_GET_DISTANCE`, so wird der vom Sensor gemessene Wert mit `FUNCTION_I2C_GET_DISTANCE` (siehe Anhang D.1) ausgelesen und an den Client gesendet. Dazu wird in `I2C_ADDRESS` wieder die Adresse `0xE0` geladen und die Adresse `0x02` des ersten Echoregisters wird in `I2C_REGISTER` gespeichert. Die gemessene Entfernung wird mit `I2C_LOAD_WORD` ausgelesen. Zeigt `I2C_ERRORCODE` eine erfolgreiche I<sup>2</sup>C-Kommunikation an, so wird `RESPONSE_REQUEST_SUCCESSFUL` zur Bestätigung, gefolgt von High- und Low-Byte der gemessenen Entfernung, an den Client geschickt. Tritt ein Fehler bei der Kommunikation auf, so wird genauso verfahren, wie bei `FUNCTION_I2C_GET_DISTANCE`.

## 4.7 Ansteuerung der Infrarot-Sensoren

Zur Erkennung von Abgründen und Hindernissen wurde sowohl vorne, als auch hinten je ein *SHARP GP2D120*<sup>24</sup> Infrarot-Sensor montiert. Die Sensoren sind schräg nach unten gerichtet und ermöglichen die Messung von Entfernungen zwischen 4cm und 30cm. Die Ausgabe der ermittelten Entfernung erfolgt über einen analogen Pegel zwischen 0,3V und 3V. Der Zusammenhang zwischen Entfernung des Objekts, an dem der Infrarotstrahl reflektiert wurde, und resultierender Ausgangsspannung, lässt sich dem Diagramm 4 des Datenblatts entnehmen. Die Ausgänge der Sensoren sind mit den Pins A1 und A3 des Mikrocontrollers verbunden, an denen eine *Analog-Digital-Wandlung*[Cat05] vorgenommen wird, um von dem analogen Signal zu einem digitalen 10-Bit-Wert zu gelangen.

### 4.7.1 Funktionsweise der A/D-Wandlung

Die Umwandlung der analogen Mess-Spannung  $V_{in}$  in einen digitalen 10-Bit-Wert erfolgt durch *sukzessive Approximation*. Hierbei wird ein digitaler 10-Bit-Wert iterativ inkrementiert und mit einem D/A-Wandler, der von einer Referenz-Spannung  $V_{ref}$  versorgt wird, in eine analoge Spannung umgewandelt. Diese wird dann mit der Mess-Spannung  $V_{in}$  über einen Komparator verglichen. Dies wird solange wiederholt bis der erzeugte Pegel des D/A-Wandlers höher als die Mess-Spannung  $V_{in}$  oder der 10-Bit-Wert gleich dem Maximalwert ( $=0 \times 3FF$ ) ist. Der 10-Bit-Wert wird dann zurückgegeben. Die folgende Gleichung beschreibt den Zusammenhang zwischen dem ermittelten Digitalwert  $ADC$ , der Referenz-Spannung  $V_{ref}$  und der Mess-Spannung  $V_{in}$ :

$$ADC = \frac{V_{in} \cdot 1023}{V_{ref}}$$

### 4.7.2 Programmierung der Infrarot-Sensor-Ansteuerung

Die beiden Routinen für die A/D-Wandlung befinden sich `ADC.asm`<sup>25</sup>. Zur Initialisierung des A/D-Moduls dient die Routine `ADC_INIT` (siehe Listing 4.16). Als Referenz-

---

<sup>24</sup>siehe *datasheets/gp2d120.pdf*

<sup>25</sup>siehe *prog/MiniBot/ADC.asm*



Listing 4.16: ADC.asm

```

7 ;This routine initializes the A/D-unit.
8 ADC_INIT :
9     ldi TEMP1, 3<<REFS0                ;select internal reference-voltage
10    out ADMUX, TEMP1
11    cbi DDRA, 1                        ;configure ports as input
12    cbi DDRA, 3
13    ret

```

Spannung für den D/A-Wandler wird hier die interne 2,56V Referenz-Spannung gewählt. Eine Mess-Spannung größer als 2,56V führt also zu dem Maximalwert  $1023=0x3FF$ . Anschließend werden die Pins, an denen die Infrarot-Sensoren angeschlossen sind, als Eingangsports konfiguriert.

Über die Routine `ADC_START` (siehe Listing 4.17) wird der eigentlichen Messung durchgeführt. Vor der Messung muss in Register `ADC_SOURCE` die Quelle bzw. der Pin für die A/D-Wandlung gespeichert werden. Vor Beginn der Messung werden die Bits des `ADMUX`-Registers, die die Quelle für die A/D-Wandlung bestimmen, gelöscht. Dann wird die neue Quelle aus `ADC_SOURCE` im `ADMUX`-Register gespeichert. Vor der Messung wird das Interrupt-Flag-Bit `ADIF` (*AD interrupt flag*), das die Beendigung einer A/D-Wandlung signalisiert, gelöscht. Nun wird die A/D-Wandlung durch Setzen der entsprechenden Bits im `ADCSRA`-Register gestartet. Durch Setzen von `ADEN` (*AD enable*) wird das A/D-Modul aktiviert. Das Setzen des Prescalers `ADPS0` (*AD prescaler*) auf 7, bewirkt eine Frequenz des A/D-Moduls von  $\frac{1}{128}$  der CPU-Frequenz (=115,2kHz). Der eigentliche Start der Messung wird durch das `ADSC`-Bit (*AD start conversion*) ausgelöst. Anschließend wird in einer Schleife gewartet bis das Interrupt-Flag-Bit `ADIF` die Beendigung der A/D-Wandlung anzeigt. Der ermittelte 10-Bit-Wert in `ADCH:ADCL` wird schließlich in dem Registerpaar `ADC_VALUE_H:ADC_VALUE_L` gespeichert.

Benutzt wird diese Routine in `FUNCTION_ADC` (siehe Anhang D.1), die aufgerufen wird, wenn der Client, durch Senden des Protokollcodes `REQUEST_ADC`, die Messung der Entfernungen beider Infrarotsensoren auslösen will. Nach dem Senden des Protokollcode `RESPONSE_REQUEST_SUCCESSFUL` zurück an den Client, wird zunächst `0x01` als Quelle für den Pin A1 in `ADC_SOURCE` geladen. Nach Ausführung der A/D-Wandlung durch Aufruf von `ADC_START`, wird das in `ADC_VALUE_H:ADC_VALUE_L` befindli-

Listing 4.17: ADC.asm

```

15 ;This routine starts an A/D-conversion.
16 ADC_START:
17   in TEMP1, ADMUX           ;erase previous ADC-source
18   andi TEMP1, 0xE0
19   or TEMP1, ADC_SOURCE     ;select new ADC-source
20   out ADMUX, TEMP1
21   sbi ADCSR, ADIF          ;flag löschen
22   ldi TEMP1, (1<<ADEN)|(7<<ADPS0)|(1<<ADSC) ;start conversion
23   out ADCSRA, TEMP1
24   WAIT_ADC:
25     sbis ADCSRA, ADIF
26     rjmp WAIT_ADC
27   in ADC_VALUE_L, ADCL     ;store result in memory
28   in ADC_VALUE_H, ADCH
29   ret

```

che Ergebnis an den Client gesendet. Auf gleiche Weise wird mit der Quelle 0x03 für den Pin A3 verfahren.

Die Umrechnung der 10-Bit-Digitalwerte in die zugehörige Entfernung erfolgt in der Steuersoftware des Clients, da hierfür Fließkommaoperationen notwendig sind.

## 4.8 Zustandsübergangdiagramm

Nachdem nun alle benutzten Komponenten und deren Funktionsweise erklärt wurden, soll das Zustandsübergangdiagramm in Abbildung 4.10 einen Gesamtüberblick über die Funktionsweise des Mikrocontrollers im Zusammenhang mit dem bereits erklärten Protokoll in Tabelle 4.2 auf Seite 43 geben. Es ist konform zu den in *UML 2.0*<sup>26</sup>[Amb05] definierten Zustandsdiagrammen.

Die obere Hälfte des Diagramms zeigt den aktuellen Verarbeitungszustand des Mikrocontrollers. Nach der Initialisierung befindet er sich im Zustand `sleep`. Durch einen ankommenden Request des Clients und den dadurch ausgelösten URXC-Interrupt, geht er in den Zustand `evaluate request` über, in dem er den gerade empfangenen Befehl

<sup>26</sup>[http://www.omg.org/technology/documents/modeling\\_spec\\_catalog.htm#UML](http://www.omg.org/technology/documents/modeling_spec_catalog.htm#UML)

auswertet. Je nach Art des Befehls geht er in den zugehörigen Folgezustand. Nach der Abarbeitung des Befehls sendet er die entsprechende Antwort an den Client zurück und geht wieder in Zustand `sleep`, um neue Befehle des Clients entgegenzunehmen.

In der unteren Hälfte befindet sich der derzeit aktuelle *action state*. Dort kann man Erkennen, welche Ereignisse eine Änderung des action states bewirken. Dies kann entweder ein gezieltes Kommando des Clients sein, das direkten Einfluss auf den Bewegungszustand hat. Oder aber ein externer interrupt, der den Intervall dekrementiert und, sobald der Intervall Null erreicht, ebenfalls eine Zustandsänderung auslöst.

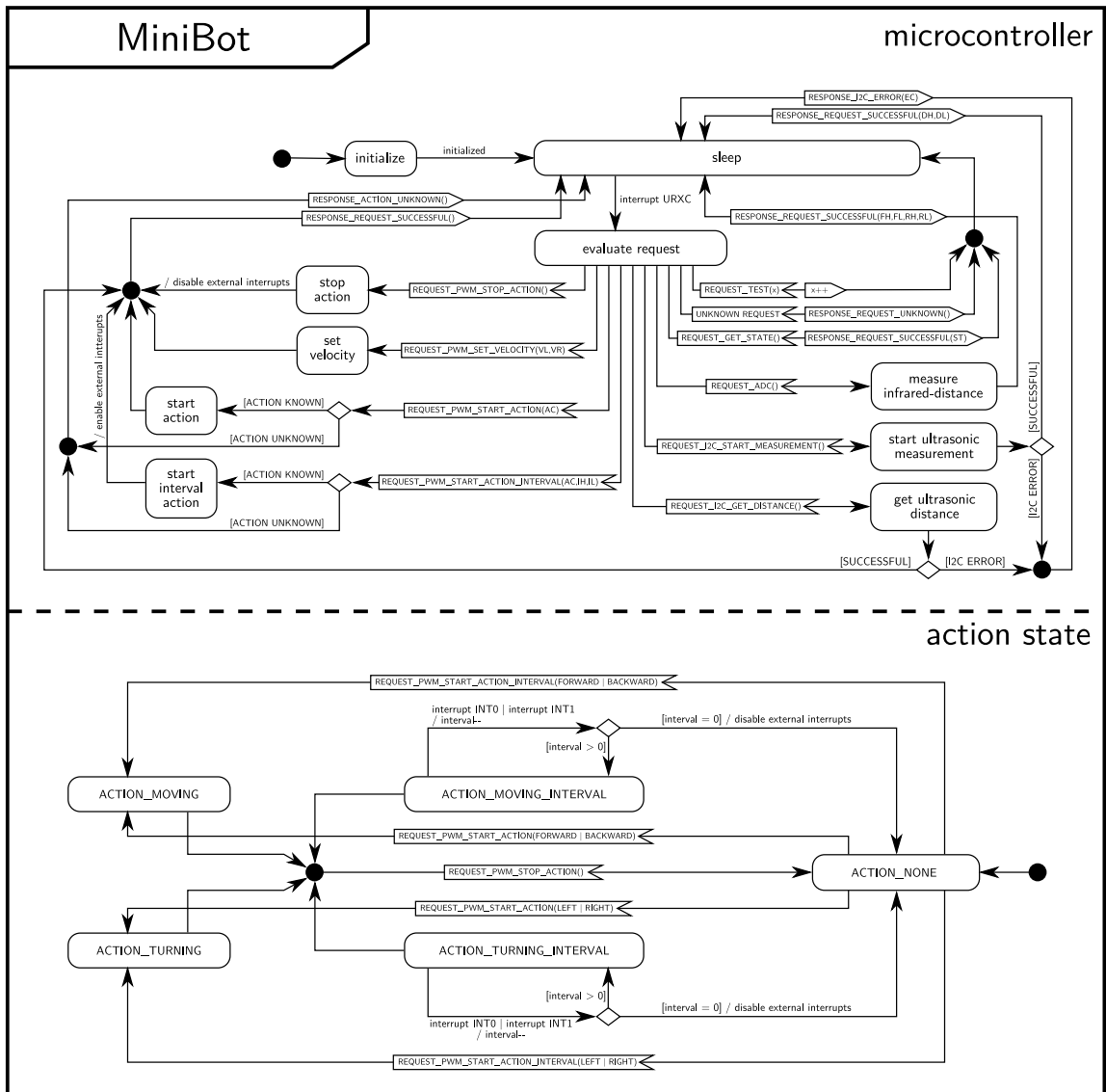


Bild 4.10: Zustandsübergangsdiagramm des Mikrocontrollers

# Kapitel 5

## Steuersoftware des MiniBots auf dem Barebone-PC

Die Steuersoftware des MiniBots befindet sich in `prog/` auf der beiliegenden CD bzw. in `/usr/src/MiniBot/` auf den MiniBots. Sie besteht aus drei Teilen:

*RoboControl*, *USBGrabber* und *MiniBotGUI*

Diese befinden sich in den gleichnamigen Unterverzeichnissen. Eine Inhaltsangabe der Verzeichnisse, sowie eine Erklärung der Funktionsweise folgt in den Kapiteln 5.1, 5.2 und 5.3. Anhang G erläutert den Aufbau der Softwareentwicklungsumgebung und gibt eine Übersicht über die verwendeten Tools und Bibliotheken.

### 5.1 RoboControl

Das Verzeichnis `RoboControl` enthält die `RoboControl`-Klasse, die ein einfach zu bedienendes Interface zur Steuerung des MiniBots zur Verfügung stellt (siehe Kapitel 5.1.1). Außerdem befindet sich dort das Programm `RoboControl` (siehe Kapitel 5.1.2). Es bietet eine einfache Konsolenoberfläche, über die Kommandos an den MiniBot gesendet oder Statusinformationen abgefragt werden können, wobei die bereits oben erwähnte `RoboControl`-Klasse verwendet wird.

Tabelle 5.1: Dateien in `RoboControl`

Datei	Inhalt
<code>RoboControl.h</code>	Headerdatei der <code>RoboControl</code> -Klasse
<code>RoboControl.cpp</code>	Implementierung der <code>RoboControl</code> -Klasse
<code>RoboProtocol.h</code>	Konstantendefinitionen für die Protokollcodes
<code>RoboSetup.h</code>	Konstantendefinitionen für die Konfiguration des MiniBots
<code>Mutex.h</code>	Headerdatei der <code>Mutex</code> -Klasse
<code>Mutex.cpp</code>	Implementierung der <code>Mutex</code> -Klasse
<code>main.cpp</code>	Implementierung des <code>RoboControl</code> -Programms
<code>Makefile</code>	Makefile zur Übersetzung

Tabelle 5.1 listet alle Dateien in diesem Verzeichnis mit ihrem Inhalt auf.

### 5.1.1 Die `RoboControl`-Klasse

Die Steuerung des MiniBots wird über die Klasse `RoboControl` abgewickelt. Hierzu zählen sowohl das Senden von Fahrbefehlen, als auch die Abfrage von Statusinformationen, wie etwa Sensordaten oder aktueller Bewegungszustand. Die Kommunikation mit dem MiniBot erfolgt nach dem bereits erklärten Protokoll in Tabelle 4.2 auf Seite 43.

Da die Kontrolle des MiniBots in der Regel auf mehrere Threads verteilt ist, wurde die Klasse *threadsafe* und nach dem *Singleton*-Pattern entwickelt, damit alle Threads den MiniBot über dasselbe Objekt ansteuern[CH97]. Wenn ein Thread Zugriff auf den MiniBot möchte, so kann er sich mittels `RoboControl* getInstance()` einen Handle auf die einzige Instanz holen. Das eigenständige Erzeugen eines Objektes vom Typ `RoboControl` ist nicht möglich, da der Konstruktor als `private` deklariert wurde. Bei Aufruf von `getInstance` wird anhand des internen Zählers `m_instanceCount`, der die Anzahl der Handles auf das Objekt in der statischen Variable `m_instance` speichert, überprüft, ob bereits ein Objekt vom Typ `RoboControl` erzeugt wurde. Ist dies nicht der Fall, so wird ein neues Objekt erzeugt. Daraufhin wird der Zähler `m_instanceCount` inkrementiert und ein Zeiger auf dieses Objekt zurückgegeben.

Wenn ein Thread den Handle auf das Objekt nicht mehr benötigt, so kann er ihn mittels `void freeInstance()` wieder freigeben. Die Funktionsweise ist symmetrisch zum Aufruf von `getInstance()`. Zunächst wird `m_instanceCount`, der Zähler für die Handles, wieder dekrementiert. Dann wird überprüft, ob noch weitere Handles existieren. Ist dies nicht der Fall, so wird das in `m_instance` gespeicherte Objekt gelöscht.

Um die Funktionen von `RoboControl` darüberhinaus *threadsafe* zu machen wurde eine `Mutex`-Klasse[CH97] implementiert. Sie stellt eine `lock()`- und eine `unlock()`-Funktion zur Verfügung. Intern arbeitet sie mit `pthread_mutex_t` aus der `pthread`-Bibliothek[BN96]. Die `RoboControl`-Klasse verfügt über solch ein in `m_mutex` gespeichertes statisches `Mutex`-Objekt. Am Anfang jeder Funktion wird dessen `lock`-Funktion aufgerufen. Beim Verlassen wird dessen `unlock`-Funktion aufgerufen. Wenn ein Thread nun eine Funktion aufruft und ein `lock` durchführt, so werden weitere Threads beim Versuch ein `lock` durchzuführen solange blockiert, bis der Thread die Funktion verlässt und das `Mutex` mit `unlock` wieder freigibt. Jetzt kann ein weiterer Thread ein `lock` erhalten und die gewünschte Funktion betreten.

In `int init()` (siehe Listing 5.1) wird die Initialisierung der Verbindung zwischen Steuersoftware und MiniBot durchgeführt. Dort wird zuerst der serielle Port durch Aufruf der Funktion `int openSerialPort()` geöffnet. Der Pfad zum seriellen Port ist im Namensraum `RoboSetup` in der Setup-Datei `RoboSetup.h` als Konstante gespeichert. Bei erfolgreichem Öffnen des Ports gibt `openSerialPort` den Filedescriptor des Ports zurück, andernfalls `-1`. Durch Aufruf von `void configureSerialPort()` wird dieser nach erfolgreichem Öffnen konfiguriert[Kai89]. Hier werden die gleichen Einstellungen für Baudrate, Stoppbits, Flusskontrolle, etc. vorgenommen, wie sie auch auf dem Mikrocontroller gemacht wurden. Schließlich wird die Verbindung und die korrekte Funktionsweise des Mikrocontrollers durch Aufruf von `int testConnection()` getestet. Dort wird der im Protokoll beschriebene Test durch Senden von `REQUEST_TEST` gefolgt von einem Byte mit dem Wert `97` durchgeführt. Anschließend wird überprüft, ob der Mikrocontroller das gesendete Byte inkrementiert (Wert `98`) zurückgeschickt hat. Ist dies der Fall, so funktionieren Verbindung und Mikrocontroller einwandfrei und die Funktion gibt `0` zurück, andernfalls wird `-1` zurückgegeben. Wenn alle Funktionsaufrufe von `init` erfolgreich ausgeführt wurden, gibt auch `init` `0` zurück, andernfalls `-1`.

Listing 5.1: RoboControl.cpp

```

61 int RoboControl::init(){
62     m_mutex.lock();
63     int retval = 0;
64     if(!m_initialized){
65         //connection not already initialized
66         m_fileDescriptor = openSerialPort(); //openserial port
67         if(m_fileDescriptor != -1){
68             configureSerialPort(); //configure serial port
69             if(testConnection() != -1){ //test connection and functionality
70                 //everything alright
71                 m_initialized = true;
72                 retval = 0;
73             }else{
74                 retval = -1;
75             }
76         }else{
77             retval = -1;
78         }
79     }
80     m_mutex.unlock();
81     return retval;
82 }

```

Die Protokollcodes zur Kommunikation sind in der Datei `RoboProtocol.h` im Namensraum `RoboProtocol` als Konstanten hinterlegt.

Die Methoden zur Kommunikation mit dem MiniBot verlaufen alle nach dem selben Schema. Dieses soll am Beispiel von `int getState(roboState& state)` (siehe Listing 5.2) zur Abfrage des Bewegungszustandes erläutert werden.

Nachdem das Mutex gelockt und der Return-Wert initialisiert wurde, wird ein Array für den Datenaustausch angelegt. Der Protokollcode `REQUEST_GET_STATE` wird an erster Stelle des Arrays eingetragen. Anschließend wird dieses Byte gesendet. Daraufhin wird die Antwort empfangen und ebenfalls in diesem Array gespeichert. Sobald beim Senden oder Empfangen ein Fehler auftritt, wird der Return-Wert auf `-1` gesetzt. Andernfalls wird überprüft, ob das erste Byte den Wert `RESPONSE_REQUEST_SUCCESSFUL` hat. Ist dies nicht der Fall, so ist ein Fehler aufgetreten und der Return-Wert wird auf den Wert dieses ersten Bytes gesetzt. Ansonsten war die Abfrage erfolgreich und der im zweiten Byte übertragene Zustand wird in der per *call-by-reference* übergebenen Variable `state`



Listing 5.2: RoboControl.cpp

```
364 int RoboControl::getState( roboState& state){
365     m_mutex.lock();
366     int retval = 0;
367     unsigned char buffer[2];
368     buffer[0] = RoboProtocol::REQUEST_GET_STATE;
369     if( write(m_fileDescriptor, buffer, 1) != 1){
370         retval = -1;
371     }else if( read(m_fileDescriptor, buffer, 2) != 2){
372         retval = -1;
373     }else if( buffer[0] != RoboProtocol::RESPONSE_REQUEST_SUCCESSFUL){
374         retval = buffer[0];
375     }else{
376         state = static_cast<roboState>(buffer[1]);
377     }
378     m_mutex.unlock();
379     return retval;
380 }
```

gespeichert. Vor Beendigung der Funktion wird auf dem Mutex wieder ein Unlock durchgeführt. Dann wird der Return-Wert 0 zurückgegeben.

Nach diesem Schema funktionieren fast alle Funktionen. Lediglich die Methoden zur Steuerung des Ultraschall-Sensors beinhalten eine weitere Abfrage, da hier zusätzlich die Antwort `RESPONSE_I2C_ERROR` gefolgt von dem Fehlercode möglich ist. Ansonsten unterscheidet sich die Abfolge jedoch nicht.

Da beide Motoren unterschiedliche Laufeigenschaften aufweisen, kommt es bei gleicher Ansteuerung zu unangenehmen Nebeneffekten. So fährt der Roboter nach der Übertragung identischer Werte für die Pulsweitenmodulation des rechten und linken Motors mittels `REQUEST_PWM_SET_VELOCITY` nicht genau geradeaus. Außerdem unterscheiden sich die Werte, die für eine normalschnelle Geradeausfahrt nötig sind, von denen für eine normalschnelle Drehung. Daher wurde die einstellbare Geschwindigkeit auf drei Level begrenzt, die in der Enumeration `roboSpeed` definiert sind. Dabei steht `min` für die minimale, `med` für die mittlere und `max` für die maximale Geschwindigkeit. Die erforderlichen Werte für die Pulsweitenmodulationen beider Motoren wurden durch Messungen festgestellt und sind in den Arrays `RoboSetup::leftSpeedTable[ ][ ]` und `RoboSetup::rightSpeedTable[ ][ ]` gespeichert. Für jede der drei möglichen Ge-

schwindigkeiten und für jede mögliche Bewegung wurden hier die an den Roboter zu übertragenden Werte für den linken bzw. rechten Motor eingetragen. Diese werden von der Funktion `postVelocity`, die aufgerufen wird, wenn Geschwindigkeit oder Art der Bewegung geändert werden, an den MiniBot übertragen. Diese führt dazu, dass der Roboter bei jeder der Geschwindigkeiten geradeaus fährt und eine Geschwindigkeitsanpassung, beispielsweise bei dem Übergang von normalschneller Vorwärtsfahrt zu normalschneller Drehung, entfällt.

Leider unterscheiden sich diese Werte bei beiden MiniBots. Daher muss vor dem Kompilieren die Umgebungsvariable `MINIBOT` auf `MINIBOT_1` bzw. `MINIBOT_2` gesetzt werden, je nach dem für welchen MiniBot die Steuersoftware kompiliert werden soll. Dadurch werden über Präprozessordirektiven in `RoboSetup.h` die zu diesem Roboter gehörigen Werte benutzt. Ist diese Umgebungsvariable nicht gesetzt, so wird beim Kompilieren eine Fehlermeldung angezeigt.

Bei intervall-basierten Bewegungen wird dem Mikrocontroller nur die entsprechende Anzahl der Taktimpulse von den Taktgeberscheiben übergeben (siehe Kapitel 4.5). Die Parameter der zugehörigen Steuer-Funktionen haben jedoch als Einheit Zentimeter für Translationen bzw. Grad für Rotationen, so dass eine Umrechnung in die zugehörige Anzahl von Taktimpulsen erforderlich ist. Dies wird über die beiden Konstanten `TICKS_PER_CM` und `TICKS_PER_DEGREE` in der Setup-Datei `RoboSetup.h` geregelt. Durch Multiplikation mit diesen beiden Faktoren, werden die Einheiten der Routinen in die korrespondierende Anzahl von Taktimpulsen umgerechnet.

Da der Roboter nach dem Erreichen der berechneten Anzahl von Ticks jedoch nicht sofort anhält, müssen spezielle, für den jeweiligen Geschwindigkeits-Level angepasste, Korrekturwerte eingerechnet werden. Diese sind in den Arrays `TRANSLATION_CORRECTION` (für Translationen) und `ROTATION_CORRECTION` (für Rotationen) gespeichert. Es handelt sich um die Anzahl von Korrekturticks für die drei Geschwindigkeitslevel, die aus obigem Grund von der errechneten Anzahl subtrahiert werden müssen. Hierdurch wird, das durch den größeren Impuls bei höheren Geschwindigkeiten bedingte Überschreiten der geforderten Tickzahl, kompensiert.

Wie bereits erwähnt, liefert der Mikrocontroller für die Entfernung der Infrarot-Sensoren lediglich 10-Bit-Digitalwerte, die durch eine A/D-Wandlung des analogen Ausgangs-

gels der Sensoren entstehen. Leider ist der Zusammenhang zwischen den Ausgangswerten bzw. den Digitalwerten und der zugehörigen Entfernung zum reflektierenden Objekt nicht linear<sup>1</sup>. Die Umrechnung erfolgt durch Aufruf der Approximierungsfunktion `int digitalValueToDistance(int value)`. Um die Approximierungsfunktion zu bestimmen, wurden zunächst die gemessenen Digitalwerte bei ansteigender Entfernung in Zentimeter-Schritten in einer Wertetabelle notiert (siehe Anhang E). Die Werte wurden nur in dem Intervall zwischen 4cm und 30cm gemessen, da dies der Spezifikation der Sensoren entspricht.

Zur Ermittlung der Approximierungsfunktion wurde die Trial-Version des Programms *FindGraph*<sup>2</sup> von *UNIPHIZ Lab*<sup>3</sup> benutzt (siehe Anhang G).

Dies führte zu folgender Approximierungsfunktion:

$$x = -1.458224732336748 + \frac{6156.057917536882}{y} - \frac{262380.5447723502}{y^2}$$

Hierbei ist  $y$  der Digitalwert und  $x$  die zugehörige Entfernung in cm. In Abbildung 5.1 sind die gemessenen Wertepaare und die errechnete Approximierungsfunktion eingezeichnet. Die Koeffizienten der Approximierungsfunktion wurden bei der Implementierung in `digitalValueToDistance` durch Präprozessordirektiven definiert, um die Lesbarkeit zu erhöhen.

## 5.1.2 Das Steuerprogramm RoboControl

Das Programm `RoboControl` wurde zur einfachen Steuerung des MiniBots und zum Testen aller Funktionen verwendet. Es stellt eine Konsolenoberfläche zur Verfügung, über die durch spezielle Tasten (siehe Tabelle 5.4 auf Seite 88) Befehle an den MiniBot gesendet oder Statusinformationen abgefragt werden können.

Zur Ein- und Ausgabe wurde die *ncurses*-Bibliothek<sup>4</sup>[Str86] verwendet. Sie bietet diverse Vorteile gegenüber der stream-basierten Ein- und Ausgabe. Zum Einen besteht die Mög-

---

<sup>1</sup> siehe [datasheets/gp2d120.pdf](#)

<sup>2</sup> <http://www.uniphiz.com/findgraph.htm>

<sup>3</sup> <http://www.uniphiz.com/>

<sup>4</sup> <http://www.gnu.org/software/ncurses/ncurses.html>

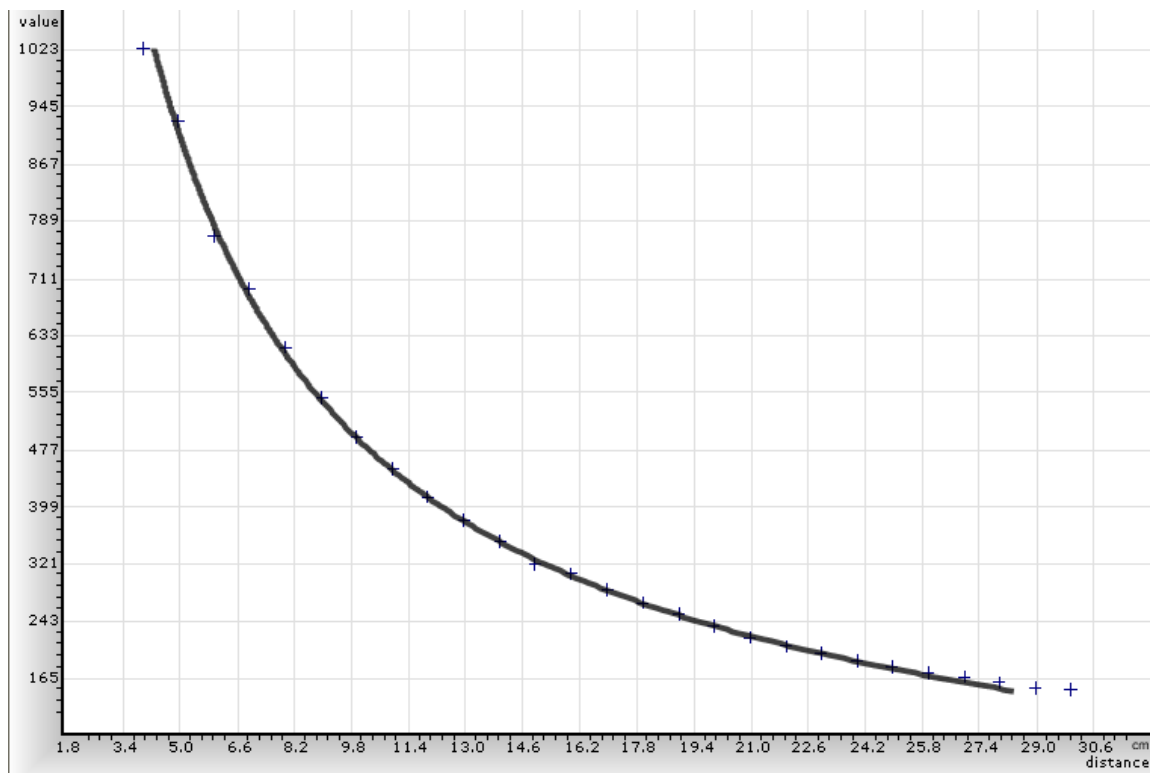


Bild 5.1: Gemessene Werte und Approximierungsfunktion

lichkeit einer ungepufferten Eingabe, wodurch die direkte Steuerung des MiniBots ohne bestätigende Return-Eingaben ermöglicht wird. Zum Anderen kann die Cursorposition bei der Ausgabe beliebig gesetzt werden, wodurch die Positionierung bestimmter Ausgaben erleichtert wird.

Alle Daten des MiniBots werden in globalen Variablen gespeichert, die mit `Robo*` beginnen. Tabelle 5.2 listet alle globale Variablen mit der Beschreibung ihres Inhalts auf. Während die ersten drei Variablen Parameter zur Bewegung des Roboters speichern, enthalten die folgenden vier Variablen Statusinformationen über den MiniBot. Ein Refresh findet nur beim Senden des entsprechenden Befehls an den MiniBot statt. Einen Auswahlcode, der beschreibt welche Werte durch Drücken von + oder - inkrementiert bzw. dekrementiert werden sollen enthält `RoboSelection`. Tabelle 5.3 zeigt die zulässigen Auswahlcodes mit zugehöriger Beschreibung. Sie sind über Präprozessordirektiven de-

Tabelle 5.2: Globale Variablen des RoboControl-Programms

Globale Variable	Beschreibung
roboSpeed RoboSpeed	Geschwindigkeits-Level des MiniBots
int RoboDistance	Wegstrecke in cm
int RoboAngle	Drehwinkel in °
int RoboUltraSonicRange	Gemessene Entfernung des Ultraschall-Sensors
int RoboFrontIRRange	Gemessene Entfernung des vorderen Infrarot-Sensors
int RoboRearIRRange	Gemessene Entfernung des hinteren Infrarot-Sensors
roboState RoboState	Bewegungszustand des MiniBots
int RoboSelection	Auswahl der Werte, die geändert werden sollen
char RoboMode	Bewegungs-Modus des MiniBots
RoboControl* Robo	Zeiger auf das Steuer-Objekt
struct timespec I2CWaitTime	Struct zum Warten auf die Ultraschall-Messung
bool Quit	Flag zum Beenden des Programms

Tabelle 5.3: Auswahlcodes mit Beschreibung

Auswahlcode	Beschreibung
ROBO_SELECTION_VELOCITY	Änderung des Geschwindigkeits-Levels
ROBO_SELECTION_DISTANCE	Änderung der Wegstrecke
ROBO_SELECTION_ANGLE	Änderung des Drehwinkels

finiert. Die Variable `RoboMode` enthält den derzeitigen Bewegungsmodus. `p` steht für permanente Bewegung, `i` für intervall-basierte Bewegung. `Robo` enthält einen Zeiger auf das `RoboControl`-Objekt, das zur Steuerung und Kommunikation mit dem MiniBot benutzt wird. `I2CWaitTime` enthält ein Struct, um mit `nanosleep` zwischen Auslösen einer Messung des Ultraschall-Sensors und Abfrage des Ergebnisses, die in `RoboSetup::I2C_WAIT_MSEC` gespeicherte Anzahl von Millisekunden zu warten. Das Flag `Quit` dient zur Beendigung des Programms.

Nach dem Start der `main()`-Methode (siehe Listing 5.3), wird zunächst ein Handle für das `RoboControl`-Objekt mit `getInstance()` besorgt und in der globalen Varia-

Listing 5.3: main.cpp

```

459 int main(int argc, char** argv){
460     cout << "Starting initialization:" << endl;
461     Robo = RoboControl::getInstance();
462     if(Robo->init()){
463         cout << "Error during initialization!" << endl;
464         RoboControl::freeInstance();
465         return -1;
466     }
467     cout << "Initilization successful!" << endl;
468     initCurses();
469     initRobotValues();
470     RoboSetVelocity();
471     printDescription();
472     printRobotValues();
473     Quit = false;
474     printw("Enter command: ");
475     while(!Quit){
476         if(handleCommand(getch()) == -1){
477             printMessage("Unknown command!");
478         }
479     }
480     endwin();
481     RoboControl::freeInstance();
482     return 0;
483 }

```

ble Robo gespeichert. Anschließend wird die Verbindung zum Roboter durch Aufruf von `init()` initialisiert und getestet. Schlägt dies fehl, so wird das Handle sofort wieder mit `freeInstance()` freigegeben und die `main()`-Methode mit Rückgabewert `-1` verlassen. Andernfalls wird `ncurses` durch Aufruf von `initCurses()` initialisiert und konfiguriert und die globalen Variablen werden durch `initRobotValues()` mit Startwerten gefüllt. Anschließend wird eine Beschreibung der Tastenkürzel zur Steuerung des Programms mit `printDescription()` auf der Konsole ausgegeben. Darunter wird mit `printRobotValues()` der derzeitige Inhalt der globalen Variablen angezeigt. Nachdem das Flag zum Beenden auf `false` gesetzt wurde, werden in einer Schleife Keycodes bzw. Befehle des Users durch drücken von bestimmten Tasten mittels `getch()` empfangen und durch `handleCommand()` ausgewertet bis `Quit` auf `true` gesetzt wird. Dann wird `ncurses` mit `endwin()` deinitialisiert, der Handle auf das `RoboControl`-Objekt

Listing 5.4: main.cpp

```
425 int handleCommand(int command){
426     int retval = 0;
427     switch (command){
428         case KEY_LEFT: RoboTurnLeft (); break;
429         case KEY_RIGHT: RoboTurnRight (); break;
430         case KEY_UP: RoboMoveForward (); break;
431         case KEY_DOWN: RoboMoveBackward (); break;
432         case KEY_END: RoboStop (); break;
433         case 'u': RoboGetUltraSonicRange (); break;
434         case 'i': RoboGetIRRanges (); break;
435         case 's': RoboGetState (); break;
436         case 't': toggleMode (); break;
437         case '+': adjustSelection (true); break;
438         case '-': adjustSelection (false); break;
439         case 'v': RoboSelection = ROBO_SELECTION_VELOCITY; break;
440         case 'd': RoboSelection = ROBO_SELECTION_DISTANCE; break;
441         case 'a': RoboSelection = ROBO_SELECTION_ANGLE; break;
442         case 'q': Quit = true; break;
443         default: retval = -1;
444     }
445     return retval;
446 }
```

freigegeben und die `main()`-Methode mit einem Return-Wert von 0 verlassen.

Die Methode `handleCommand()` (siehe Listing 5.4) wird aufgerufen, sobald der User eine Taste gedrückt hat. Sie wertet den empfangenen Keycode aus und ruft die zugehörige Funktion (Robo\*) auf, die lediglich die entsprechende Funktion des `RoboControl`-Objekts aufruft.

Ausnahmen hierzu stellen nur folgende Tasten dar:

Bei Drücken von `t` wird der in `RoboMode` gespeicherte Bewegungsmodus durch Aufruf von `toggleMode()` umgeschaltet. Mit `q` wird das Flag `Quit` zum Beenden des Programms auf `true` gesetzt. Die Tasten `v`, `d` oder `a` setzen die in `RoboSelection` gespeicherte Auswahl auf die entsprechenden Werte (siehe Tabelle 5.3). Die zugehörigen Werte können dann mit `+` bzw. `-` inkrementiert bzw. dekrementiert werden, wobei die Funktion `adjustSelection(bool)` benutzt wird. Für Wegstrecke und Drehwinkel werden die in `RoboSetup.h` definierten Schrittweiten `DISTANCE_STEPPING` bzw.

ANGLE\_STEPPING benutzt. Außerdem wird sichergestellt, dass Wegstrecke und Drehwinkel nicht DISTANCE\_MAX bzw. ANGLE\_MAX übersteigen.

Wenn dem empfangenen Keycode keine Funktion zugeordnet ist, gibt `handleCommand` -1 zurück, andernfalls 0.

Tabelle 5.4 zeigt einen Überblick, mit welchen Funktionen die in dem Programm benutzten Tasten belegt sind.

Tabelle 5.4: Tasten und Funktionen des `RoboControl`-Programms

Taste	Funktion
←	Linksdrehung
→	Rechtsdrehung
↑	Vorwärtsfahrt
↓	Rückwärtsfahrt
Ende	Bewegung anhalten
t	Umschaltung permanente ↔ intervall-basierte Bewegung
+	Werte der aktuellen Auswahl inkrementieren
-	Werte der aktuellen Auswahl dekrementieren
v	Auswahl auf Geschwindigkeits-Level setzen
d	Auswahl auf Wegstrecke setzen
a	Auswahl auf Drehwinkel setzen
u	Ultraschall-Messung durchführen
i	Infrarot-Messung durchführen
s	Bewegungszustand des MiniBots abfragen
q	Programm beenden

## 5.2 USBGrabber

Im Verzeichnis `USBGrabber` befindet sich die `USBGrabber`-Klasse, die Funktionen bietet, um USB-Kameras zu konfigurieren und Bilder von ihnen zu empfangen (siehe



Tabelle 5.5: Dateien in USBGrabber

Datei	Inhalt
USBGrabber.h	Headerdatei der USBGrabber-Klasse
USBGrabber.cpp	Implementierung der USBGrabber-Klasse
main.cpp	Implementierung des USBGrabber-Programms
Makefile	Makefile zur Übersetzung

Kapitel 5.2.1). Das Programm USBGrabber verwendet diese Klasse, um beliebig viele Bilder von einer angeschlossenen USB-Kamera aufzunehmen und im *ppm*-Format zu speichern (siehe Kapitel 5.2.2). Eine Auflistung aller Dateien in diesem Verzeichnis mit Beschreibung ihres Inhalts befindet sich in Tabelle 5.5.

### 5.2.1 Die USBGrabber-Klasse

Damit der MiniBot seine Umgebung wahrnehmen kann, wurde an dessen Front eine USB-Webcam von Typ Logitech Communicate STX<sup>5</sup> angebracht. Diese Kamera hat die Vorteile, dass sie kompatibel zu *USB 2.0* ist, einen Autofokus besitzt und es existiert ein funktionsfähiges Kernel-Modul zur Ansteuerung der Kamera unter Linux.

Die Ansteuerung von Webcams unter Linux erfolgt über die *v4l* (*video for linux*) API<sup>6</sup>. Dies ist eine *video capture* API, die das Frontend zur Kommunikation mit jeglicher Art von Geräten, die Bilder (evtl. mit Audiosignalen) liefern, darstellt. Das Backend wird von einem hardware-spezifischen Kernelmodul gebildet, das in der Lage ist, die jeweilige Kamera anzusteuern. Zur Ansteuerung der Logitech Communicate STX eignet sich das *spca5xx*-Kernelmodul<sup>7</sup>, das jedoch zunächst kompiliert werden muss. Nach dem Kompilieren und Installieren des Kernel-Moduls, kann die korrekte Funktionsweise durch Anschließen der Kamera an einen freien USB-Port getestet werden. Dann sollten sowohl das *videodev*-Modul, als auch das *spca5xx*-Modul geladen werden. Außerdem sollte

---

<sup>5</sup>siehe *datasheets/LogitechCommunicateSTX.pdf*

<sup>6</sup><http://linux.bytesex.org/v4l2/>

<sup>7</sup><http://mxhaard.free.fr/spca5xx.html>

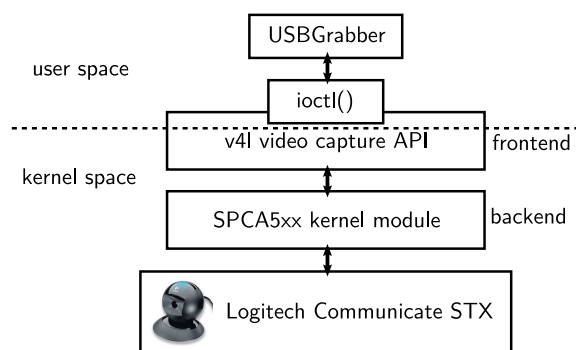


Bild 5.2: Zusammenspiel der Komponenten bei der v4l-API

`dmesg` einen Eintrag für die erkannte Kamera ausgeben. Darüberhinaus sollte ein *Device-Node* `/dev/video*` erzeugt werden, über den auf die Kamera zugegriffen werden kann. Nun kann der Zugriff auf die v4l-API durch Aufrufe der Funktion `ioctl()` erfolgen (siehe unten). Das Schema in Abbildung 5.2 verdeutlicht dieses Zusammenspiel zwischen `ioctl()`, v4l-API und `spca5xx`-Kernelmodul.

Die `USBGrabber`-Klasse stellt eine Reihe von Funktionen zur Verfügung, um die Kamera durch Zugriff auf die v4l-API zu konfigurieren und Bilder von ihr zu empfangen. Die Bilder können entweder als Rohdaten oder als *SpatialDomainImage* bereitgestellt werden. *SpatialDomainImage* ist die in der *PUMA*-Bibliothek<sup>8</sup> verwendete Bildklasse. Um diese jedoch benutzen zu können, muss *PUMA* sauber installiert sein und das Makro `PUMA` muss in der `Toplevel-Makefile` vor der Kompilierung gesetzt werden.

Nachdem ein Objekt von Typ `USBGrabber` erzeugt wurde, muss dieses durch Aufruf von `int init(const char* device)` (siehe Listing 5.5) initialisiert werden. Der Parameter gibt dabei den Pfad zum Device-Node (`/dev/video*`) des zugehörigen v4l-Geräts an. Wenn der Device-Node erfolgreich geöffnet wurde, erfolgt die weitere Kommunikation über den zurückgegebenen Filedescriptor.

Die Steuerung verläuft über Aufrufe von `ioctl(int fd, int req, ...)`. Diese Funktion dient zur Manipulation von Parametern spezieller Geräte-Dateien. Hierbei ist `fd` der Filedescriptor des Geräts und `req` ein gerätespezifischer Request-Code. Es folgt ein

<sup>8</sup><http://www.uni-koblenz.de/FB4/Institutes/ICV/AGPaulus/puma>

Listing 5.5: USBGrabber.cpp

```

39 int USBGrabber::init(const char* device){
40     cout << "Initializing USB-Camera on '" << device << "':" << endl;
41     m_device = device;
42     //open filedescriptor
43     m_fd = open(m_device, O_RDWR);
44     if(m_fd == -1){
45         cout << "Error: Unable to open device '" << device << "':" << endl;
46         return -1;
47     }
48     //try to get the parameters of video capability associated with that
49     //filedescriptor
50     if(ioctl(m_fd, VIDIOCGCAP, &m_videocap) == -1){
51         cout << "Error: '" << device << "' seems not to be a v4l-device" << endl;
52         return -1;
53     }
54     cout << "Camera found: '" << m_videocap.name << endl;
55     //clear structs for camera parameters
56     memset(&m_videopict, 0, sizeof(struct video_picture));
57     memset(&m_videowin, 0, sizeof(struct video_window));
58     memset(&m_videochan, 0, sizeof(struct video_channel));
59     memset(&m_videobuf, 0, sizeof(struct video_mmap));
60     //fill structs with actual parameters of the camera
61     if(getPictureParameters() || getWindowParameters() || getChannelParameters() != 0){
62         return -1;
63     }
64     cout << "Initialization of USB-Camera completed successfully!" << endl;
65     return 0;
66 }

```

optionales Argument, das zu dem Request-Code gehört. Beispielsweise sendet der Aufruf

```
ioctl(m_fd, VIDIOCGCAP, &m_videocap)
```

in Zeile 50 der Initialisierungsroutine den Request-Code VIDIOCGCAP zur Abfrage von Informationen über das zum Filedescriptor `m_fd` zugehörige v4l-Gerät. Diese Informationen werden dann in dem als Argument übergebenen Struct `m_videocap` vom Typ `struct video_capability` gespeichert.

Die Request-Codes sind in `linux/videodef.h` definiert, ebenso wie die verschiedenen Structs, die zum Austausch von Informationen und Einstellungen mit dem v4l-Gerät dienen. Tabelle 5.6 zeigt die hier verwendeten Structs und ihre Bedeutung.

Tabelle 5.6: In USBGrabber verwendete Structs

Variable	Typ	Bedeutung
<code>m_videocap</code>	<code>struct video_capability</code>	allgemeine Einstellungen
<code>m_videochan</code>	<code>struct video_channel</code>	Kanal-Einstellungen
<code>m_videopict</code>	<code>struct video_picture</code>	Bildton-Einstellungen
<code>m_videowin</code>	<code>struct video_window</code>	Bildformat-Einstellungen
<code>m_videobuf</code>	<code>struct video_mmap</code>	Memory-Mapping-Einstellungen

In der Initialisierungsroutine werden diese Structs zunächst initialisiert und durch Aufruf der Funktionen `getPictureParameters()`, `getWindowParameters()` und `getChannelParameters()` mit den aktuellen Einstellungen des v4l-Geräts gefüllt. Dies wird wiederum durch Aufruf von `ioctl` mit den Request-Codes `VIDIOCGPICT`, `VIDIOCGWIN` bzw. `VIDIOCGCHAN`.

Die Funktion `int setSize(int width, int height)` ermöglicht eine Änderung der Auflösung. Hierbei wird die neue horizontale und vertikale Auflösung an den entsprechenden Stellen des Structs `m_videowin` eingetragen. Dann werden diese Einstellungen durch Aufruf von `setWindowParameters()` übertragen, wobei wiederum `ioctl` in Verbindung mit dem Request-Code `VIDIOCSWIN` und dem zugehörigen Struct `m_videowin` als Argument benutzt wird. Anschließend wird durch nochmaligen Aufruf von `getPictureParameters()` überprüft, ob die Einstellungen korrekt gemacht wurden.

Das Ändern der Farbpalette geschieht mit `int setPalette(int palette)` und funktioniert ähnlich. Die möglichen Farbpaletten sind in Tabelle 5.7 aufgelistet und erklärt. Ihre Definitionen befinden sich in `linux/videodef.h`. Zuerst wird die der gewählten Farbpalette entsprechende Farbtiefe gesetzt. Anschließend werden Farbpalette und Farbtiefe im Struct `m_videopict` eingetragen und durch `setPictureParameters()` übertragen. Dann wird wieder überprüft, ob alle Einstellungen korrekt gemacht wurden. Leider wird die Farbpalette `VIDEO_PALETTE_GREY` von dieser Kamera nicht unterstützt und kann somit nicht benutzt werden.

Zur eigentliche Aufnahme eines Bildes dient die private Funktion `int grab()` (sie-

Tabelle 5.7: Farbpaletten mit zugehörigem Bitformat

Farbpalette	bpp	Bitformat (R=rot,G=grün,B=blau,A=alpha,X=grau)
VIDEO_PALETTE_GREY	8	[XXXXXXXX]
VIDEO_PALETTE_RGB565	16	[RRRRRGGGGGGBBBBB]
VIDEO_PALETTE_RGB24	24	[BBBBBBBBGGGGGGRRRRRRRR]
VIDEO_PALETTE_RGB32	32	[AAAAAAAAARRRRRRRRGGGGGGGBBBBBBBB]

he Listing 5.6). Dort wird zunächst anhand von Auflösung und Farbpalette die benötigte Puffergröße berechnet und mit der aktuellen Puffergröße verglichen. Sind die beiden Größen ungleich, so muss die Puffergröße verändert werden. Zum Austausch der Bilddaten wird *Memory-Mapping* benutzt. Dabei wird durch die Funktion `mmap` eine bestimmte Anzahl von Bytes aus einer Datei (hier das v4l-Gerät) in den Speicher gemapped. Über den zurückgegebenen Zeiger kann dann auf die Daten so zugegriffen werden, als würden sie sich im Speicher befinden. Es wird allerdings zuvor überprüft, ob schon ein Mapping stattgefunden hat. Ist dies der Fall, so wird nur die Größe des Mappings mit `mremap` angepasst, andernfalls wird eine neues Mapping mit `mmap` angelegt. Anschließend enthält `m_buffer` einen Zeiger auf den gemappten Speicherbereich.

Die Aufnahme eines Bildes wird wieder mit einem Aufruf von `ioctl` ausgelöst. Hierbei wird als Request-Code `VIDIOC_MCAPTURE` und als Argument `mvideobuf` übergeben. Das Struct `mvideobuf` enthält nötige Informationen über die Größe des Puffers, der beim Memory-Mapping benutzt wird. Die Werte in `mvideobuf` werden bei jedem Aufruf von `getPictureParameters` und `getWindowParameters` auf dem aktuellsten Stand gehalten. Anschließend muss gewartet werden bis das Bild komplett übertragen wurde, was durch den Request-Code `VIDIOC_SYNC` mit Struct `mvideobuf` als Argument bewerkstelligt wird. Nach erfolgter Synchronisierung zeigt `m_buffer` auf die Bilddaten in dem gewählten Format und die Aufnahme ist beendet.

Benutzt wird `grab` von den Funktionen `unsigned char* grabRawImage()` und `SpatialDomainImage* grabImage()`. Die Funktion `grabRawImage` gibt lediglich einen Zeiger auf eine Kopie der Bilddaten im Rohformat zurück. Eine Kopie ist deshalb nötig, da der Inhalt des gemappten Speicherbereichs bei der Aufnahme des näch-

sten Bildes wieder überschrieben wird. Die Funktion `grabImage` hingegen gibt ein *SpatialDomainImage*, wie es in PUMA verwendet wird zurück. Um die `USBGrabber`-Klasse mit dieser Funktion zu kompilieren muss, wie bereits erwähnt, PUMA sauber installiert und das Makro `PUMA` im Toplevel-Makefile gesetzt sein. Das erzeugte *SpatialDomainImage* enthält dann je nach gewählter Farbpalette intern ein *GreyLevelImage* (bei Farbpalette `VIDEO_PALETTE_GREY`) oder ein *ColorImage* (sonst).

Listing 5.6: USBGrabber.cpp

```

265 int USBGrabber::grab(){
266     //compute needed buffersize in bytes
267     int bufferSize = m_videobuf.width * m_videobuf.height * m_videopict.depth
268                   >> 3;
269     //compare actual buffersize with needed buffersize
270     if(m_bufferSize != bufferSize){
271         // new size of framebuffer needed
272         if(m_buffer){
273             //buffer has already been mapped, so use mremap
274             m_buffer = (unsigned char*) mremap(m_buffer, m_bufferSize, bufferSize,
275                                               MREMAP_MAYMOVE);
276         } else {
277             //buffer hasn't already been mapped, so use the normal mmap
278             m_buffer = (unsigned char*) mmap(0, bufferSize, PROT_READ|PROT_WRITE,
279                                             MAP_SHARED, m_fd, 0);
280         }
281         //save new buffersize
282         m_bufferSize = bufferSize;
283     }
284     //start capture
285     if(ioctl(m_fd, VIDIOCMAPI, &m_videobuf) == -1){
286         cout << "Error: Capture from camera failed" << endl;
287         return -1;
288     }
289     //wait for synchronization that indicates that the capture is completed
290     if(ioctl(m_fd, VIDIOCSYNC, &m_videobuf) == -1){
291         cout << "Error: Synchronization failed" << endl;
292         return -1;
293     }
294     return 0;
295 }

```

Tabelle 5.8: Parameter des USBGrabber-Programms

Parameter	Erklärung
-d device	Angabe eines beliebigen Device-Nodes (default: /dev/video0)
-r resolution	Angabe einer Auflösung (0=640x480 [default]; 1=320x240)
-c count	Anzahl der aufzunehmenden Bilder (default: 1)
-h	Anzeige der Hilfe

### 5.2.2 Das Programm USBGrabber

Zum Testen der Funktionsweise von Kamera mit zugehörigem Kernelmodul und der eigentlichen USBGrabber-Klasse, wurde das USBGrabber-Programm implementiert. Es bietet die Möglichkeit unter Benutzung der USBGrabber-Klasse beliebig viele Bilder von einem ausgewählten v4l-Gerät aufzunehmen und im *ppm*-Format<sup>9</sup> zu speichern.

Tabelle 5.8 gibt eine Übersicht über die möglichen Parameter, die dem Programm übergeben werden können. Wenn keine Parameter angegeben werden, versucht das Programm ein Bild vom v4l-Gerät, das zum Device-Node /dev/video0 gehört, in der Auflösung 640x480 aufzunehmen und in `image1.ppm` zu speichern. Mit der Option `-d` kann ein anderer Device-Node gewählt werden. Die Auflösung kann mit dem Parameter `-r` geändert werden. Um mehrere Bilder aufzunehmen kann man mit der Option `-c` eine beliebige Anzahl angeben. Die Bilder werden dann unter einem Dateinamen mit dem Präfix `image` gefolgt von einer laufenden Nummer und der Endung `.ppm` gespeichert. Mit `-h` wird eine kurze Erklärung des Programms ausgegeben.

Die `main()`-Funktion verarbeitet zunächst alle angegebenen Parameter durch Aufruf von `void handleOptions()`. Dort werden die eingestellten Standard-Werte durch die eventuell über Parameter angegebenen Werte überschrieben. Anschließend wird ein Objekt der Klasse `USBGrabber` erstellt, initialisiert und konfiguriert. Dann werden die Einstellungen zur Kontrolle auf der Konsole ausgegeben. Nun werden in einer Schleife solange Bilder aufgenommen und im *ppm*-Format gespeichert bis die gewünschte Anzahl erreicht ist.

---

<sup>9</sup>siehe *specifications/ppm.pdf*

In der Funktion `void writeImage(unsigned char* image, int index)` erfolgt die Speicherung im ppm-Format. Nachdem der Dateiname erzeugt und die zugehörige Datei geöffnet wurden, wird zuerst der Header ausgegeben. Er hat folgenden Aufbau:

```
P6
Breite Höhe
Farbwert
```

Hierbei ist `P6` die Kennung für das binäre ppm-Format. `Breite` und `Höhe` geben die Auflösung des Bildes in Pixeln an. `Farbwert` steht für den maximalen Farbwert pro Kanal. Nach dem Header folgen unmittelbar die eigentlichen Farbwerte der Pixel von oben links bis unten rechts. Die Werte der einzelnen Kanäle werden in der Reihenfolge rot-grün-blau angegeben.

### 5.3 MiniBotGUI

Die `MiniBotGUI`-Applikation wurde entwickelt, um alle Informationen, die dem MiniBot zur Verfügung stehen in einer einzigen Anwendung zu visualisieren und zusätzlich dessen Steuerung zu ermöglichen. Zu den angezeigten Informationen zählen insbesondere die von der Kamera aufgenommenen Bilder, die von die GUI in Echtzeit angezeigt werden. Außerdem werden die Entfernungsdaten der Sensoren durch Balken dargestellt. Hierzu wird auf die bereits erklärten Klassen `RoboControl` (siehe Kapitel 5.1.1) und `USBGrabber` (siehe Kapitel 5.2.1) zurückgegriffen. Die Steuerung des MiniBots erfolgt wahlweise durch Klicken auf die dafür vorgesehenen Schaltflächen der GUI oder durch Drücken bestimmter Tasten auf der Tastatur, die als Shortcuts definiert sind. Tabelle 5.9 listet alle Dateien in diesem Verzeichnis mit ihrem Inhalt auf.

Zur Implementierung wurde die Programmierbibliothek `Qt`<sup>10</sup> von `Trolltech`<sup>11</sup> in der Version 4.1 verwendet. Sie ermöglicht die plattformunabhängige Erstellung von graphischen

---

<sup>10</sup><http://www.trolltech.com/products/qt>

<sup>11</sup><http://www.trolltech.com/>



Tabelle 5.9: Dateien in MiniBotGUI

Datei	Inhalt
FrameGrabber.h	Headerdatei der FrameGrabber-Klasse
FrameGrabber.cpp	Implementierung der FrameGrabber-Klasse
InfraRedDetector.h	Headerdatei der InfraRedDetector-Klasse
InfraRedDetector.cpp	Implementierung der InfraRedDetector-Klasse
UltraSonicDetector.h	Headerdatei der UltraSonicDetector-Klasse
UltraSonicDetector.cpp	Implementierung der MainWidget-Klasse
MainWidget.h	Headerdatei der MainWidget-Klasse
MainWidget.cpp	Implementierung der UltraSonicDetector-Klasse
main.cpp	Implementierung der MiniBotGUI-Applikation
Makefile	Makefile zur Übersetzung

Benutzeroberflächen und bietet darüberhinaus eine umfangreiche Klassenbibliothek mit häufig benötigten Hilfsmitteln, wie etwa Container-Klassen, Multi-Threading-Unterstützung, etc.[Bla06]

Die graphischen Elemente einer Qt-Applikation werden als *Widgets* bezeichnet. Hierzu zählen beispielsweise Fenster, Buttons, Beschriftungen, Auswahlboxen, etc. Sie sind alle (evtl. auch indirekt) von der Klasse `QWidget` abgeleitet und hierarchisch organisiert. So enthält beispielsweise ein Fenster-Widget verschiedene Sub-Widgets, die ihrerseits auch wieder Sub-Widgets enthalten können, usw.

Zum eigentlichen Start einer Qt-Applikation muss lediglich ein `QApplication`-Objekt erzeugt werden. Dann wird ein Haupt-Widget erzeugt und angezeigt. Nun kann die Kontrolle, durch Aufruf der `exec`-Methode, an das `QApplication`-Objekt übergeben werden und der Benutzer kann mit der graphischen Oberfläche interagieren.

Die Kommunikation zwischen verschiedenen Widgets erfolgt über *Signale* und *Slots*. Ein, unter Umständen auch selbst geschriebenes, Widget kann durch eine bestimmte Interaktion des Benutzers ein Signal auslösen. Wenn dieses Signal zuvor mit einem Slot eines anderen Widgets verbunden wurde, so wird dieser Slot nach dem Auslösen des Signals, ähnlich einer ganz normalen Methode, aufgerufen. Signale und Slots können auch selbst

implementiert werden. Das Auslösen eines Signals erfolgt mit `emit signal`. Das Verbinden eines Signals mit einem Slot geschieht über die Methode `connect`, die jedes Qt-Objekt besitzt. Signale können durch Parameter auch Daten übertragen und diese dem Slot zur weiteren Verarbeitung übergeben.

Da insbesondere die Aufnahme und Übertragung der Kamerabilder sehr viel Zeit in Anspruch nimmt, werden diese Aktionen in einem eigenen Thread ausgeführt, um die GUI währenddessen nicht zu blockieren[CH97]. Die Klasse `FrameGrabber`, die von der Klasse `QThread` abgeleitet ist, implementiert den zugehörigen Thread zur Aufnahme und Übertragung der Kamera-Bilder.

Zuerst ruft das `MainWidget` aus dem Haupt-Thread die Funktion `grabFrame()` der Klasse `FrameGrabber` auf, um ein Bild anzufordern. Da der `FrameGrabber`-Thread noch nicht gestartet wurde, wird dies nun getan, wodurch die `run()`-Methode (siehe Listing 5.7) des Threads aufgerufen wird. Dort erfolgt die Konfiguration der Kamera über das `USBGrabber`-Objekt. Anschließend beginnt eine Schleife, die pro angefordertem Bild einmal ausgeführt wird, bis das Flag `m_stopExecution` durch den Destruktor gesetzt wird. In dieser Schleife wird, nachdem die Rohdaten eines Bildes empfangen wurden, daraus ein `QImage` zur Anzeige im Haupt-Widget konstruiert. Dann wird dieses Bild durch Auslösen des Signals `newFrame` mit dem erzeugten Bild als Parameter an den Haupt-Thread gesendet. Anschließend legt sich der Thread bis zur Anforderung des nächsten Bildes schlafen. Sollte bei der Aufnahme eines Bildes ein Fehler auftreten, so wird das Signal `cameraError` ausgelöst.

Das Signal `newFrame` ist mit dem Slot `displayFrame` des `MainWidget`s verbunden, wodurch dieser Slot beim Auslösen des Signals `newFrame` ausgeführt wird. Dieser ersetzt lediglich das alte Bild im Label `m_frameLabel` durch das soeben empfangene neue Bild und fordert wiederum durch Aufruf von `grabFrame` das nächste Bild an.

Da der Thread allerdings schon gestartet wurde, wird er nun im Gegensatz zum ersten Aufruf von `grabFrame` nicht gestartet, sondern an der Stelle in der `run`-Methode, an der er sich schlafen gelegt hat, aufgeweckt. Dann vollzieht er in der `run`-Methode einen weiteren Schleifendurchlauf und sendet das nächste Bild durch Auslösen des `newFrame`-Signals, worauf er sich wieder schlafen legt und sich das ganze wiederholt. Der Ablauf

Listing 5.7: FrameGrabber.cpp

```

29 void FrameGrabber::run(){
30     //initialize and configurre camera via USBGrabber
31     if(m_usbGrabber->init("/dev/video0") == 0){
32         m_usbGrabber->setSize(320, 240);
33         m_usbGrabber->setPalette(VIDEO_PALETTE_RGB32);
34         m_usbGrabber->printPictureParameters();
35         m_usbGrabber->printWindowParameters();
36         //loop where the images are captured
37         while(!m_stopExecution){
38             //grab one single image
39             unsigned char* frameData = m_usbGrabber->grabRawImage();
40             if(frameData == 0){
41                 //an error ocured during capture , so emit 'cameraError'-signal
42                 emit cameraError();
43             }else{
44                 //create a QImage out of the captured raw-image
45                 QImage frame(320, 240, QImage::Format_RGB32);
46                 memcpy(frame.bits(), frameData, frame.numBytes());
47                 //deallocate memory of raw-image
48                 free(frameData);
49                 //lock mutex to avoid deadlocks
50                 m_mutex.lock();
51                 //send image by emitting the 'newFrame'-signal with the image as argument
52                 emit newFrame(frame);
53                 //check if execution should be stopped
54                 if(m_stopExecution){
55                     m_mutex.unlock();
56                     return;
57                 }
58                 //send thread to sleep and wait for the next call of grabFrame() to wake
59                 //up again. While in sleep-mode the mutex is unlocked, by the wait-
60                 //condition.
61                 m_waitCondition.wait(&m_mutex);
62                 //unlock mutex again
63                 m_mutex.unlock();
64             }
65         }
66     }else{
67         //an error ocured during initialization , so emit 'cameraError'-signal
68         emit cameraError();
69     }
70 }

```

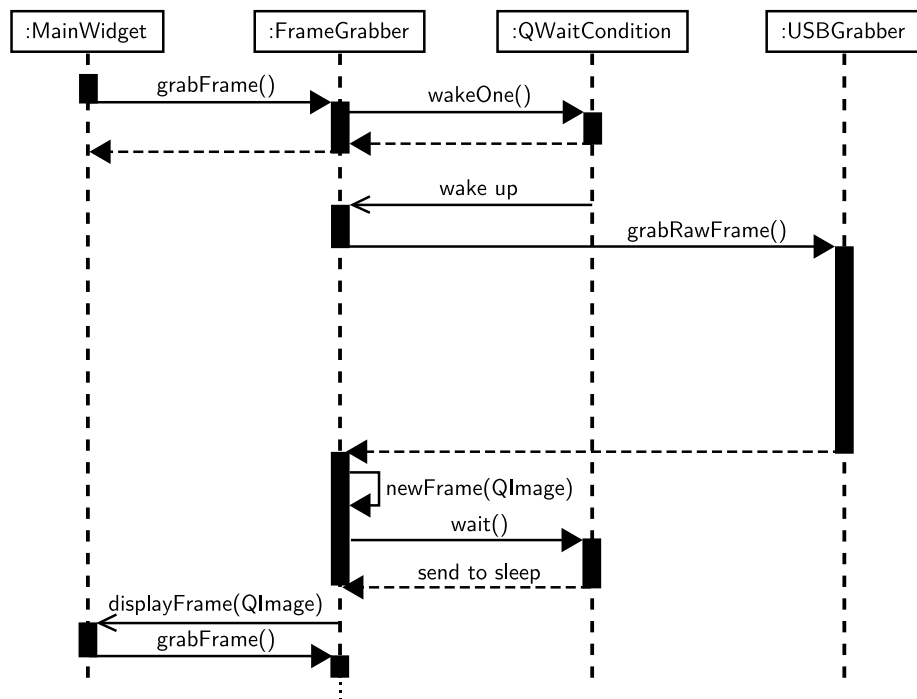


Bild 5.3: Sequenzdiagramm zum Ablauf der Bildübertragung

der sich wiederholenden Bildübertragung ist in dem zu UML 2.0<sup>12</sup>[Amb05] konformen Sequenzdiagramm in Abbildung 5.3 dargestellt.

Die Anforderung der Sensordaten erfolgt nach dem gleichen Prinzip. Die zugehörigen Threads wurden in den Klassen `InfraRedDetector` und `UltraSonicDetector` implementiert. Der einzige Unterschied liegt in der erneuten Anforderung der Sensordaten. Während das nächste Kamerabild sofort nach dem Empfang des letzten Bildes angefordert wird, erfolgt die Anforderung der nächsten Sensordaten jeweils nach einer Pause von 200 ms. Deshalb wurden die zu `grabFrame` analogen Methoden dieser Klassen als Slots implementiert, wodurch sie mit der Methode `QTimer::singleShot` zeitversetzt ausgeführt werden können. Dadurch wird die Auslastung der Applikation deutlich reduziert.

In der Klasse `MainWidget` ist, wie bereits erwähnt, das Haupt-Widget implementiert. Im

<sup>12</sup>[http://www.omg.org/technology/documents/modeling\\_spec\\_catalog.htm#UML](http://www.omg.org/technology/documents/modeling_spec_catalog.htm#UML)

Tabelle 5.10: Shortcuts von MiniBotGUI

Taste	Funktion
↑	Vorwärtsfahrt
↓	Rückwärtsfahrt
←	Linksdrehung
→	Rechtsdrehung
Ende	Anhalten der Bewegung
i	Bewegungsmodus Umschalten
+	Geschwindigkeits-Level erhöhen
-	Geschwindigkeits-Level erniedrigen

Konstruktor wird der Inhalt dieses Haupt-Widgets durch Aufruf von `setupWidget()` erzeugt. Hier werden die Sub-Widgets angelegt und konfiguriert. Anschließend werden die Verbindungen zwischen Signalen und Slots durch die Methode `initConnections()` hergestellt. Nach erfolgreicher Initialisierung des `RoboControl`-Objekts, werden dann die ersten Sensordaten und Kamerabilder angefordert, wodurch die Informationsübermittlung zwischen den Threads in Gang gesetzt wird.

Die Applikation kann über diverse Tasten gesteuert werden. Tabelle 5.10 listet die zur Verfügung stehenden Shortcuts mit zugehöriger Funktion auf.



# Kapitel 6

## Zusammenfassung

Mit den beiden MiniBots stehen zwei mobile Roboter mit einer umfangreichen Ausstattung zur Verfügung. Das verwendete Barebone-Motherboard stellt ausreichend Rechenleistung bereit, um die von der angeschlossenen Kamera aufgenommenen Bilder in späteren Projekten verarbeiten zu können. Die angeschlossenen Sensoren bieten Informationen über die Beschaffenheit der direkten Umgebung des MiniBots. Weitere Sensoren können ohne großen Aufwand hinzugefügt werden, da genügend freie Ports und Schnittstellen existieren, um die Roboter zu erweitern.

Zur Ansteuerung des MiniBots wurde die Klasse `RoboControl` implementiert, die eine komfortable Steuerung des Roboters ermöglicht. Hierbei kann der MiniBot durch Aufruf von Funktionen gesteuert werden, ohne auf die technischen und hardware-spezifischen Besonderheiten achten zu müssen. Die Klasse `USBGrabber`, die ebenfalls eine leicht zu bedienende Schnittstelle bietet, übernimmt das Auslesen der Bilder. Darüberhinaus wird durch die Bereitstellung von `SpatialDomainImages` eine direkte Anbindung an PUMA zur Weiterverarbeitung möglich.

Alle verwendeten Klassen wurden in den zugehörigen Tools benutzt, wodurch, neben der Durchführung von Tests, auch die Anwendung der Klassen demonstriert wird. Die `MiniBotGUI`-Applikation stellt eine Zusammenfassung der zur Verfügung stehenden Steuerungssoftware dar. Sie ermöglicht die Steuerung des MiniBots und visualisiert Sensordaten und Kamerabilder in Echtzeit.

Als weitere Schritte können verschiedene Eigenschaften der Roboter noch verbessert werden: Die Implementierung eines Regelkreises auf dem Mikrocontroller, der die Geschwindigkeit beider Motoren auf dem gleichen Level hält, wäre wünschenswert. Darüberhinaus könnte die Federung der Roboter verbessert werden, da diese nur für das ursprüngliche Gewicht ausgelegt war, das im jetzigen Ausbauzustand jedoch deutlich überschritten wird. Um die mögliche Fahrzeit zu erhöhen, könnten die verwendeten Bleiakkus durch Hochleistungsakkus ersetzt werden. Außerdem wäre das Anbringen einer Abdeckung, um das noch freiliegende Barebone-Motherboard zu schützen, sinnvoll. Weitere Sensoren könnten eine umfassendere Hinderniserkennung ermöglichen und die Installation einer Funknetzwerkarte wäre vorteilhaft, um den Roboter von einem Remote-Rechner aus steuern zu können. Hierdurch würde das lästige Anschließen von Monitor, Tastatur, etc. am Roboter entfallen.

Da wir ein sehr verbreitetes RC-Modell als Basis für unseren Roboter gewählt haben, sind auf verschiedenen Fanseiten und Foren zu diesem Modell Tipps und Tricks, z.B. zur Verbesserung des Fahrgestells oder Veränderung der Getriebeuntersetzung zu finden. Des Weiteren wird in einigen Modellbaushops auch noch diverses Umbaumaterial angeboten. Die folgenden Links stellen eine kleine Auswahl dieser Seiten dar:

- [http://www.panzer-team.de/heng\\_long\\_tiger.htm](http://www.panzer-team.de/heng_long_tiger.htm)
- [http://www.razyboard.com/system/user\\_Heng\\_long\\_Panzer\\_Forum.html](http://www.razyboard.com/system/user_Heng_long_Panzer_Forum.html)
- <http://www.rc-mm.de/wbb2/hmportal.php>
- [http://www.axels-modellbau-shop.de/katalog/116-Militaer/Tiger-I-Tamiya-Heng-Long:::1\\_2.html](http://www.axels-modellbau-shop.de/katalog/116-Militaer/Tiger-I-Tamiya-Heng-Long:::1_2.html)
- [http://www.tankzone.co.uk/cart/tz\\_henglong.htm](http://www.tankzone.co.uk/cart/tz_henglong.htm)



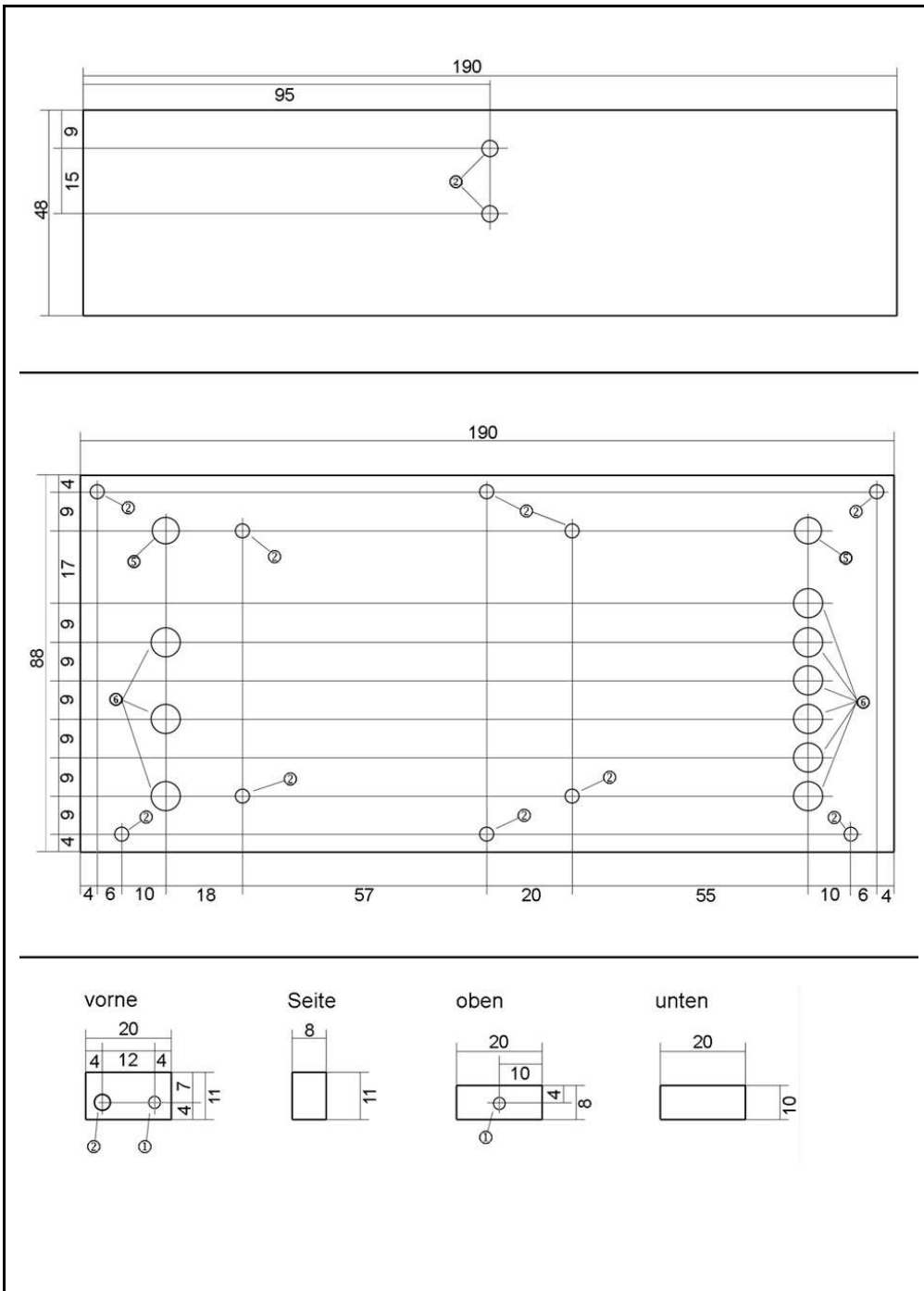
# Anhang A

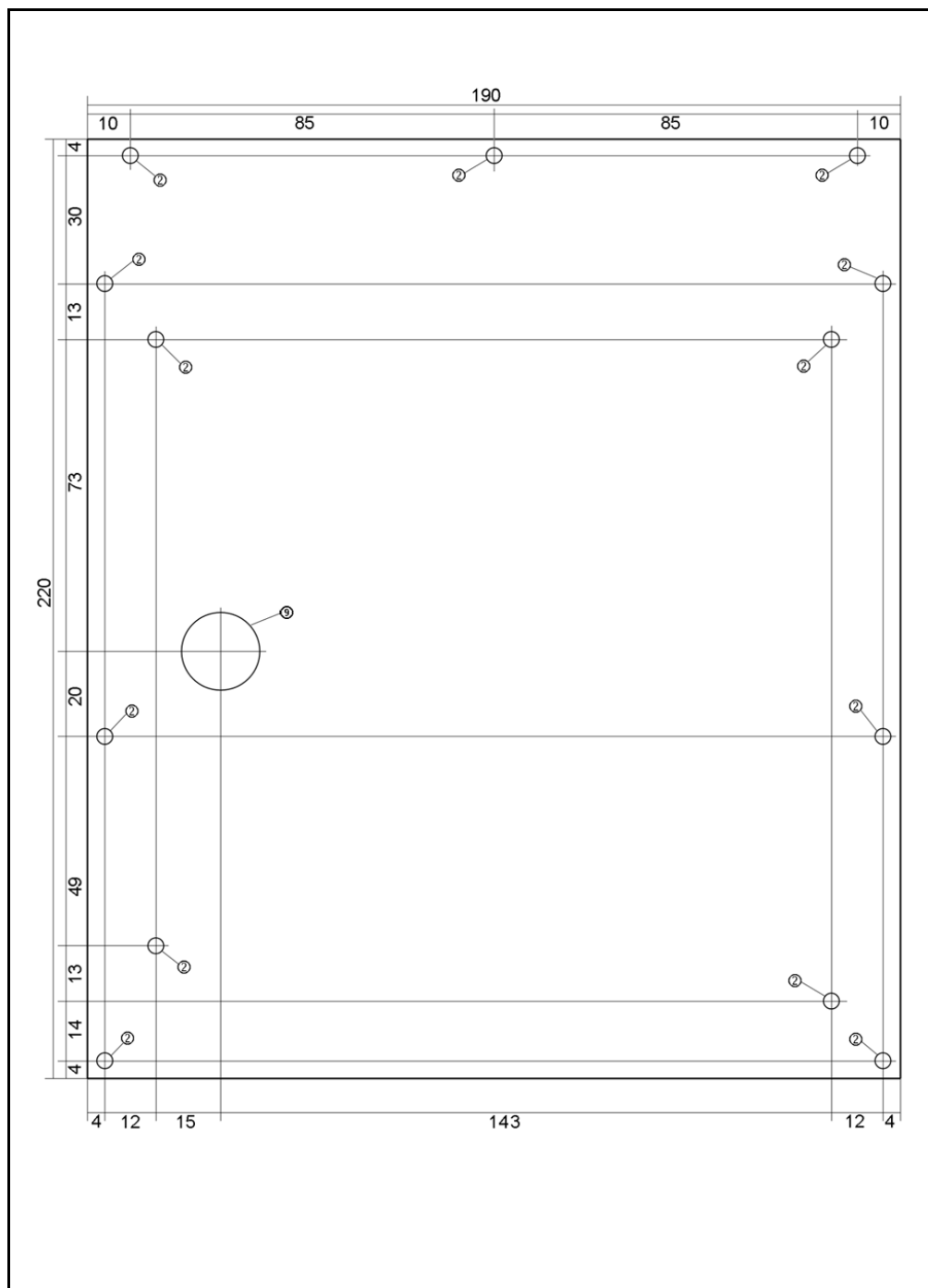
## Konstruktionszeichnungen

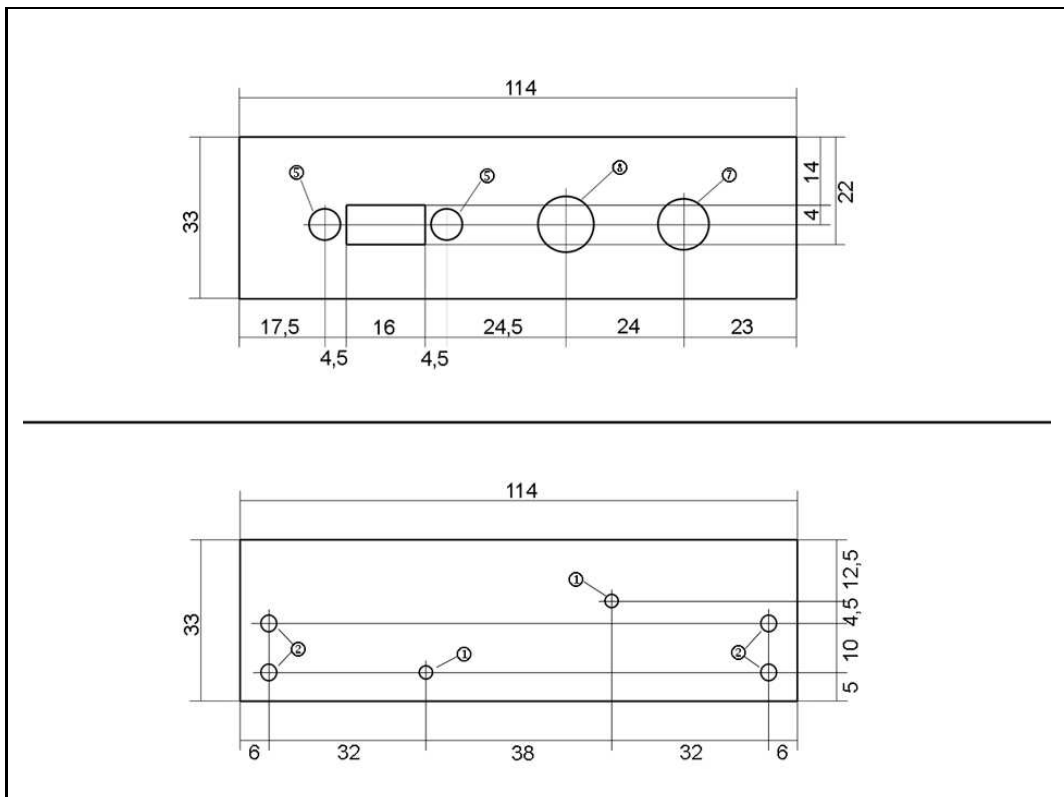
Alle Maße der Konstruktionszeichnungen sind in Millimeter gehalten. Die Bohrlöcher entsprechen den folgenden Größen:

- (1) 2,6 mm
- (2) 3,5 mm
- (3) 4 mm
- (4) 5 mm
- (5) 6 mm
- (6) 6,5 mm
- (7) 10 mm
- (8) 11 mm
- (9) 18 mm
- (10) 35 mm

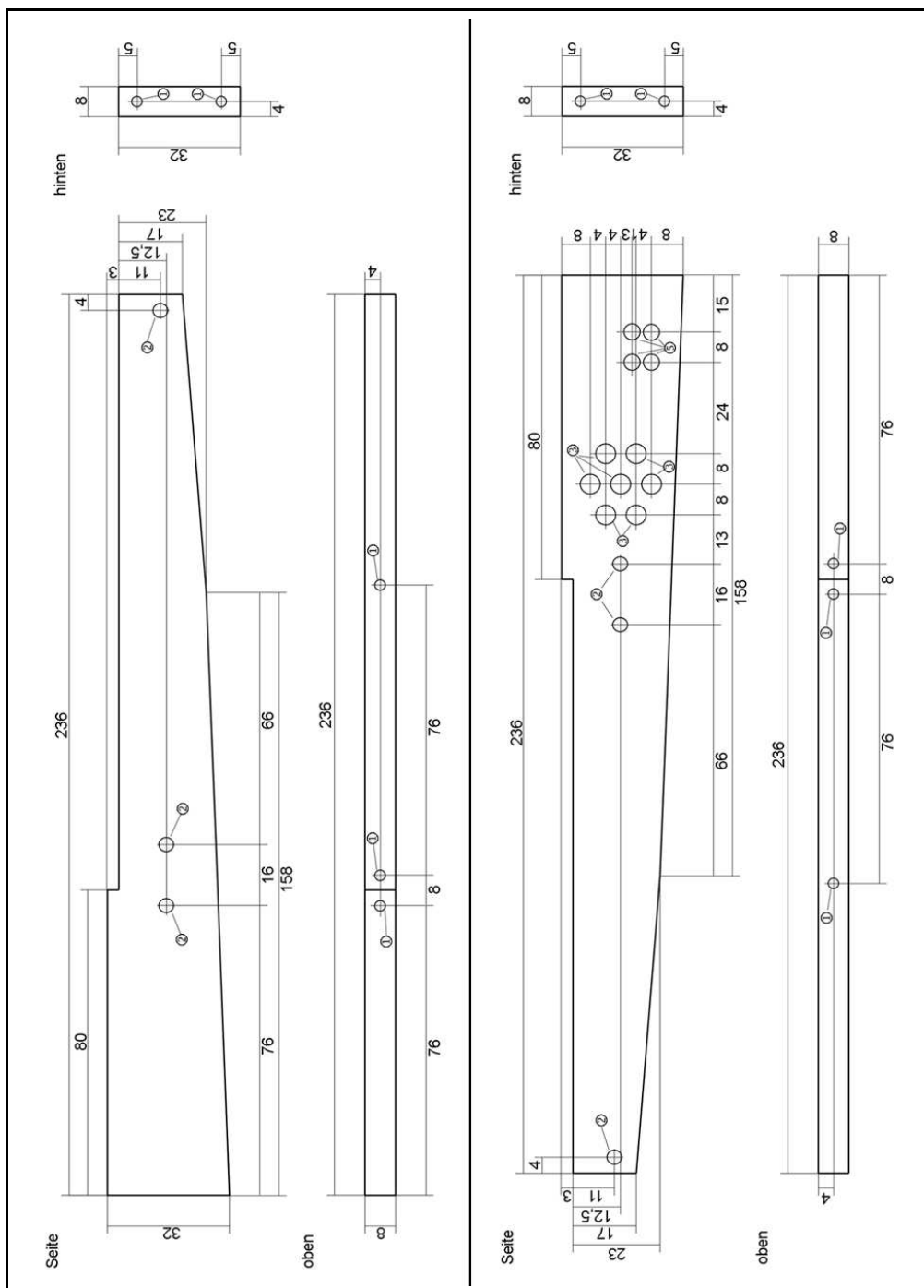
**Vorderer (oben) und hinterer Deckel (mitte), Deckelhalter (unten)**

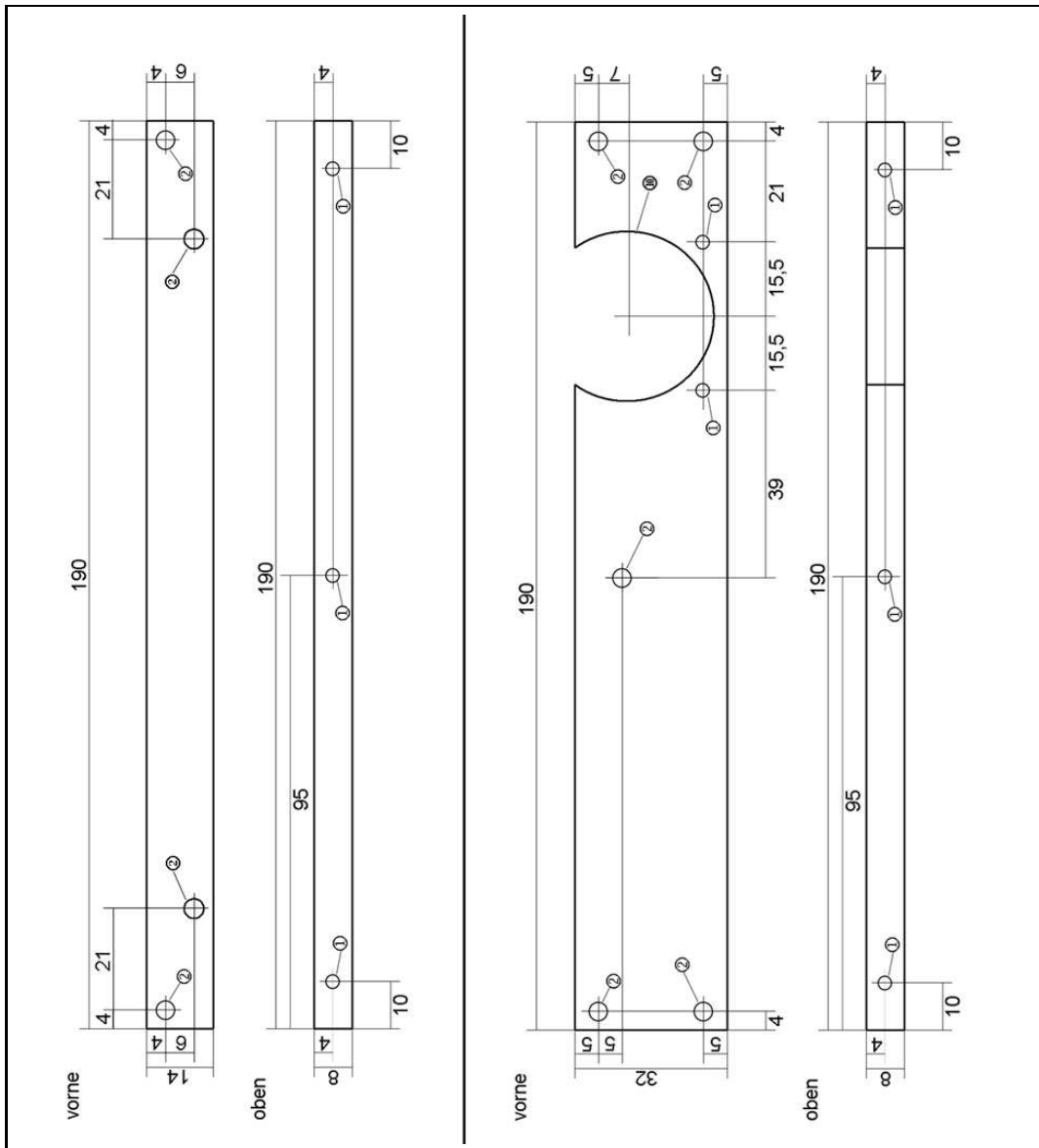


**Mittlerer Deckel**

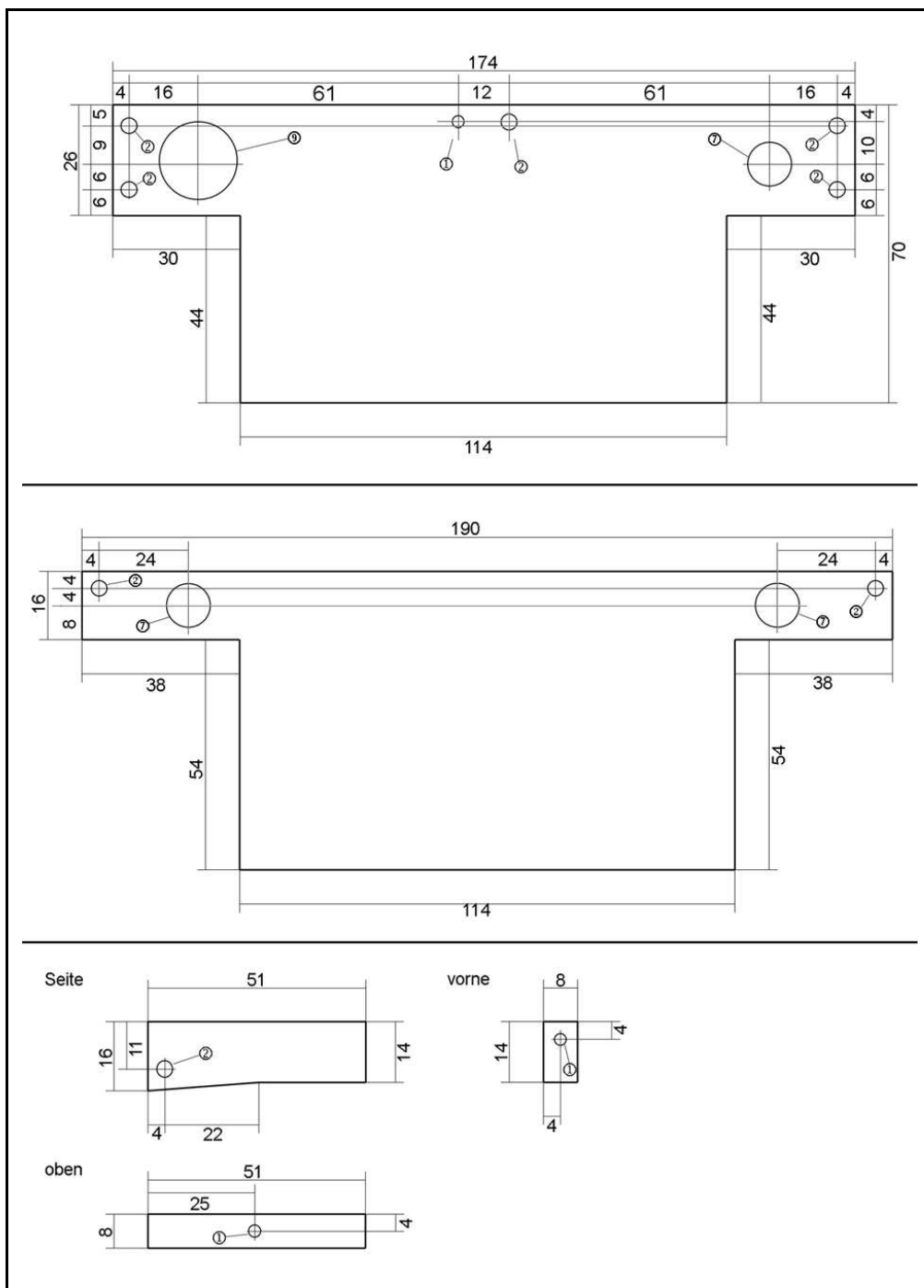
**Untere Rückwand (oben), Ultraschallsensorhalter (unten)**

Rechtes (links) und linkes Seitenteil (rechts)



**Vorderwand (links) und obere Rückwand (rechts)**

**Hintere (oben) und vordere Zwischenwand (mitte), vordere Seitenwände (unten)**



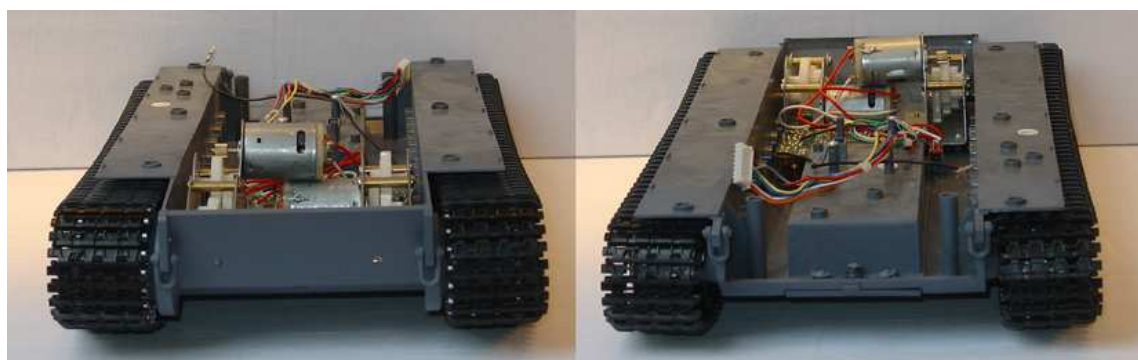




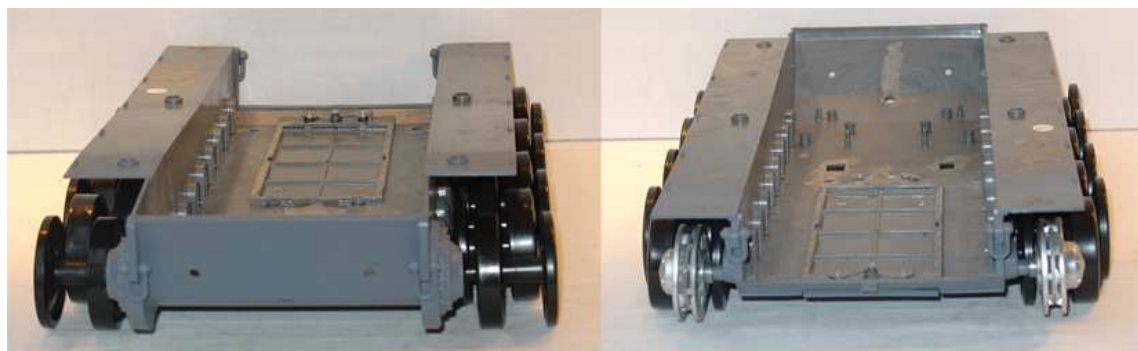
# Anhang B

## Ausgewählte Bilder des Aufbaus

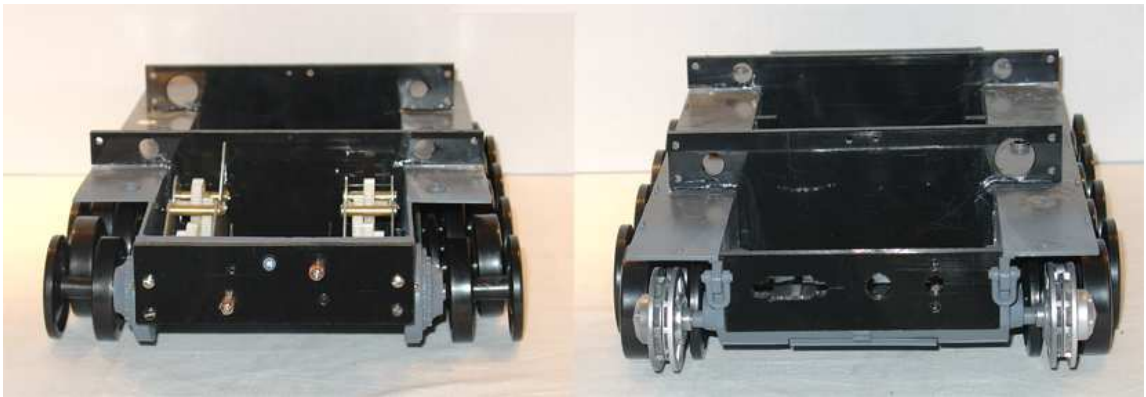
Hier sehen Sie eine kleine Bilddokumentation über den Aufbau des MiniBots:



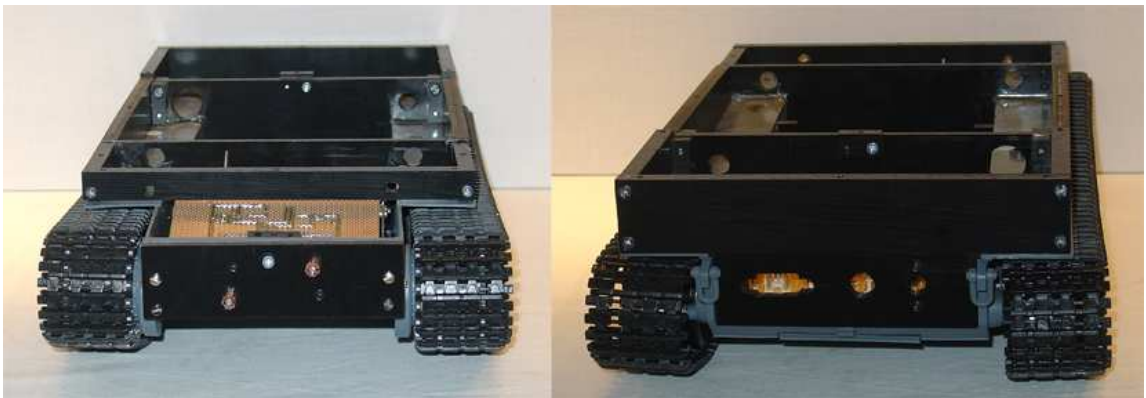
Bodenwanne des Panzermodells im Auslieferungszustand



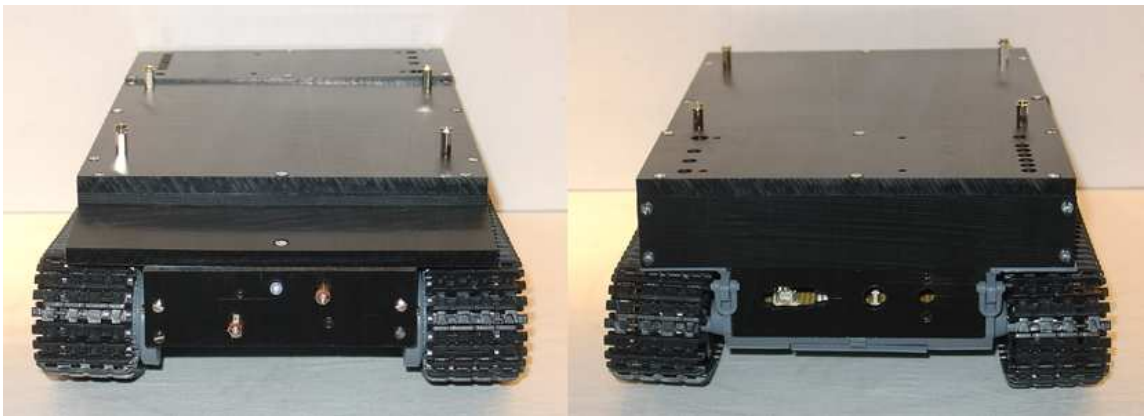
Leergeräumte Bodenwanne vor dem Neuaufbau



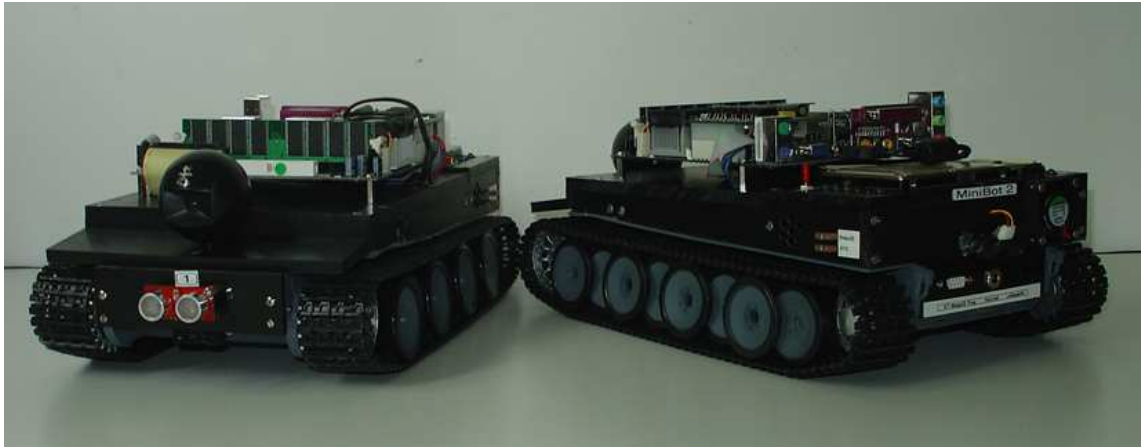
Bodenwanne nach Einbau der Zwischenwände, des Ultraschallsensorhalters und der unteren Rückwand



Hier sind bereits die Seitenwände, die Signalplatine und die Grundplatine verbaut



Dieses Bild zeigt die endgültige Karosserie des Roboters



Der fertige MiniBot

Weiter Bilder über den Aufbau sind auf der beiliegenden CD zu finden.



# Anhang C

## Materiallisten und Technische Daten

### Materiallisten

In diesem Abschnitt werden alle Bauteile aufgelistet, die für den Bau eines Roboters benötigt werden.

#### EmbedIt Mikrocontrollertechnik

**Bezugsadresse:**

EmbedIt Mikrocontrollertechnik

Markus Burrer

Kiefernweg 7

36100 Petersberg

*<http://www.embedit.de>*

ANZAHL	BEZEICHNUNG	VERWENDUNG
1	Atmega32-16PU	Mikrocontroller
1	Robo32 Board	Mikrocontroller-Board

## Reichelt

### Bezugsadresse:

Reichelt Elektronik e.Kfr.

Elektronikring 1

26452 Sande

<http://www.reichelt.de>

### Signalplatine

ANZAHL	BEZEICHNUNG	VERWENDUNG
2	1/4W 160	160 Ohm Widerstand
2	1/4W 560	560 Ohm Widerstand
2	CNY 36	Gabellichtschranken
1	74HC 14	Schmitt-Trigger
1	GS 14	14-pol. IC-Sockel

### Programmieradapter

ANZAHL	BEZEICHNUNG	VERWENDUNG
2	1/4W 1,0K	1 kOhm Widerstand
2	1/4W 4,7K	4.7 kOhm Widerstand
1	1/4W 10K	10 kOhm Widerstand
1	1/4W 12K	12 kOhm Widerstand
2	ZD 5,1	5.1V Z-Diode
1	KERKO-500 560P	560pF Kondensator
1	BC547 C	Transistor
1	D-SUB BU 09	D-SUB-Buchse
1	PS 25/8G WS	8-pol. Steckverbinder
1	PRBL 10D	10-pol. Buchsenleiste
1	PFL 10	10-pol. Pfostenbuchse
1	LPV 10	10-pol. Pfostenstecker

## Spannungsüberwachung

ANZAHL	BEZEICHNUNG	VERWENDUNG
3	1/4W 130	130 Ohm Widerstand
5	1/4W 360	360 Ohm Widerstand
1	1/4W 470	470 Ohm Widerstand
1	1/4W 3,6K	3.6 kOhm Widerstand
2	1/4W 4,7K	4.7 kOhm Widerstand
1	1/4W 6,2K	6.2 kOhm Widerstand
1	LM 324 D SMD	Operationsverstärker
1	GS 14	14-pol. IC-Sockel
2	LED 5MM ST RT	LED rot
1	LED 5MM ST GE	LED gelb
3	LED 5MM ST GN	LED grün
6	MONTAGERING 5MM	LED Fassung
1	PS 25/2G WS	2-pol. Steckverbinder
1	PRBL 10D	10-pol. Buchsenleiste
1	LPV 10	10-pol. Pfostenstecker

## PC-Teile

ANZAHL	BEZEICHNUNG	VERWENDUNG
1	VIA EP M-10000	Mini-ITX Motherboard 1000MHz
1	DDR-PC333 512MB	Arbeitsspeicher
1	SAMSUNG MP0402H	Festplatte
1	LOGITECH QCC STX	Webcam
1	LED 5MM ST GN	LED grün
2	LED 5MM ST BL	LED blau
3	MONTAGERING 5MM	LED Fassung
1	T 113A GN	Taster grün
1	T 113A RT	Taster rot
1	ATA 44-40A	Festplattenadapter

**Zusätzliches Material**

ANZAHL	BEZEICHNUNG	VERWENDUNG
1	LCR-12V 7,2P-1	7,2V Blei-Gel Akku
1	HEBLM 25	Hohlstecker-Buchse
1	KARTENHALTER	Platinenhalter
1	H25PR050	Lochrasterplatine
1	H25PR100	Lochrasterplatine
1	AWG 28-10G 3M	10-pol. Flachbandkabel
5	PS 25/3G WS	3-pol. Steckverbinder
2	PS 25/2G WS	2-pol. Steckverbinder
1	MS 169	2-pol. Schalter
2	FK1 5A	Flachsicherungen
2	DA 10MM	Abstandshalter
2	DI 10MM	Abstandshalter
4	DI 25MM	Abstandshalter
4	DI 15MM	Abstandshalter
1	LÜFTER-4010 5V	Lüfter

Des weiteren wurden noch Lötstifte, Steckschuhe, Silberdraht, Schrumpfschlauch und Kabel benötigt.

**Micromaus-Systemtechnik****Bezugsadresse:**

Micromaus-Systemtechnik  
 Feuerhausstraße 13  
 94356 Kirchroth  
<http://www.micromaus.de>

ANZAHL	BEZEICHNUNG	VERWENDUNG
2	GP2D120	Infrarotsensor
2	Taktscheibe 120-Impulse	Radencoderscheiben



## RC Model-Universe

### Bezugsadresse:

RC Model-Universe

Hägewiesen 109

30657 Hannover

<http://www.rc-model-universe.de>

ANZAHL	BEZEICHNUNG	VERWENDUNG
1	Tiger-Panzer	Fahrgestell

## Roboterteile

### Bezugsadresse:

EDV-Beratung & Robotertechnik Jörg Pohl

Baluschekstr. 9

01159 Dresden

<http://www.roboter-teile.de>

ANZAHL	BEZEICHNUNG	VERWENDUNG
1	SRF08	Ultraschallsensor

## Visual-Data

### Bezugsadresse:

Visual-Data & MCOM Visual-Data GmbH

Holbeinstr.6

50733 Köln

<http://www.visual-data.de>

ANZAHL	BEZEICHNUNG	VERWENDUNG
1	PW120	Mainboardnetzteil

## Hinweis

Alle Bestellformulare befinden sich auf der CD unter `orders/`. Die Bestellung bei Reichelt lief über das Webformular der AGAS, zu finden unter:  
<http://serres.uni-koblenz.de/aswiki/index.php/Bestellungen>.

## Technische Daten

In den folgenden Tabellen sehen Sie die technischen Daten der verwendeten Bauteile.

### Sensoren

#### GP2D120

Bezeichnung:	GP2D120
Hersteller:	Sharp
Typ:	Infrarot-Sensor
Betriebsspannung:	5 V
Max. Stromaufnahme:	0,050 A
Abtastwinkel:	ca. 2°
Reichweite:	4cm - 30cm
Rückgabewert:	Analoges Spannungssignal
Weitere Informationen:	<a href="#">datasheet/gp2d120.pdf</a>

**SRF08**

Bezeichnung:	SRF 08
Hersteller:	Devantech
Typ:	Ultraschall-Sensor
Betriebsspannung:	5 V
Max. Stromaufnahme:	0,015 A
Anschluss:	I <sup>2</sup> C
Reichweite:	3cm - 6m
Abtastwinkel:	45°
Weitere Informationen:	<a href="#">datasheet/srf08.pdf</a>

**Motoren**

Bezeichnung:	Speed 280 FG3
Hersteller:	Graupner
Typ:	Elektromotoren
Nennspannung:	6 V
Betriebsspannung:::	4,5V - 7.2V
Max. Stromaufnahme:	1,58A
Laufriichtung:	R und L
Getriebe:	3:1
Weitere Informationen:	<a href="http://www.graupner.de">http :// www.graupner.de</a>

**Kamera**

Bezeichnung:	QuickCam Communicate STX
Hersteller:	Logitech
Typ:	Webcam
Anschluss:	USB 2.0
Auflösung:	640 x 480
Zusatzausstattung:	Mikrofon
Weitere Informationen:	<a href="http://www.logitech.com">http :// www.logitech.com</a>

**PC**

Mainboard:	VIA EPIA M10000
Prozessor:	VIA C3, 1000 MHz
Grafikkarte:	interne VIA Unichrome AGP
Festplatte:	40 GB
Arbeitsspeicher:	512 MB
externe Schnittstellen:	RJ45, 2*USB 2.0, Parallelport, RS232, RCA Port (SPDIF oder TV out), S-Video, VGA, 2* PS/2
interne Schnittstellen:	2*USB 2.0, 2*IEEE 1394, RS232, SMBUS(I <sup>2</sup> C), FIR, CIR
Weitere Informationen:	<i><a href="http://www.via.com.tw/en/products/mainboards/mini_itx/epia_m">http :// www.via.com.tw/en/products/mainboards / mini_itx / epia_m</a></i>

# Anhang D

## Assemblerquellcode des Mikrocontrollers

Listing D.1: prog/MiniBot/MiniBot.asm

```
1 ;*****
2 ;*
3 ;*   MiniBot.asm
4 ;*
5 ;*****
6
7 .include "m32def.inc"
8 .equ CLOCK = 14745600
9 .include "Protocol.asm"
10 .include "Actions.asm"
11 .include "Registers.asm"
12
13 ;interrupt-vector
14 .org 0x000                ;start of execution after reset
15     rjmp RESET
16 .org INT0addr            ;interrupt-address for external interrupt 0
17     rjmp INT_0
18 .org INT1addr            ;interrupt-address for external interrupt 1
19     rjmp INT_1
20 .org URXCaddr            ;interrupt-address for URXC interrupt
21     rjmp INT_RS232
22
23 .org INT_VECTORS_SIZE
24
25 ;The reset routine is called on every reset of the microcontroller.
```

```

26 RESET:
27     ldi  TEMPL, LOW(RAMEND)           ;initialize stackpointer
28     ldi  TEMPH, HIGH(RAMEND)
29     out  SPL,  TEMPL
30     out  SPH,  TEMPH
31
32     rcall SLEEP_INIT                 ;initialize sleep-mode
33     rcall LED_INIT                   ;initialize LEDs
34     rcall RS232_INIT                 ;initialize RS232-interface
35     rcall ADC_INIT                   ;initialize ADC-unit
36     rcall PWM_INIT                   ;initialize PWM-unit
37     rcall I2C_INIT                   ;initialize I2C-interface
38     rcall INT_INIT                   ;initialize external interrupts
39
40     ldi  TEMP1, ACTION_NONE          ;set initial state
41     mov  ACTION_STATE, TEMP1
42     sei                                     ;enable interrupts
43 SLEEP_LOOP:
44     sleep                               ;put mc in idle-mode
45     rjmp SLEEP_LOOP
46
47 .include "RS232.asm"
48 .include "ADC.asm"
49 .include "PWM.asm"
50 .include "I2C.asm"
51
52 ;This interrupt routine is executed when a byte arrives via RS232-interface
53 ;and interrupt URXC is triggered.
54 INT_RS232:
55     push TEMP1                       ;save temporary and status-registers
56     push TEMP2
57     push TEMP3
58     push TEMP4
59     push TEMPH
60     push TEMPL
61     in  TEMP1, SREG
62     push TEMP1
63
64     cbi UCSRB, RXCIE                 ;deactivate RS232-interrupt
65     sei                               ;reactivate other interrupts
66
67     in  TEMP1, UDR                    ;read byte that arrived from RS232-interface
68     cpi TEMP1, REQUEST_TEST          ;test what kind of request has been sent
69     breq BRANCH_TEST
70     cpi TEMP1, REQUEST_ADC
71     breq BRANCH_ADC
72     cpi TEMP1, REQUEST_PWM_SET_VELOCITY
73     breq BRANCH_PWM_SET_VELOCITY

```

```

74  cpi TEMP1, REQUEST_PWM_START_ACTION
75  breq BRANCH_PWM_START_ACTION
76  cpi TEMP1, REQUEST_PWM_START_ACTION_INTERVAL
77  breq BRANCH_PWM_START_ACTION_INTERVAL
78  cpi TEMP1, REQUEST_PWM_STOP_ACTION
79  breq BRANCH_PWM_STOP_ACTION
80  cpi TEMP1, REQUEST_I2C_START_MEASUREMENT
81  breq BRANCH_I2C_START_MEASUREMENT
82  cpi TEMP1, REQUEST_I2C_GET_DISTANCE
83  breq BRANCH_I2C_GET_DISTANCE
84  cpi TEMP1, REQUEST_GET_STATE
85  breq BRANCH_GET_STATE
86  ; ...
87  rjmp BRANCH_UNKNOWN           ;an unknown request has been sent
88  BRANCH_TEST:                 ;branches for the different requests
89      call FUNCTION_TEST
90      rjmp INT_RS232_END
91  BRANCH_ADC:
92      call FUNCTION_ADC
93      rjmp INT_RS232_END
94  BRANCH_PWM_SET_VELOCITY:
95      call FUNCTION_PWM_SET_VELOCITY
96      rjmp INT_RS232_END
97  BRANCH_PWM_START_ACTION:
98      call FUNCTION_PWM_START_ACTION
99      rjmp INT_RS232_END
100 BRANCH_PWM_START_ACTION_INTERVAL:
101      call FUNCTION_PWM_START_ACTION_INTERVAL
102      rjmp INT_RS232_END
103 BRANCH_PWM_STOP_ACTION:
104      call FUNCTION_PWM_STOP_ACTION
105      rjmp INT_RS232_END
106 BRANCH_I2C_START_MEASUREMENT:
107      call FUNCTION_I2C_START_MEASUREMENT
108      rjmp INT_RS232_END
109 BRANCH_I2C_GET_DISTANCE:
110      call FUNCTION_I2C_GET_DISTANCE
111      rjmp INT_RS232_END
112 BRANCH_GET_STATE:
113      call FUNCTION_GET_STATE
114      rjmp INT_RS232_END
115  ; ...
116 BRANCH_UNKNOWN:
117      call FUNCTION_UNKNOWN
118 INT_RS232_END:
119
120  cli                           ;disable all interrupts
121  sbi UCSRB, RXCIE             ;reenable RS232-interrupt

```

```

122
123     pop TEMP1                               ;restore temporary and status-registers
124     out SREG, TEMP1
125     pop TEMPL
126     pop TEMPH
127     pop TEMP4
128     pop TEMP3
129     pop TEMP2
130     pop TEMP1
131     reti
132
133     ;This interrupt routine is executed on every rising edge on pin D2
134     ;when external interrupt 0 is triggered.
135     INT_0:
136         push TEMP1                           ;save temporary and status registers
137         in TEMP1, SREG
138         push TEMP1
139
140         sbis PORTB, PB7                       ;toggle state of LED on pin B7
141         rjmp INT_0_ON
142         cbi PORTB, PB7
143         rjmp INT_0_NEXT
144     INT_0_ON:
145         sbi PORTB, PB7
146     INT_0_NEXT:
147
148         sbiw INTERVAL_COUNTER_H:INTERVAL_COUNTER_L, 1 ;decrease interval
149         brne INT_0_END                       ;check if interval is zero
150         in TEMP1, DDRD                        ;stop engines
151         andi TEMP1, 0xCF
152         out DDRD, TEMP1
153         in TEMP1, GICR                        ;disable external interrupts
154         andi TEMP1, ~((1<<INT0)|(1<<INT1))
155         out GICR, TEMP1
156         ldi TEMP1, ACTION_NONE                ;set action state
157         mov ACTION_STATE, TEMP1
158
159     INT_0_END:
160         pop TEMP1                             ;restore temporary and status registers
161         out SREG, TEMP1
162         pop TEMP1
163     reti
164
165     ;This interrupt routine is executed on every rising edge on pin D3
166     ;when external interrupt 1 is triggered.
167     INT_1:
168         push TEMP1                           ;save temporary and status registers
169         in TEMP1, SREG

```



```

170 push TEMP1
171
172 sbis PORTB, PB5 ;toggle state of LED on pin B5
173 rjmp INT_1_ON
174 cbi PORTB, PB5
175 rjmp INT_1_NEXT
176 INT_1_ON:
177 sbi PORTB, PB5
178 INT_1_NEXT:
179
180 sbiw INTERVAL_COUNTER_H:INTERVAL_COUNTER_L, 1 ;decrease interval
181 brne INT_1_END ;check if interval is zero
182 in TEMP1, DDRD ;stop engines
183 andi TEMP1, 0xCF
184 out DDRD, TEMP1
185 in TEMP1, GICR ;disable external interrupts
186 andi TEMP1, ~(1<<INT0)|(1<<INT1))
187 out GICR, TEMP1
188 ldi TEMP1, ACTION_NONE ;set action state
189 mov ACTION_STATE, TEMP1
190
191 INT_1_END:
192 pop TEMP1 ;restore temporary and status registers
193 out SREG, TEMP1
194 pop TEMP1
195 reti
196
197 ;This routine is for testing the RS232-interface when the client sends
198 ;REQUEST_TEST.
199 ;The byte that has been sent is increased and sent back to the client.
200 FUNCTION_TEST:
201 call RS232_RECEIVE_BYTE ;read the byte that has arrived
202 inc RS232_VALUE ;increase it
203 call RS232_SEND_BYTE ;send it back to the client
204 ret
205
206 ;This routine makes an A/D-conversion on the pins where the infrared-sensors
207 ;are attached and sends the digital values back to the client.
208 ;It is executed when the client sends REQUEST_ADC.
209 FUNCTION_ADC:
210 ldi TEMP1, RESPONSE_REQUEST_SUCCESSFUL ;send byte to indicate success
211 mov RS232_VALUE, TEMP1
212 call RS232_SEND_BYTE
213 ldi TEMP1, 0x01 ;load source of pin A1
214 mov ADC_SOURCE, TEMP1
215 call ADC_START ;do A/D-conversion on pin A1
216 mov RS232_VALUE, ADC_VALUE_H ;send high-byte
217 call RS232_SEND_BYTE

```

```

218 mov RS232_VALUE, ADC_VALUE_L           ;send low-byte
219 call RS232_SEND_BYTE
220 ldi TEMP1, 0x03                       ;load source of pin A2
221 mov ADC_SOURCE, TEMP1
222 call ADC_START                         ;do A/D-conversion
223 mov RS232_VALUE, ADC_VALUE_H         ;send high-byte
224 call RS232_SEND_BYTE
225 mov RS232_VALUE, ADC_VALUE_L         ;send low-byte
226 call RS232_SEND_BYTE
227 ret
228
229 ;This routine is executed when the velocities of the engines should be
230 ;changed via REQUEST_PWM_SET_VELOCITY.
231 FUNCTION_PWM_SET_VELOCITY:
232 call RS232_RECEIVE_BYTE                ;receive left velocity
233 mov PWM_LEFT_VELOCITY, RS232_VALUE    ;save left velocity
234 call RS232_RECEIVE_BYTE                ;receive right velocity
235 mov PWM_RIGHT_VELOCITY, RS232_VALUE   ;save right velocity
236 rcall PWM_SET_VELOCITY                 ;set velocities
237 ldi TEMP1, RESPONSE_REQUEST_SUCCESSFUL ;send byte to indicate success
238 mov RS232_VALUE, TEMP1
239 call RS232_SEND_BYTE
240 ret
241
242 ;This routine is executed when a permanent action should be started
243 ;via REQUEST_START_ACTION.
244 FUNCTION_PWM_START_ACTION:
245 in TEMP1, DDRD                        ;deactivate engines
246 andi TEMP1, 0xCF
247 out DDRD, TEMP1
248 call RS232_RECEIVE_BYTE                ;receive action-code
249 mov TEMP1, RS232_VALUE
250 cpi TEMP1, FORWARD
251 breq PWM_START_ACTION_FORWARD         ;forward movement requested
252 cpi TEMP1, BACKWARD
253 breq PWM_START_ACTION_BACKWARD       ;backward movement requested
254 cpi TEMP1, LEFT
255 breq PWM_START_ACTION_LEFT           ;left turn requested
256 cpi TEMP1, RIGHT
257 breq PWM_START_ACTION_RIGHT         ;right turn requested
258 ldi TEMP1, RESPONSE_ACTION_UNKNOWN   ;unknown action received
259 mov RS232_VALUE, TEMP1               ;send RESPONSE_ACTION_UNKNOWN to client
260 call RS232_SEND_BYTE
261 rjmp PWM_START_ACTION_END
262 PWM_START_ACTION_FORWARD:
263 call PWM_FORWARD                      ;do forward movement
264 rjmp PWM_START_ACTION_MOVING
265 PWM_START_ACTION_BACKWARD:

```

```

266     call PWM_BACKWARD           ;do backward movement
267     rjmp PWM_START_ACTION_MOVING
268 PWM_START_ACTION_LEFT:
269     call PWM_LEFT               ;do left turn
270     rjmp PWM_START_ACTION_TURNING
271 PWM_START_ACTION_RIGHT:
272     call PWM_RIGHT              ;do right turn
273     rjmp PWM_START_ACTION_TURNING
274
275 PWM_START_ACTION_MOVING:        ;set state to ACTION_MOVING
276     ldi TEMP1, ACTION_MOVING
277     mov ACTION_STATE, TEMP1
278     rjmp PWM_START_ACTION_SUCCESSFUL
279 PWM_START_ACTION_TURNING:      ;set state to ACTION_TURNING
280     ldi TEMP1, ACTION_TURNING
281     mov ACTION_STATE, TEMP1
282
283 PWM_START_ACTION_SUCCESSFUL:
284     ldi TEMP1, RESPONSE_REQUEST_SUCCESSFUL ;send RESPONSE_REQUEST_SUCCESSFUL
285     mov RS232_VALUE, TEMP1             ;back to client
286     call RS232_SEND_BYTE
287 PWM_START_ACTION_END:
288     in TEMP1, DDRD                   ;reactivate engines
289     ori TEMP1, 0x30
290     out DDRD, TEMP1
291 ret
292
293 ;This routine is executed when an interval action should be started
294 ;via REQUEST_START_ACTION_INTERVAL.
295 FUNCTION_PWM_START_ACTION_INTERVAL:
296     in TEMP1, DDRD                   ;deactivate engines
297     andi TEMP1, 0xCF
298     out DDRD, TEMP1
299     call RS232_RECEIVE_BYTE           ;receive action-code
300     mov TEMP1, RS232_VALUE
301     call RS232_RECEIVE_BYTE           ;receive high-byte of interval
302     mov INTERVAL_COUNTER_H, RS232_VALUE ;save high-byte of interval
303     call RS232_RECEIVE_BYTE           ;receive low-byte of interval
304     mov INTERVAL_COUNTER_L, RS232_VALUE ;save low-byte of interval
305     cpi TEMP1, FORWARD
306     breq PWM_START_ACTION_FORWARD_INTERVAL ;forward movement requested
307     cpi TEMP1, BACKWARD
308     breq PWM_START_ACTION_BACKWARD_INTERVAL ;backward movement requested
309     cpi TEMP1, LEFT
310     breq PWM_START_ACTION_LEFT_INTERVAL ;left turn requested
311     cpi TEMP1, RIGHT
312     breq PWM_START_ACTION_RIGHT_INTERVAL ;right turn requested
313     ldi TEMP1, RESPONSE_ACTION_UNKNOWN ;unknown action received

```

```

314 mov RS232_VALUE, TEMP1 ;send RESPONSE_ACTION_UNKNOWN to client
315 call RS232_SEND_BYTE
316 rjmp PWM_START_ACTION_INTERVAL_END
317 PWM_START_ACTION_FORWARD_INTERVAL:
318 call PWM_FORWARD ;do forward movement
319 rjmp PWM_START_ACTION_INTERVAL_MOVING
320 PWM_START_ACTION_BACKWARD_INTERVAL:
321 call PWM_BACKWARD ;do backward movement
322 rjmp PWM_START_ACTION_INTERVAL_MOVING
323 PWM_START_ACTION_LEFT_INTERVAL:
324 call PWM_LEFT ;do left turn
325 rjmp PWM_START_ACTION_INTERVAL_TURNING
326 PWM_START_ACTION_RIGHT_INTERVAL:
327 call PWM_RIGHT ;do right turn
328 rjmp PWM_START_ACTION_INTERVAL_TURNING
329
330 PWM_START_ACTION_INTERVAL_MOVING: ;set state to ACTION_MOVING_INTERVAL
331 ldi TEMP1, ACTION_MOVING_INTERVAL
332 mov ACTION_STATE, TEMP1
333 rjmp PWM_START_ACTION_INTERVAL_SUCCESSFUL
334 PWM_START_ACTION_INTERVAL_TURNING: ;set state to ACTION_TURNING_INTERVAL
335 ldi TEMP1, ACTION_TURNING_INTERVAL
336 mov ACTION_STATE, TEMP1
337
338 PWM_START_ACTION_INTERVAL_SUCCESSFUL: ;send RESPONSE_REQUEST_SUCCESSFUL
339 ldi TEMP1, RESPONSE_REQUEST_SUCCESSFUL ;back to client
340 mov RS232_VALUE, TEMP1
341 call RS232_SEND_BYTE
342 PWM_START_ACTION_INTERVAL_END:
343 in TEMP1, DDRD ;reactivate engines
344 ori TEMP1, 0x30
345 out DDRD, TEMP1
346 in TEMP1, GICR ;enable external interrupts
347 ori TEMP1, (1<<INT0)|(1<<INT1)
348 out GICR, TEMP1
349 ret
350
351 ;This routine is executed when the robot should be stopped
352 ;via REQUEST_PWM_STOP_ACTION.
353 FUNCTION_PWM_STOP_ACTION:
354 in TEMP1, DDRD ;set data direction to input
355 andi TEMP1, 0xCF ;to stop the robot
356 out DDRD, TEMP1
357 ldi TEMP1, RESPONSE_REQUEST_SUCCESSFUL ;send RESPONSE_REQUEST_SUCCESSFUL
358 mov RS232_VALUE, TEMP1 ;back to client
359 call RS232_SEND_BYTE
360 PWM_STOP_ACTION_END:
361 ldi TEMP1, ACTION_NONE

```

```

362  mov ACTION_STATE, TEMP1
363  in TEMP1, GICR                                ;disable external interrupts
364  andi TEMP1, ~((1<<INT0)|(1<<INT1))
365  out GICR, TEMP1
366  ret
367
368 ;This routine is executed when the client requests for the robots
369 ;action state via REQUEST_GET_STATE.
370 FUNCTION_GET_STATE:
371  ldi TEMP1, RESPONSE_REQUEST_SUCCESSFUL        ;send RESPONSE_REQUEST_SUCCESSFUL
372  mov RS232_VALUE, TEMP1                       ;back to client
373  call RS232_SEND_BYTE
374  mov RS232_VALUE, ACTION_STATE                ;send action state to client
375  call RS232_SEND_BYTE
376  ret
377
378 ;This routine is executed when the client wants to initiate a distance-
379 ;measurement of the ultrasonic-sensor via REQUEST_I2C_START_MEASUREMENT.
380 FUNCTION_I2C_START_MEASUREMENT:
381  ldi TEMP1, 0xE0                              ;address of device
382  ldi TEMP2, 0x00                              ;address of command-register
383  ldi TEMP3, 0x51                              ;command-code for new measurement
384  mov I2C_ADDRESS, TEMP1                      ;load address of device
385  mov I2C_REGISTER, TEMP2                    ;load address of register
386  mov I2C_VALUE, TEMP3                       ;load command-code
387  rcall I2C_STORE_BYTE                        ;initiate new measurement
388  mov TEMP1, I2C_ERRORCODE
389  cpi TEMP1, I2C_NO_ERROR                    ;check if an error has occurred
390  brne FUNCTION_I2C_START_MEASUREMENT_ERROR
391  ldi TEMP1, RESPONSE_REQUEST_SUCCESSFUL        ;no error - send RESPONSE_REQUEST_SUCCESSFUL
392  mov RS232_VALUE, TEMP1                     ;back to client
393  rcall RS232_SEND_BYTE
394  rjmp FUNCTION_I2C_START_MEASUREMENT_END
395
396 FUNCTION_I2C_START_MEASUREMENT_ERROR:        ;an error has occurred
397  ldi TEMP1, RESPONSE_I2C_ERROR              ;send RESPONSE_I2C_ERROR to client
398  mov RS232_VALUE, TEMP1
399  rcall RS232_SEND_BYTE
400  mov RS232_VALUE, I2C_ERRORCODE            ;send errorcode to client
401  rcall RS232_SEND_BYTE
402
403 FUNCTION_I2C_START_MEASUREMENT_END:
404  ret
405
406 ;This routine is executed when the client wants to get the distance that has
407 ;been measured by the ultrasonic-sensor via REQUEST_I2C_GET_DISTANCE.
408 FUNCTION_I2C_GET_DISTANCE:
409  ldi TEMP1, 0xE0                            ;address of device

```

```

410 ldi TEMP2, 0x02 ;address of first echo-register-pair
411 mov I2C_ADDRESS, TEMP1 ;load address of device
412 mov I2C_REGISTER, TEMP2 ;load address of register
413 rcall I2C_LOAD_WORD ;read word out of first echo-register-pair
414 mov TEMP1, I2C_ERRORCODE
415 cpi TEMP1, I2C_NO_ERROR ;check if an error has occurred
416 brne FUNCTION_I2C_GET_DISTANCE_ERROR
417 ldi TEMP1, RESPONSE_REQUEST_SUCCESSFUL ;no error - send RESPONSE_REQUEST_SUCCESSFUL
418 mov RS232_VALUE, TEMP1 ;back to client
419 rcall RS232_SEND_BYTE ;send high-byte of measured distance
420 mov RS232_VALUE, I2C_VALUE_H
421 rcall RS232_SEND_BYTE ;send low-byte of measured distance
422 mov RS232_VALUE, I2C_VALUE_L
423 rcall RS232_SEND_BYTE
424 rjmp FUNCTION_I2C_GET_DISTANCE_END
425
426 FUNCTION_I2C_GET_DISTANCE_ERROR: ;an error has occurred
427 ldi TEMP1, RESPONSE_I2C_ERROR ;send RESPONSE_I2C_ERROR to client
428 mov RS232_VALUE, TEMP1
429 rcall RS232_SEND_BYTE
430 mov RS232_VALUE, I2C_ERRORCODE ;send errorcode to client
431 rcall RS232_SEND_BYTE
432
433 FUNCTION_I2C_GET_DISTANCE_END:
434 ret
435
436 ;This routine is executed when an unknown request arrives from the client.
437 FUNCTION_UNKNOWN:
438 ldi TEMP1, RESPONSE_REQUEST_UNKNOWN ;send RESPONSE_REQUEST_UNKNOWN back
439 mov RS232_VALUE, TEMP1 ;to client
440 call RS232_SEND_BYTE
441 ret
442
443 ;This routine initializes the sleep-mode of the microcontroller
444 SLEEP_INIT:
445 in TEMP1, MCUCR
446 andi TEMP1, 0x0F ;delete sleep-configuration-bits
447 ori TEMP1, (1<<SE)|(0<<SM0) ;enable sleep-mode and set it to idle
448 out MCUCR, TEMP1
449 ret
450
451 ;This routine sets the Pins where the LEDs are attached to output
452 LED_INIT:
453 sbi DDRB, 7
454 sbi DDRB, 6
455 sbi DDRB, 5
456 ret
457

```

```

458 ;This routine initializes the external interrupts
459 INT_INIT:
460     cbi DDRD, PD2           ;set the pins of the external interrupts
461     cbi DDRD, PD3           ;to input
462     in TEMP1, MCUCR
463     ori TEMP1, (3<<ISC10)|(3<<ISC00) ;configure external interrupts for initiation
464     out MCUCR, TEMP1        ;on every rising edge
465     ret

```

Listing D.2: prog/MiniBot/Registers.asm

```

1  ;*****
2  ;*
3  ;*   Registers.asm
4  ;*
5  ;*****
6
7  ;temporary registers
8  .def TEMP1 = r16
9  .def TEMP2 = r17
10 .def TEMP3 = r18
11 .def TEMP4 = r19
12 .def TEMPL = r24
13 .def TEMPH = r25
14
15 ;RS232-register
16 .def RS232_VALUE = r11
17
18 ;ADC-registers
19 .def ADC_SOURCE = r8
20 .def ADC_VALUE_L = r9
21 .def ADC_VALUE_H = r10
22
23 ;PWM-registers
24 .def PWM_LEFT_VELOCITY = r0
25 .def PWM_RIGHT_VELOCITY = r1
26
27 ;I2C-registers
28 .def I2C_ADDRESS = r3
29 .def I2C_REGISTER = r4
30 .def I2C_VALUE = r5
31 .def I2C_VALUE_L = r6
32 .def I2C_VALUE_H = r7
33 .def I2C_ERRORCODE = r2
34
35 ;action-state register
36 .def ACTION_STATE = r12
37

```

```

38 ;interval-counter registers
39 .def INTERVAL_COUNTER_L = r26
40 .def INTERVAL_COUNTER_H = r27

```

Listing D.3: prog/MiniBot/Actions.asm

```

1 ;*****
2 ;*
3 ;*   Actions.asm
4 ;*
5 ;*****
6
7 ;action-codes
8 .equ FORWARD = 0x00
9 .equ BACKWARD = 0x01
10 .equ LEFT = 0x02
11 .equ RIGHT = 0x03
12
13 ;action-states
14 .equ ACTION_NONE = 0x00
15 .equ ACTION_MOVING = 0x01
16 .equ ACTION_MOVING_INTERVAL = 0x02
17 .equ ACTION_TURNING = 0x03
18 .equ ACTION_TURNING_INTERVAL = 0x04

```

Listing D.4: prog/MiniBot/Protocol.asm

```

1 ;*****
2 ;*
3 ;*   Protocol.asm
4 ;*
5 ;*****
6
7 ;protocol-request-codes
8 .equ REQUEST_TEST = 0x01
9 .equ REQUEST_ADC = 0x02
10 .equ REQUEST_PWM_SET_VELOCITY = 0x03
11 .equ REQUEST_PWM_START_ACTION = 0x04
12 .equ REQUEST_PWM_START_ACTION_INTERVAL = 0x05
13 .equ REQUEST_PWM_STOP_ACTION = 0x06
14 .equ REQUEST_I2C_START_MEASUREMENT = 0x07
15 .equ REQUEST_I2C_GET_DISTANCE = 0x08
16 .equ REQUEST_GET_STATE = 0x09
17
18 ;protocol-response-codes
19 .equ RESPONSE_REQUEST_SUCCESSFUL = 0x01
20 .equ RESPONSE_REQUEST_UNKNOWN = 0x02
21 .equ RESPONSE_ACTION_UNKNOWN = 0x03

```



```
22 .equ RESPONSE_I2C_ERROR = 0x04
```

### Listing D.5: prog/MiniBot/RS232.asm

```

1 ;*****
2 ;*
3 ;*   RS232.asm
4 ;*
5 ;*****
6
7 ;RS232-settings
8 .equ RS232_BAUD = 9600
9 .equ RS232_UBRRVAL = CLOCK/(RS232_BAUD*16)-1
10
11 ;This routine initializes the RS232-interface.
12 RS232_INIT:
13   ldi TEMP1, LOW(RS232_UBRRVAL)      ;set RS232-baudrate
14   out UBRRL, TEMP1
15   ldi TEMP1, HIGH(RS232_UBRRVAL)
16   out UBRRH, TEMP1
17   ldi TEMP1, (1<<URSEL)|(3<<UCSZ0)  ;set frame-format 8-bit
18   out UCSRC, TEMP1
19   sbi UCSRB, RXCIE                  ;enable RS232-Interrupt
20   sbi UCSRB, RXEN                   ;enable RX
21   sbi UCSRB, TXEN                   ;enable TX
22   ret
23
24 ;This routine receives a byte on the RS232-interface and stores
25 ;it in RS232_VALUE.
26 RS232_RECEIVE_BYTE:
27   sbis UCSRA, RXC                   ;wait for byte
28   rjmp RS232_RECEIVE_BYTE
29   in RS232_VALUE, UDR               ;store byte in RS232_VALUE
30   ret
31
32 ;This routine sends the byte in RS232_VALUE on the RS232-interface.
33 RS232_SEND_BYTE:
34   sbis UCSRA, UDRE                  ;wait until interface is ready
35   rjmp RS232_SEND_BYTE
36   out UDR, RS232_VALUE              ;send byte
37   ret

```

### Listing D.6: prog/MiniBot/PWM.asm

```

1 ;*****
2 ;*
3 ;*   PWM.asm
4 ;*

```

```

5 ;*****
6
7 ;This routine initializes Timer unit 1.
8 PWM_INIT:
9     ldi TEMP1, 0x00          ;clear output control registers
10    out OC1AH, TEMP1
11    out OC1AL, TEMP1
12    out OCR1BH, TEMP1
13    out OCR1BL, TEMP1
14    ldi TEMP1, 0b10100010    ;configure PWM
15    out TCCR1A, TEMP1
16    ldi TEMP1, 0b00011011
17    out TCCR1B, TEMP1
18    ldi TEMPH, 0x00          ;configure timer resolution
19    ldi TEMPL, 0xFF
20    out ICR1H, TEMPH
21    out ICR1L, TEMPL
22    sbi DDRB, PB0            ;set data direction to output
23    sbi DDRB, PB1
24    sbi DDRD, PD6
25    sbi DDRD, PD7
26    ret
27
28 ;This routine sets left velocity to PWM_LEFT_VELOCITY and
29 ;right velocity to PWM_RIGHT_VELOCITY.
30 PWM_SET_VELOCITY:
31    out OC1AL, PWM_LEFT_VELOCITY
32    out OCR1BL, PWM_RIGHT_VELOCITY
33    ret
34
35 ;This routine sets the control bits for moving forward.
36 PWM_FORWARD:
37    sbi PORTB, PB0
38    cbi PORTB, PB1
39    sbi PORTD, PB6
40    cbi PORTD, PB7
41    ret
42
43 ;This routine sets the control bits for moving backward.
44 PWM_BACKWARD:
45    cbi PORTB, PB0
46    sbi PORTB, PB1
47    cbi PORTD, PB6
48    sbi PORTD, PB7
49    ret
50
51 ;This routine sets the control bits for turning left.
52 PWM_LEFT:

```

```

53  sbi PORTB, PB0
54  cbi PORTB, PB1
55  cbi PORTD, PB6
56  sbi PORTD, PB7
57  ret
58
59  ;This routine sets the control bits for turning right.
60  PWM_RIGHT:
61  cbi PORTB, PB0
62  sbi PORTB, PB1
63  sbi PORTD, PB6
64  cbi PORTD, PB7
65  ret

```

Listing D.7: prog/MiniBot/I2C.asm

```

1  ;*****
2  ;*
3  ;*   i2c.asm
4  ;*
5  ;*****
6
7  ;I2C-frequency = 10.1 kHz:
8  .equ I2C_BITRATE = 45
9  .equ I2C_PRESCALER = 2
10
11 ;I2C-Codes:
12 .equ I2C_START_SUCCESS = 0x08
13 .equ I2C_REPEATED_START_SUCCESS = 0x10
14 .equ I2C_WRITE_SLAW_SUCCESS = 0x18
15 .equ I2C_WRITE_SLAR_SUCCESS = 0x40
16 .equ I2C_WRITE_SUCCESS = 0x28
17 .equ I2C_READ_SUCCESS = 0x50
18 .equ I2C_READLAST_SUCCESS = 0x58
19 .equ I2C_NO_ERROR = 0x00
20
21 ;This routine initializes the I2C-unit.
22 I2C_INIT:
23  ldi TEMP1, I2C_BITRATE           ;set bitrate
24  out TWBR, TEMP1
25  ldi TEMP1, I2C_PRESCALER        ;set prescaler
26  out TWSR, TEMP1
27  ret
28
29 ;This routine stores the value of I2C_VALUE in register
30 ;I2C_REGISTER of device at address I2C_ADDRESS.
31 I2C_STORE_BYTE:
32  rcall I2C_START                 ;send start condition

```

```

33 rcall I2C_WRITE_SLAW      ;configure device for write access
34 out TWDR, I2C_REGISTER    ;load register-address
35 rcall I2C_WRITE          ;send register-address
36 out TWDR, I2C_VALUE       ;load value
37 rcall I2C_WRITE          ;send value
38 rcall I2C_STOP           ;send stop condition
39 ldi TEMP1, I2C_NO_ERROR   ;load I2C_NO_ERROR in I2C_ERRORCODE
40 mov I2C_ERRORCODE, TEMP1 ;to indicate that no error occurred
41 ret
42
43 ;This routine loads the byte from register I2C_REGISTER
44 ;of the device at address I2C_ADDRESS into I2C_VALUE.
45 I2C_LOAD_BYTE:
46 rcall I2C_START          ;send start condition
47 rcall I2C_WRITE_SLAW     ;configure device for write access
48 out TWDR, I2C_REGISTER   ;load register-address
49 rcall I2C_WRITE          ;send register-address
50 rcall I2C_REPEATED_START ;send repeated start condition
51 rcall I2C_WRITE_SLAR     ;configure device for read access
52 rcall I2C_READLAST       ;load value without acknowledge
53 in I2C_VALUE, TWDR       ;save value in I2C_VALUE
54 rcall I2C_STOP           ;send stop condition
55 ldi TEMP1, I2C_NO_ERROR   ;load I2C_NO_ERROR in I2C_ERRORCODE
56 mov I2C_ERRORCODE, TEMP1 ;to indicate that no error occurred
57 ret
58
59 ;This routine loads the word from register I2C_REGISTER
60 ;of the device at address I2C_ADDRESS into registerpair
61 ;I2C_VALUEH:I2C_VALUEL.
62 I2C_LOAD_WORD:
63 rcall I2C_START          ;send start condition
64 rcall I2C_WRITE_SLAW     ;configure device for write access
65 out TWDR, I2C_REGISTER   ;load register address
66 rcall I2C_WRITE          ;send register address
67 rcall I2C_REPEATED_START ;send repeated start condition
68 rcall I2C_WRITE_SLAR     ;configure device for read access
69 rcall I2C_READ           ;load value with acknowledge
70 in I2C_VALUE_H, TWDR     ;save value I2C_VALUE_H
71 rcall I2C_READLAST       ;load value without acknowledge
72 in I2C_VALUE_L, TWDR     ;save value I2C_VALUE_L
73 rcall I2C_STOP           ;send stop condition
74 ldi TEMP1, I2C_NO_ERROR   ;load I2C_NO_ERROR in I2C_ERRORCODE
75 mov I2C_ERRORCODE, TEMP1 ;to indicate that no error occurred
76 ret
77
78 ;This routine sends a start condition on I2C.
79 I2C_START:
80 ldi TEMP1, (1<<TWINT)|(1<<TWSTA)|(1<<TWEN) ;set bits in control register

```

```

81  out TWCR, TEMP1
82  WAIT_I2C_START_SENT:                ;wait for completion
83      in TEMP1, TWCR
84      sbrs TEMP1, TWINT                ;interrupt-flag indicates completion
85      rjmp WAIT_I2C_START_SENT        ;not yet completed
86      in TEMP1, TWSR                  ;load status register and clear the
87      andi TEMP1, 0xF8                ;prescaler-configuration-bits
88      ldi TEMP2, I2C_START_SUCCESS    ;compare value of status register
89      cpse TEMP1, TEMP2                ;with estimated value I2C_START_SUCCESS
90      rjmp I2C_ERROR                  ;an error occured
91  ret
92
93  ;The following routines have the same structure like I2C_START, except the bits
94  ;that are set in the control register and the value to which the status register is
95  ;compared to for finding out if an error has occured.
96
97  ;This routine sends a repeated start condition on I2C.
98  I2C_REPEATED_START:
99      ldi TEMP1, (1<<TWINT)|(1<<TWSTA)|(1<<TWEN)
100     out TWCR, TEMP1
101     WAIT_I2C_REPEATED_START_SENT:
102         in TEMP1, TWCR
103         sbrs TEMP1, TWINT
104         rjmp WAIT_I2C_REPEATED_START_SENT
105         in TEMP1, TWSR
106         andi TEMP1, 0xF8
107         ldi TEMP2, I2C_REPEATED_START_SUCCESS
108         cpse TEMP1, TEMP2
109         rjmp I2C_ERROR
110     ret
111
112     ;This routine sends a stop condition on I2C.
113     I2C_STOP:
114         ldi TEMP1, (1<<TWINT)|(1<<TWEN)|(1<<TWSTO)
115         out TWCR, TEMP1
116     ret
117
118     ;This routine sends a SLAW-frame for device at address I2C_ADDRESS on I2C.
119     I2C_WRITE_SLAW:
120         out TWDR, I2C_ADDRESS
121         ldi TEMP1, (1<<TWINT)|(1<<TWEN)
122         out TWCR, TEMP1
123         WAIT_I2C_SLAWBYTE_SENT:
124             in TEMP1, TWCR
125             sbrs TEMP1, TWINT
126             rjmp WAIT_I2C_SLAWBYTE_SENT
127             in TEMP1, TWSR
128             andi TEMP1, 0xF8

```

```

129 ldi TEMP2, I2C_WRITE_SLAW_SUCCESS
130 cpse TEMP1, TEMP2
131 rjmp I2C_ERROR
132 ret
133
134 ;This routine sends a SLAR-frame for device at address I2C_ADDRESS on I2C.
135 I2C_WRITE_SLAR:
136 mov TEMP1, I2C_ADDRESS
137 inc TEMP1
138 out TWDR, TEMP1
139 ldi TEMP1, (1<<TWINT)|(1<<TWEN)
140 out TWCR, TEMP1
141 WAIT_I2C_SLARBYTE_SENT:
142 in TEMP1, TWCR
143 sbrs TEMP1, TWINT
144 rjmp WAIT_I2C_SLARBYTE_SENT
145 in TEMP1, TWSR
146 andi TEMP1, 0xF8
147 ldi TEMP2, I2C_WRITE_SLAR_SUCCESS
148 cpse TEMP1, TEMP2
149 rjmp I2C_ERROR
150 ret
151
152 ;This routine sends the byte in TWDR on I2C.
153 I2C_WRITE:
154 ldi TEMP1, (1<<TWINT)|(1<<TWEN)
155 out TWCR, TEMP1
156 WAIT_I2C_BYTE_SENT:
157 in TEMP1, TWCR
158 sbrs TEMP1, TWINT
159 rjmp WAIT_I2C_BYTE_SENT
160 in TEMP1, TWSR
161 andi TEMP1, 0xF8
162 ldi TEMP2, I2C_WRITE_SUCCESS
163 cpse TEMP1, TEMP2
164 rjmp I2C_ERROR
165 ret
166
167 ;This routine receives a byte from I2C and stores it into TWDR.
168 I2C_READ:
169 ldi TEMP1, (1<<TWINT)|(1<<TWEA)|(1<<TWEN)
170 out TWCR, TEMP1
171 WAIT_I2C_BYTE_RECEIVED:
172 in TEMP1, TWCR
173 sbrs TEMP1, TWINT
174 rjmp WAIT_I2C_BYTE_RECEIVED
175 in TEMP1, TWSR
176 andi TEMP1, 0xF8

```

```

177 ldi TEMP2, I2C_READ_SUCCESS
178 cpse TEMP1, TEMP2
179 rjmp I2C_ERROR
180 ret
181
182 ;This routine receives the last byte from I2C and stores it into TWDR
183 ;(i.e. without ACK).
184 I2C_READLAST:
185 ldi TEMP1, (1<<TWINT)|(1<<TWEN)
186 out TWCR, TEMP1
187 WAIT_I2C_LASTBYTE_RECEIVED:
188 in TEMP1, TWCR
189 sbrs TEMP1, TWINT
190 rjmp WAIT_I2C_LASTBYTE_RECEIVED
191 in TEMP1, TWSR
192 andi TEMP1, 0xF8
193 ldi TEMP2, I2C_READLAST_SUCCESS
194 cpse TEMP1, TEMP2
195 rjmp I2C_ERROR
196 ret
197
198 ;This branch is executed if an error has occurred, the errorcode is saved
199 ;and the I2C-communication is stopped.
200 I2C_ERROR:
201 mov I2C_ERRORCODE, TEMP1 ;save errorcode
202 rcall I2C_STOP ;send stopcondition
203 in zh, sph ;increase the stack-pointer by 2 - now, the
204 in zl, spl ;address on the stack is the return address
205 adiw zh:zl, 2 ;of the calling routine
206 out sph, zh ;so on return the calling routine is aborted too
207 out spl, zl
208 ret

```

### Listing D.8: prog/MiniBot/ADC.asm

```

1 ;*****
2 ;*
3 ;*   ADC.asm
4 ;*
5 ;*****
6
7 ;This routine initializes the A/D-unit.
8 ADC_INIT:
9 ldi TEMP1, 3<<REFS0 ;select internal reference-voltage
10 out ADMUX, TEMP1
11 cbi DDRA, 1 ;configure ports as input
12 cbi DDRA, 3
13 ret

```

```
14
15 ;This routine starts an A/D-conversion.
16 ADC_START:
17   in TEMP1, ADMUX           ;erase previous ADC-source
18   andi TEMP1, 0xE0
19   or TEMP1, ADC_SOURCE     ;select new ADC-source
20   out ADMUX, TEMP1
21   sbi ADCSR, ADIF         ;flag löschen
22   ldi TEMP1, (1<<ADEN)|(7<<ADPS0)|(1<<ADSC) ;start conversion
23   out ADCSRA, TEMP1
24   WAIT_ADC:                ;wait for conversion
25     sbis ADCSRA, ADIF
26     rjmp WAIT_ADC
27   in ADC_VALUE_L, ADCL     ;store result in memory
28   in ADC_VALUE_H, ADCH
29   ret
```



# Anhang E

## Wertetabelle des Infrarot-Sensors

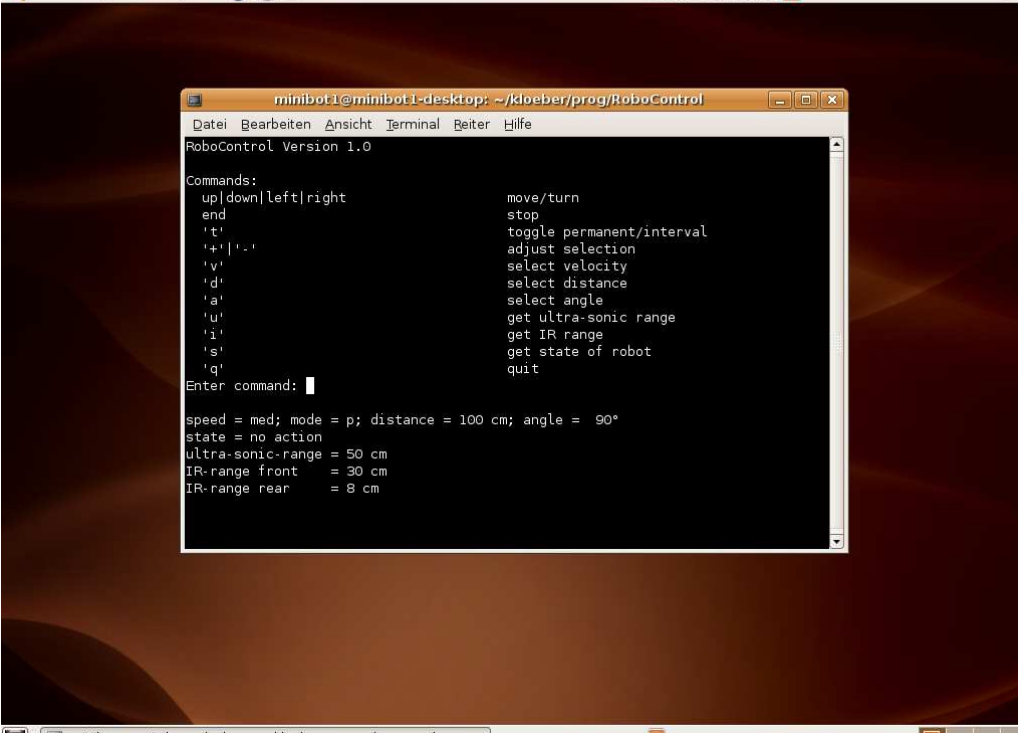
Entfernung [cm]	Digitalwert	Entfernung [cm]	Digitalwert
4	1023	18	267
5	925	19	250
6	768	20	234
7	694	21	219
8	615	22	207
9	546	23	196
10	493	24	187
11	448	25	179
12	410	26	172
13	380	27	165
14	350	28	157
15	320	29	149
16	305	30	147
17	284		



# Anhang F

## Screenshots

### RoboControl



The screenshot shows a Linux desktop environment with a terminal window titled "minibot1@minibot1-desktop: ~/kloeber/prog/RoboControl". The terminal displays the RoboControl Version 1.0 interface. The window title bar includes "Datei Bearbeiten Ansicht Terminal Beiter Hilfe". The terminal content is as follows:

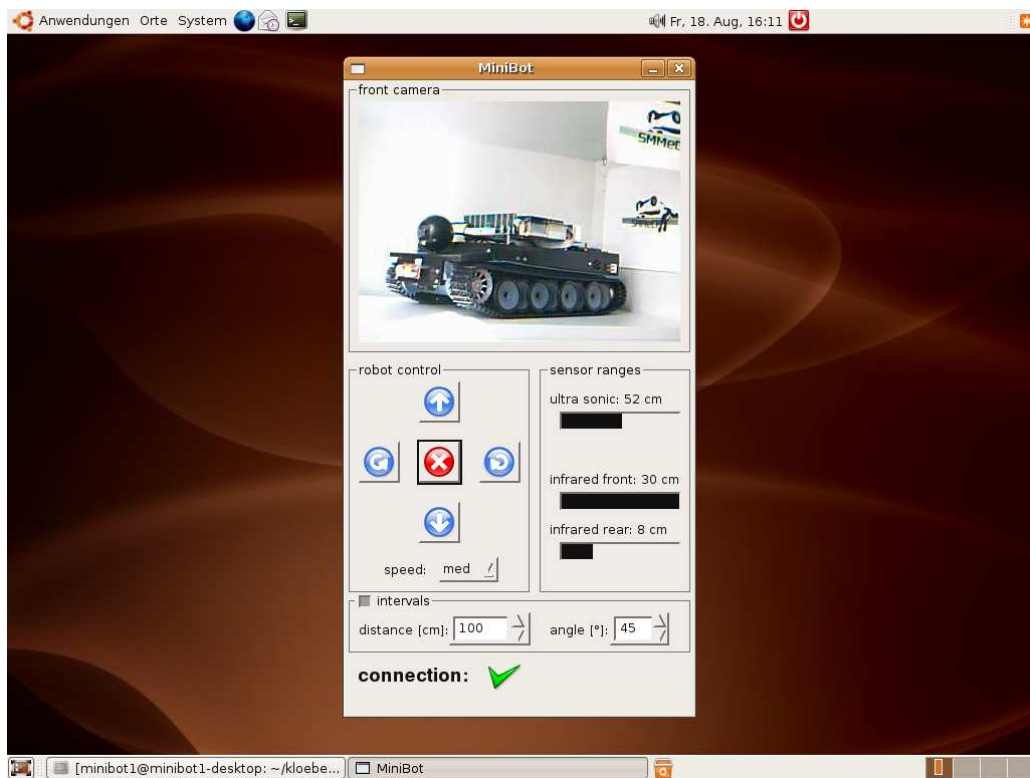
```
RoboControl Version 1.0

Commands:
up|down|left|right      move/turn
end                     stop
't'                    toggle permanent/interval
'+'|'-'                adjust selection
'v'                    select velocity
'd'                    select distance
'a'                    select angle
'u'                    get ultra-sonic range
'i'                    get IR range
's'                    get state of robot
'q'                    quit

Enter command:

speed = med; mode = p; distance = 100 cm; angle = 90°
state = no action
ultra-sonic-range = 50 cm
IR-range front = 30 cm
IR-range rear = 8 cm
```

# MiniBotGUI



# Anhang G

## Aufbau der Softwareentwicklungsumgebung

### Programmierungsumgebung für den Mikrocontroller

Zur Programmierung des Mikrocontrollers in *AVR-Assembler* wurde das von *Atmel* herausgegebene *AVR Studio*<sup>1</sup> in der aktuellen Version 4.0 verwendet. Diese Entwicklungsumgebung ist frei erhältlich und speziell für die Programmierung von Atmels Mikrocontrollern ausgelegt. Neben einem Editor mit Syntaxhighlighting für AVR-Assembler enthält das AVR Studio einen Compiler zur Erzeugung des Binärcodes, der anschließend auf den Mikrocontroller übertragen werden muss.

Als nützlich erweist sich darüberhinaus der integrierte Simulator, mit dem sich die Abläufe auf dem Mikrocontroller simulieren lassen. Parallel zur Simulation können Registerinhalte, Pointer- oder Speicheradressen inspiziert werden. Dies erleichtert die Fehlersuche, da ein Debugging, der bereits auf den Mikrocontroller aufgespielten Software, nur schwer möglich ist (beispielsweise über Signale der LEDs).

Leider ist das AVR Studio nur für Windows verfügbar, wodurch ein ständiges Wechseln zwischen der Hauptprogrammierplattform Linux und Windows XP nötig wurde.

---

<sup>1</sup>[http://www.atmel.com/dyn/Products/tools\\_card.asp?tool\\_id=2725](http://www.atmel.com/dyn/Products/tools_card.asp?tool_id=2725)

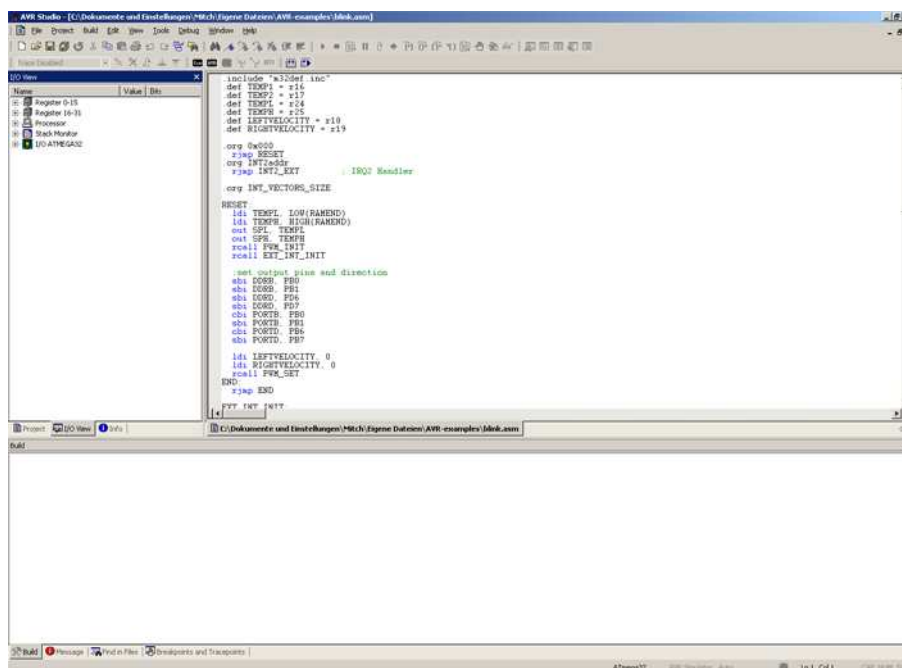


Bild G.1: Das AVR-Studio

Nach dem Programmstart muss ein neues Projekt angelegt werden. Anschließend wird die Art der Plattform, in unserem Fall der *AVR Simulator*, und der Typ des Mikrocontrollers, hier der *ATmega32*, gewählt.

Der Hauptbildschirm des Programms (siehe Abbildung G.1) gliedert sich in drei Teile. Im oberen linken Teilfenster können Informationen über das Projekt, der aktuelle Zustand des Simulators oder Informationen über den Mikrocontroller angezeigt werden. Das obere rechte Teilfenster stellt den Editor zur Eingabe des Assemblerquellcodes dar. Das untere Teilfenster zeigt Informationen über das erstellte Programm, Warnhinweise oder Fehlermeldungen beim Kompilieren und weitere Informationen an.

Wenn der erstellte Assemblercode korrekt ist, erzeugt der Compiler eine Binärdatei mit der Endung *.hex* im Projektordner. Diese enthält den Maschinencode, der nun auf den Mikrocontroller überspielt werden muss. Das Überspielen ist zwar auch mit Hilfe des AVR-Studios möglich, jedoch wird dafür ein spezieller Programmieradapter von Atmel benötigt, dessen Anschaffung unser Budget übertroffen hätte. Daher entwarfen wir einen eigenen Programmieradapter (siehe Kapitel 3.1.1), der das Programmieren des Mikrocontrollers über die serielle Schnittstelle ermöglichte.

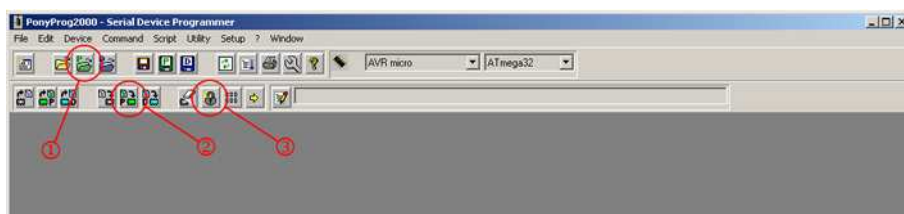


Bild G.2: Menüleiste von PonyProg 2000

Auf der beiliegenden CD befinden sich die Quellcode-Dateien und die erzeugte `.hex`-Datei im Verzeichnis `prog/MiniBot`. Die Projektdatei wurde nicht auf der CD gespeichert, da AVR Studio darin absolute Pfadangaben verwendet, wodurch sie auf einem anderen System unbrauchbar wäre. Eine neue Projektdatei kann jedoch leicht durch Erzeugen eines neuen Projekts und anschließendem Importieren der Quellcode-Dateien erzeugt werden.

Das Programm *PonyProg 2000*<sup>2</sup> erlaubt die Programmierung eines Mikrocontrollers über die serielle Schnittstelle und wurde von uns genutzt. Es ist ebenfalls frei erhältlich, allerdings existiert auch hier nur eine Windows-Version.

Bevor man die Programmierung starten kann, muss der zu beschreibende Typ des Mikrocontrollers eingestellt werden. Nachdem die Verbindung anschließend durch Auswahl des entsprechenden Menüpunktes kalibriert wurde, kann der Maschinencode in der vom AVR-Studio erzeugten `.hex`-Datei über *Open Program Memory* (siehe Punkt 1 der Abbildung G.2) geladen werden. Anschließend kann dieser mit *Write Program Memory* (siehe Punkt 2 der Abbildung G.2) auf den Mikrocontroller übertragen werden. Nach der Übertragung zeigt eine Dialogbox den Erfolg bzw. Misserfolg des Programmiervorgangs an.

Über den Menüpunkt *Security and Configuration Bits* (siehe Punkt 3 der Abbildung G.2) gelangt man zu den Einstellungen der Fuse-Bits. Die Einstellungen der Fuse-Bits können durch Auswahl von *Read* (siehe Punkt 2 der Abbildung G.3) aus dem Mikrocontrollers eingelesen und mittels *Write* (siehe Punkt 1 der Abbildung G.3) wieder auf den Mikrocontroller geschrieben werden. Ein Häkchen bedeutet hierbei, dass das Bit nicht gesetzt ist. Die Konfiguration der Fuse-Bits ist nötig, um die Taktquelle des Mikrocontrollers auf den externen Quarz mit einer Taktfrequenz von 14,7456 MHz einzustellen, da im Auslieferungszustand des Mikrocontrollers eine interne Taktquelle mit 1 MHz Taktfrequenz benutzt wird.

---

<sup>2</sup><http://www.lancos.com/ppwin95.html>

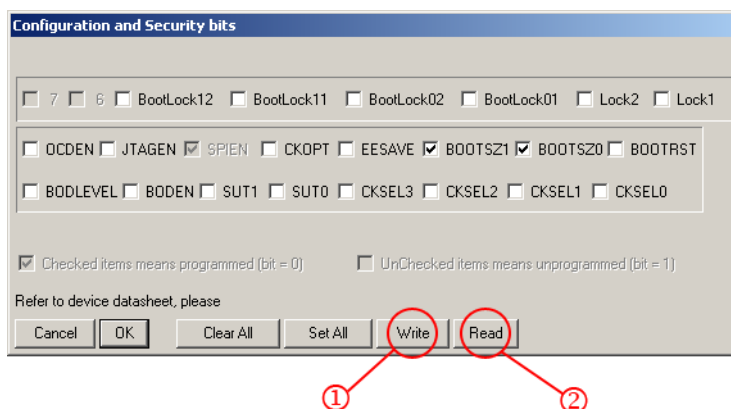


Bild G.3: Die Fuse-Bits-Einstellungen

## Programmierungsumgebung für die Steuersoftware

Zur Programmierung der Steuersoftware für den Barebone-PC wurde die *Anjuta-IDE*<sup>3</sup> verwendet. Sie vereint alle Funktionen die zur Programmierung in C++ nötig sind und ist schlanker als beispielsweise *KDevelop*.

Zum Kompilieren wurde der *GNU C++-Compiler* in der Version 4.1.2 verwendet. Darüberhinaus wurde *make* zur Steuerung der Übersetzung benutzt. Der erstellte Quellcode befindet sich auf der CD in den Unterverzeichnissen von `prog/` und im Verzeichnis `/usr/src/MiniBot/` auf den MiniBots. Zur Kompilierung genügt der Aufruf von `make` in diesem Verzeichnis.

Da das Programm `MiniBotGUI` die Programmbibliothek `Qt` von `Trolltech` in der Version 4.1.4 verwendet, müssen die zugehörigen Bibliotheken, sowie die zu `Qt` gehörigen Tools (`moc`, `rcc`, usw.), wenn nicht schon vorhanden, nachinstalliert werden. Außerdem muss die `ncurses`-Bibliothek installiert werden, da diese von `RoboControl` benötigt wird.

## Installation des Betriebssystems auf den MiniBots

Als Betriebssystem wurde *Ubuntu*<sup>4</sup> in der Version 6.06 auf den Barebone-PCs installiert. Folgende Benutzer wurden angelegt (mit zugehörigen Passwörtern):

<sup>3</sup><http://anjuta.sourceforge.net/>

<sup>4</sup><http://www.ubuntu.com/>



	MiniBot1	MiniBot2
Benutzername	minibot1	minibot2
Passwort	minibot1	minibot2
Root-Passwort	root	root

Nach der erfolgreichen Installation mussten jedoch einige Anpassungen gemacht werden:

Der Start verschiedener Anwendungen, die Qt benutzen, führte zu zwei Fehlermeldungen, aufgrund von nicht vorhandenen Komponenten, die in der Konfiguration des X-Servers jedoch auftauchten. Nachdem die entsprechenden Einträge in der für die Konfiguration zuständigen Datei `/etc/X11/xorg.conf` entfernt wurden, tauchten die Fehlermeldungen nicht mehr auf.

Außerdem waren die angezeigten Meldungen beim Start des Kernels nicht erkennbar. Dies liegt daran, dass die aktuellen Kernel-Versionen<sup>5</sup> keine zur integrierten Grafikkarte des Barebone-Motherboards kompatiblen Framebuffer-Treiber enthalten. Daher funktioniert ein Start von Ubuntu bei Benutzung des Framebuffers zur Darstellung der Konsole nicht richtig. Dies wurde gelöst, indem ein neuer Kernel kompiliert und auf den Start im Framebuffer-Modus verzichtet wurde. So werden alle angezeigten Meldungen im Textmodus ausgegeben.

Nach der Installation des eigentlichen Betriebssystems wurde die Umgebungsvariable `MINIBOT` durch einen Eintrag in `~/ .bashrc` auf `MINIBOT_1` bzw. `MINIBOT_2` gesetzt. Dies ist nötig, damit beim Kompilieren die richtigen Konfigurationsspassagen in der Datei `RoboSetup.h` benutzt werden, da sich die Konfigurationswerte bei beiden MiniBots unterscheiden.

## Weitere Software

### Inkscape

Zur Erstellung der Vektorgrafiken wurde das freie Zeichenprogramm *Inkscape*<sup>6</sup> benutzt. Es ermöglicht das Speichern im standardisierten Vektorformat *SVG*<sup>7</sup> und darüberhinaus den Export als Eingebettetes PostScript (*EPS*) zur weiteren Verwendung in Latex-Dokumenten.

---

<sup>5</sup><http://www.kernel.org/>

<sup>6</sup><http://www.inkscape.org/>

<sup>7</sup><http://www.w3.org/TR/SVG/>

## FindGraph

Zur Ermittlung der Approximierungsfunktion für die Umrechnung der Digitalwerte der Infrarotsensoren in die zugehörige Entfernung wurde die Trial-Version des Programms *FindGraph*<sup>8</sup> von *UNIPHIZ Lab*<sup>9</sup> benutzt. Zuerst wurden dort die Wertepaare als Punkte hinzugefügt. Dann wurde mit der Option *Fit Function* eine Approximierungsfunktion berechnet. Nach Auswahl des Funktionstyps  $x = f(y)$  und einer hyperbolische Approximierung 3. Grades[Küh98] berechnete das Programm die gesuchte Funktion.

## Photoshop und Gimp

Sowohl die Konstruktionszeichnungen und das Blockschaltbild, als auch die Bilder des Aufbaus wurden mit *Adobe Photoshop CS*<sup>10</sup> erstellt, bzw. überarbeitet. Da Photoshop zwar Bilder im *EPS*-Format exportieren kann, dabei aber leider keine *Bounding-Box* erstellt, wurde das freie Programm *Gimp*<sup>11</sup> verwendet, welches den Export der Bilder im *EPS*-Format inklusive der benötigten *Bounding-Box* erlaubt.

## Lochmaster 3.0

Um das Layout der Lochrasterplatten zu erstellen, wurde das Programm *Lochmaster 3.0*<sup>12</sup> von *Abacom*<sup>13</sup> verwendet. Es ist in einer kostenlosen Demoversion erhältlich, die zwar das Erstellen der Platinen erlaubt, aber eine eingeschränkte Bibliothek enthält und das Speichern der Entwürfe nicht ermöglicht. Die Bilder der Platinen wurden mittels *Screenshot* und Photoshop erstellt.

---

<sup>8</sup><http://www.uniphiz.com/findgraph.htm>

<sup>9</sup><http://www.uniphiz.com/>

<sup>10</sup><http://www.adobe.com/de/products/photoshop>

<sup>11</sup><http://www.gimp.org/>

<sup>12</sup><http://www.abacom-online.de/html/lochmaster.html>

<sup>13</sup><http://www.abacom-online.de/default.html>

## MultiSIM 9

Die Schaltung der Spannungsanzeige wurde mit dem Programm *MultiSIM 9*<sup>14</sup> der Firma *Electronics Workbench*<sup>15</sup> erstellt und getestet. Dieses Programm kann man kostenlos 45-Tage in vollem Funktionsumfang nutzen und es enthält eine komplette Bibliothek an elektronischen Bauteilen.

---

<sup>14</sup><http://www.electronicworkbench.de/demo1.html>

<sup>15</sup><http://www.electronicworkbench.com/worldwide/germany/>



# Literaturverzeichnis

- [Amb05] Scott W. Ambler. *The Elements of UML 2.0 Style*. Cambridge University Press, Juli 2005.
- [Bau04] Heinz-Josef Bauckholt. *Grundlagen und Bauelemente der Elektrotechnik*. Hanser Fachbuchverlag, Januar 2004.
- [Bla06] Jasmin Blanchette. *C++ GUI Programmierung mit Qt 4*. Addison-Wesley, Oktober 2006.
- [BN96] Jacqueline Proulx Farrell Bradford Nichols, Dick Buttlar. *Pthreads Programming: A POSIX Standard for Better Multiprocessing*. O'Reilly Media, September 1996.
- [Cat05] John Catsoulis. *Designing Embedded Hardware*. O'Reilly Media, Mai 2005.
- [CH97] Tracey Hughes Cameron Hughes. *Object-Oriented Multithreading Using C++*. John Wiley & Sons Ltd, August 1997.
- [DP97] Carl Fenger Dominique Paret. *The I2C Bus from Theory to Practice*. John Wiley & Sons Ltd, Februar 1997.
- [Fed04] Joachim Federau. *Operationsverstärker. Lehr- und Arbeitsbuch zu angewandten Grundschaltungen*. Vieweg, Dezember 2004.
- [Gad00] Dhananjay Gadre. *Programming and Customizing the AVR Microcontroller*. McGraw-Hill/TAB Electronics, September 2000.
- [Kai89] Burkhard Kainka. *Messen, Steuern und Regeln über die RS-232 Schnittstelle*. Franzis, 1989.

- [Küh98] Ernst Kühner. *Grundlagen der Funktionalanalysis und Approximationstheorie*. Vandenhoeck & Ruprecht, Februar 1998.
- [Mor02] John Morton. *AVR: An Introductory Course*. Newnes, September 2002.
- [RHB06] Larry O’Cull Richard H. Barnett, Sarah Cox. *Embedded C Programming And The Atmel AVR*. Thomson Delmar Learning, Juni 2006.
- [Sey88] Martin D. Seyer. *Complete Guide to Rs232 and Parallel Connections: A Step-By-Step Approach to Connecting Computers, Printers, Terminals, and Modems*. Prentice Hall, Juli 1988.
- [Str86] John Strang. *Programming with curses*. O’Reilly Media, Januar 1986.